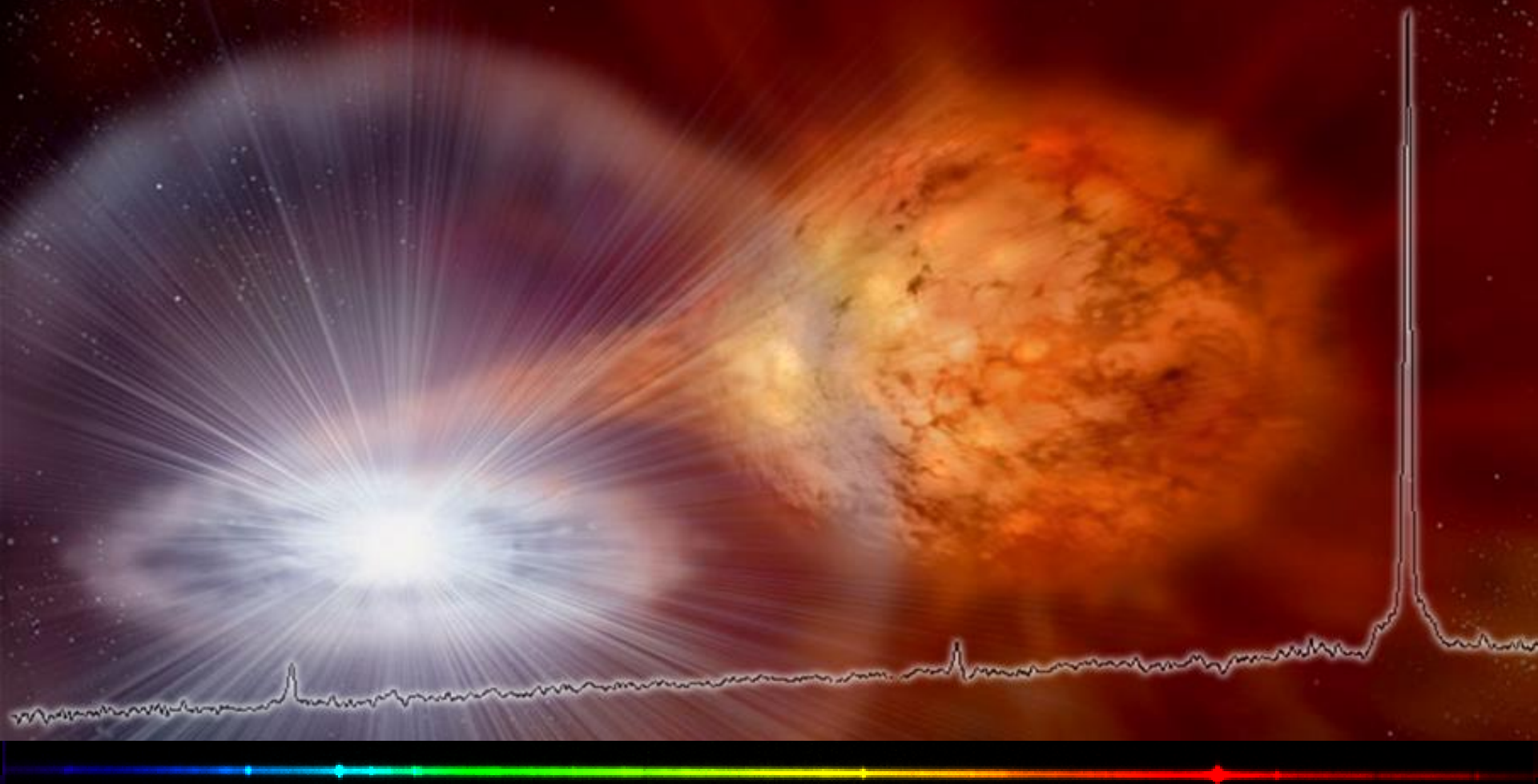


Etoiles Symbiotiques



Etoiles Symbiotiques

1 Spectroscopie et Classification spectrale

2 La découverte des Etoiles Symbiotiques

3 Modèle d'une Etoile Symbiotique

4 Formation du spectre

5 Les Symbiotiques à l'état calme

6 Le Zoo des Symbiotiques

7 Les Symbiotiques en Outburst

8 Contribution des amateurs

Etoiles Symbiotiques

1 Spectroscopie et Classification spectrale

2 La découverte des Etoiles Symbiotiques

3 Modèle d'une Etoile Symbiotique

4 Formation du spectre

5 Les Symbiotiques à l'état calme

6 Le Zoo des Symbiotiques

7 Les Symbiotiques en Outburst

8 Contribution des amateurs

Photométrie

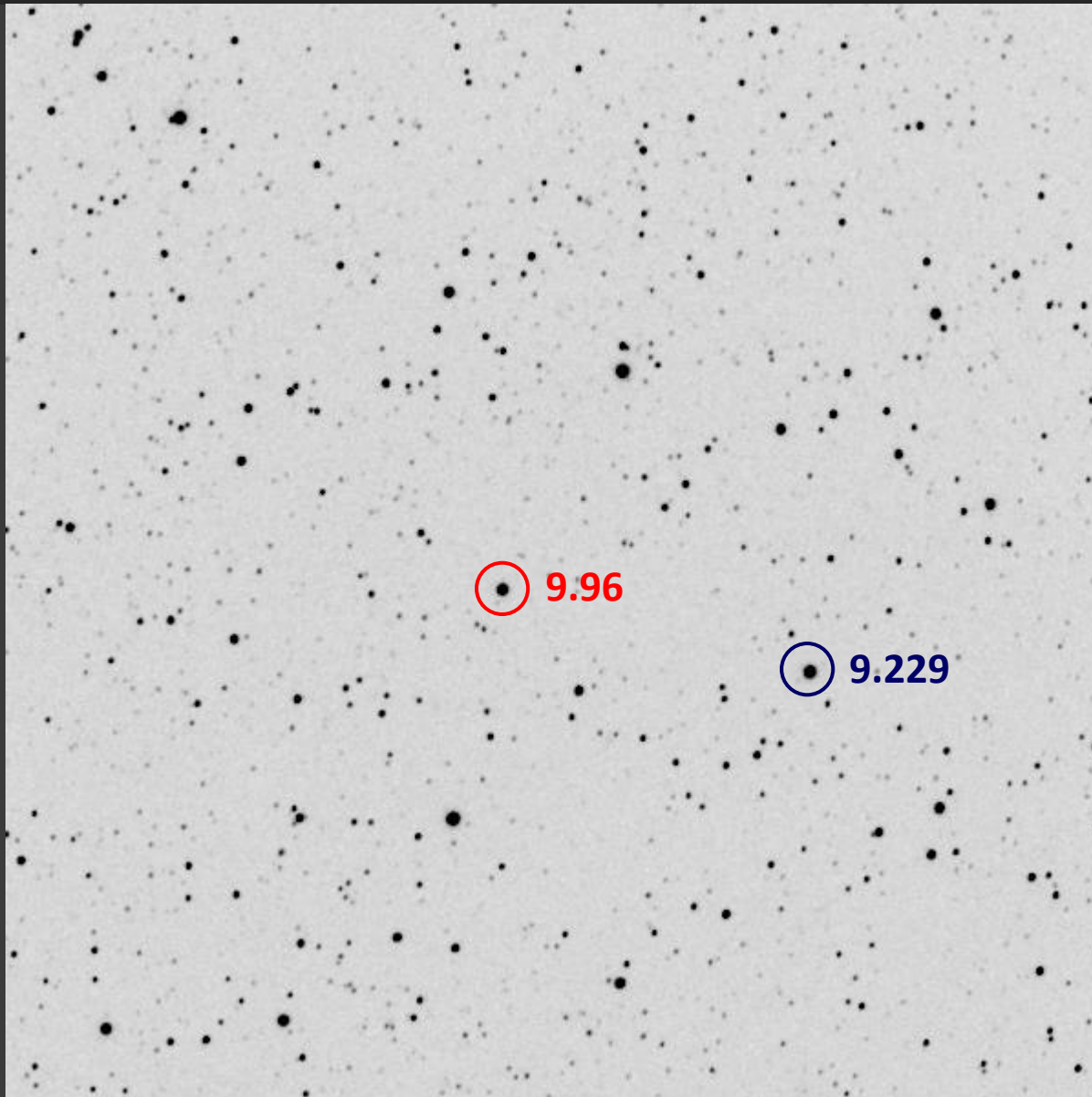
Z And

V filter

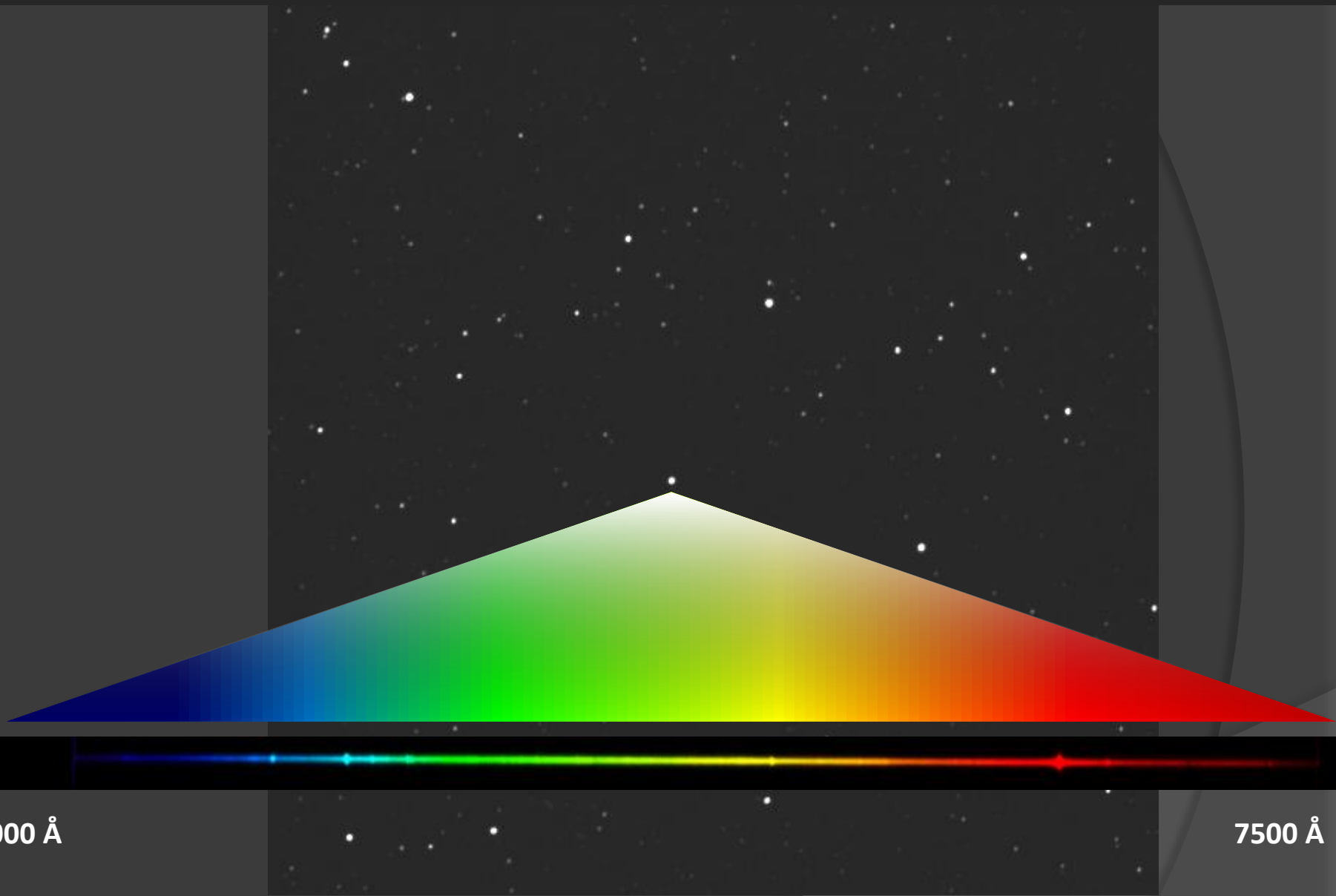
13-08-2016

22:06 UT

OHP (FR)

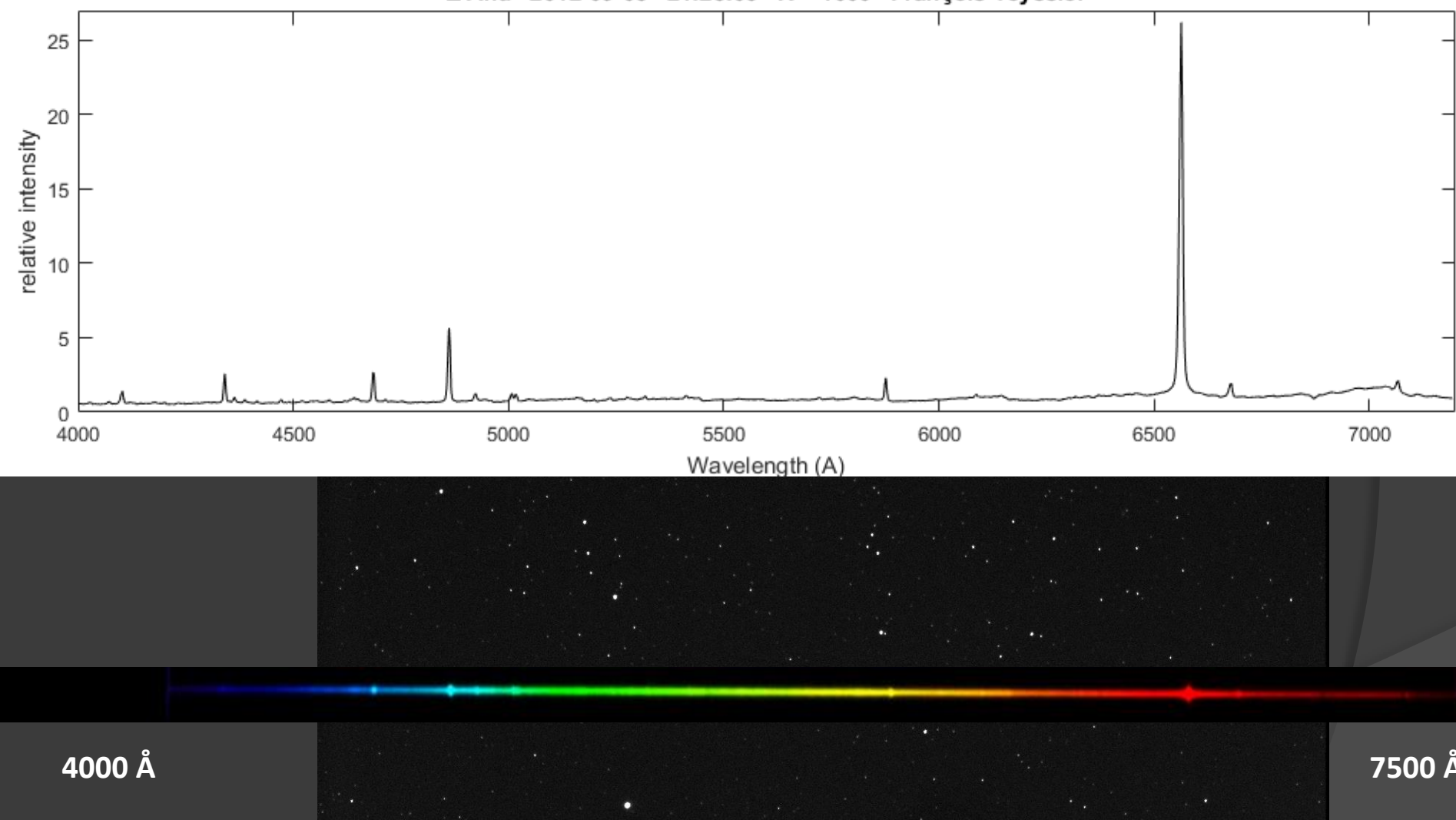


Spectroscopie

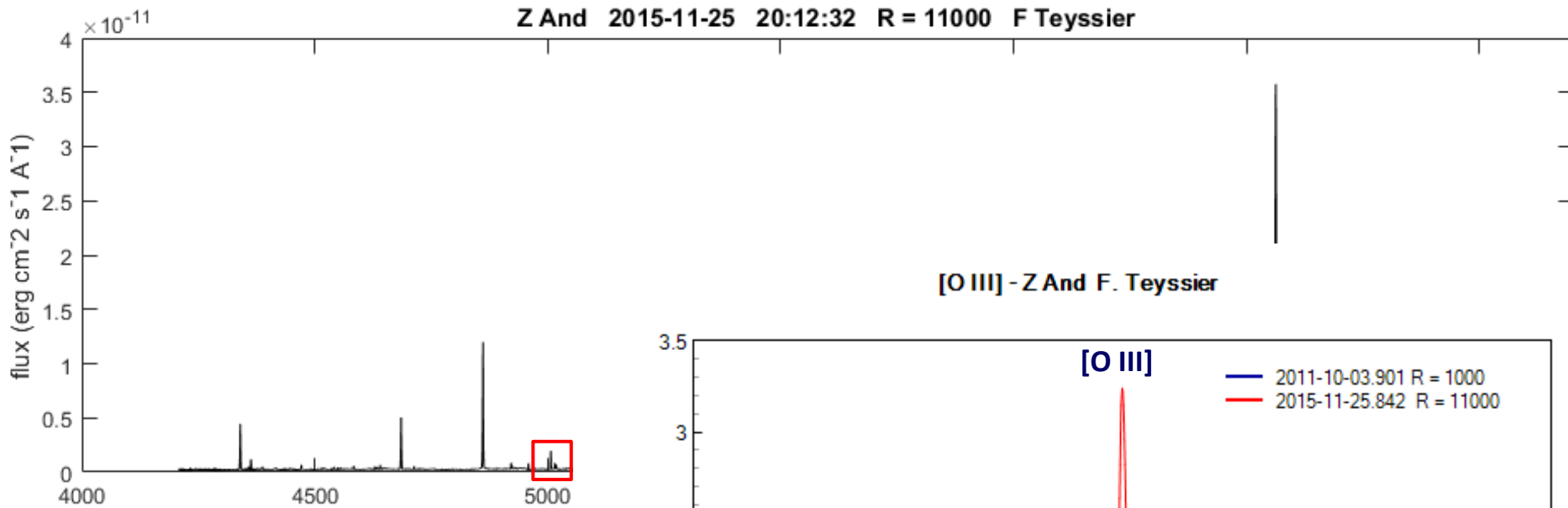


Spectroscopie

Z And 2012-09-08 21:28:03 R = 1000 François Teyssier



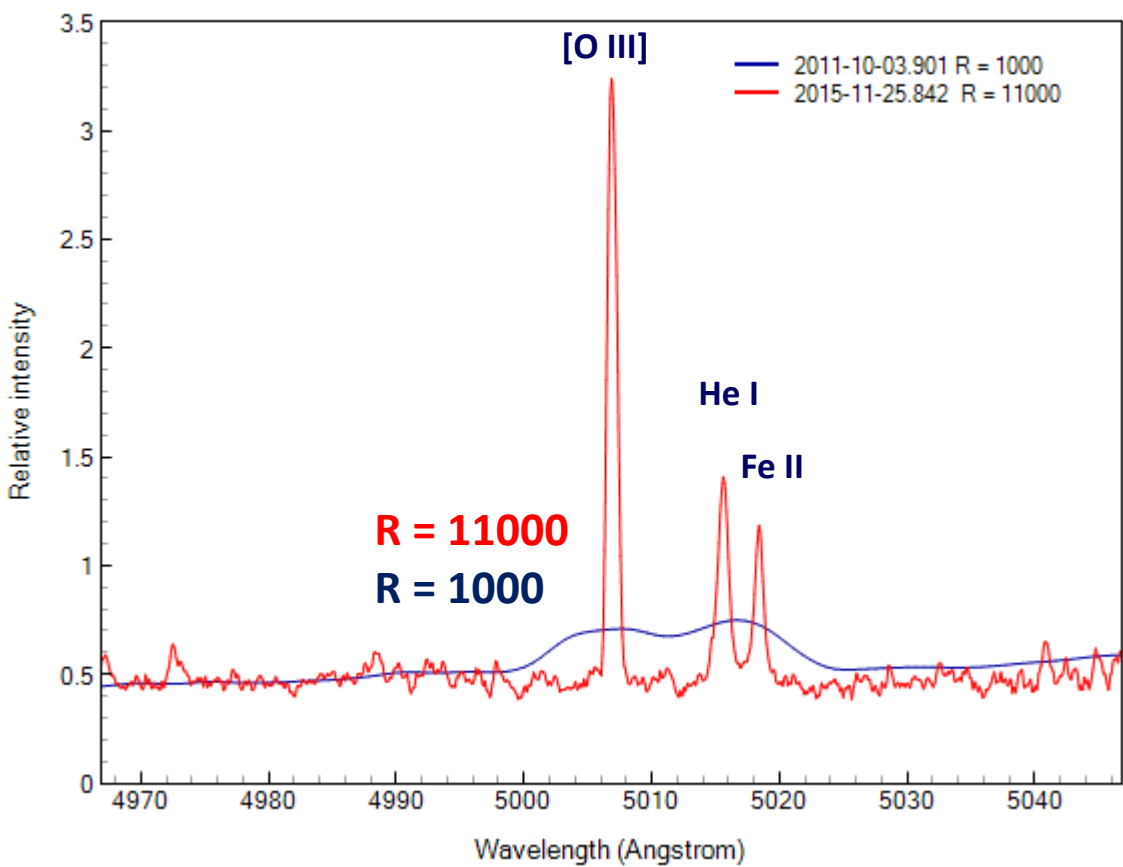
Spectroscopie



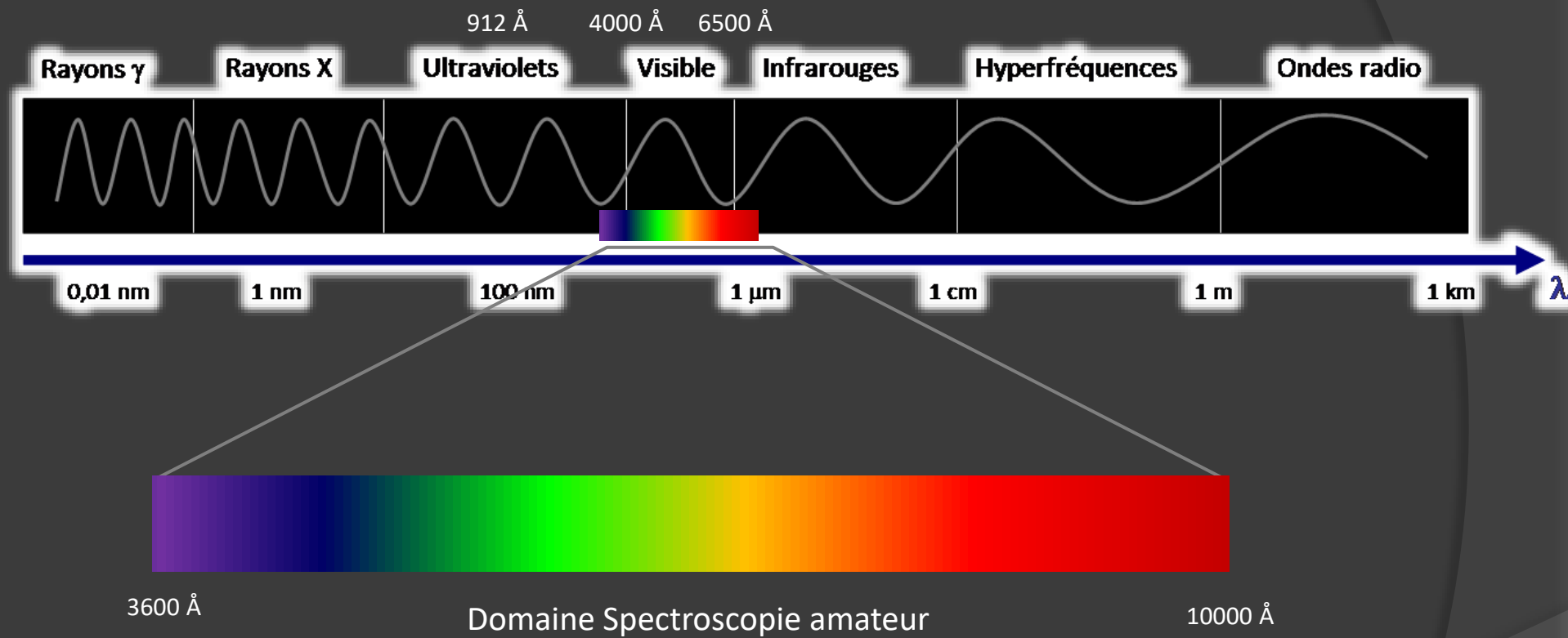
Résolution

$$R = \lambda / \Delta\lambda$$

Basse	500-1000
Moyenne	2000-5000
Haute	10000-15000



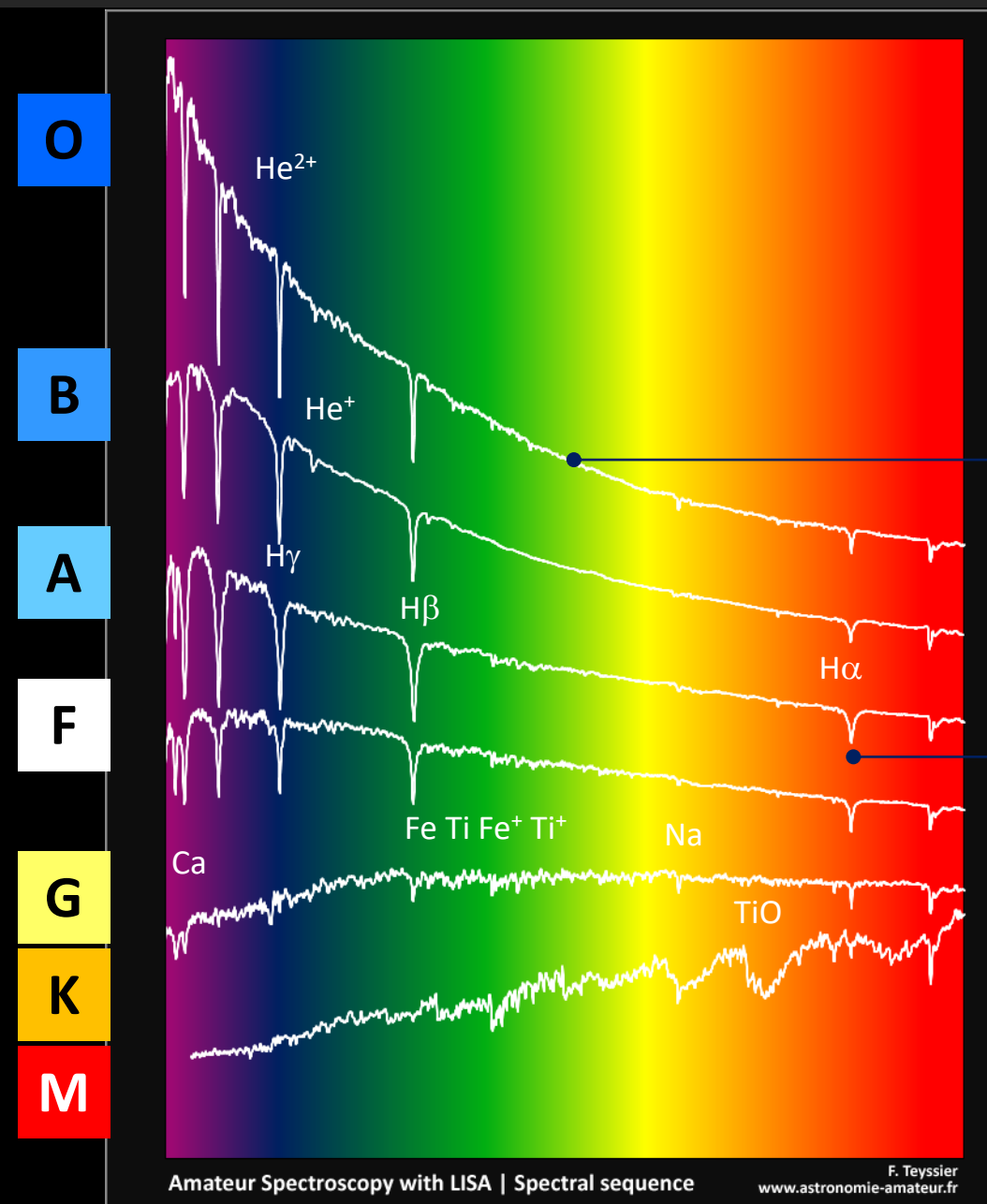
Spectroscopie



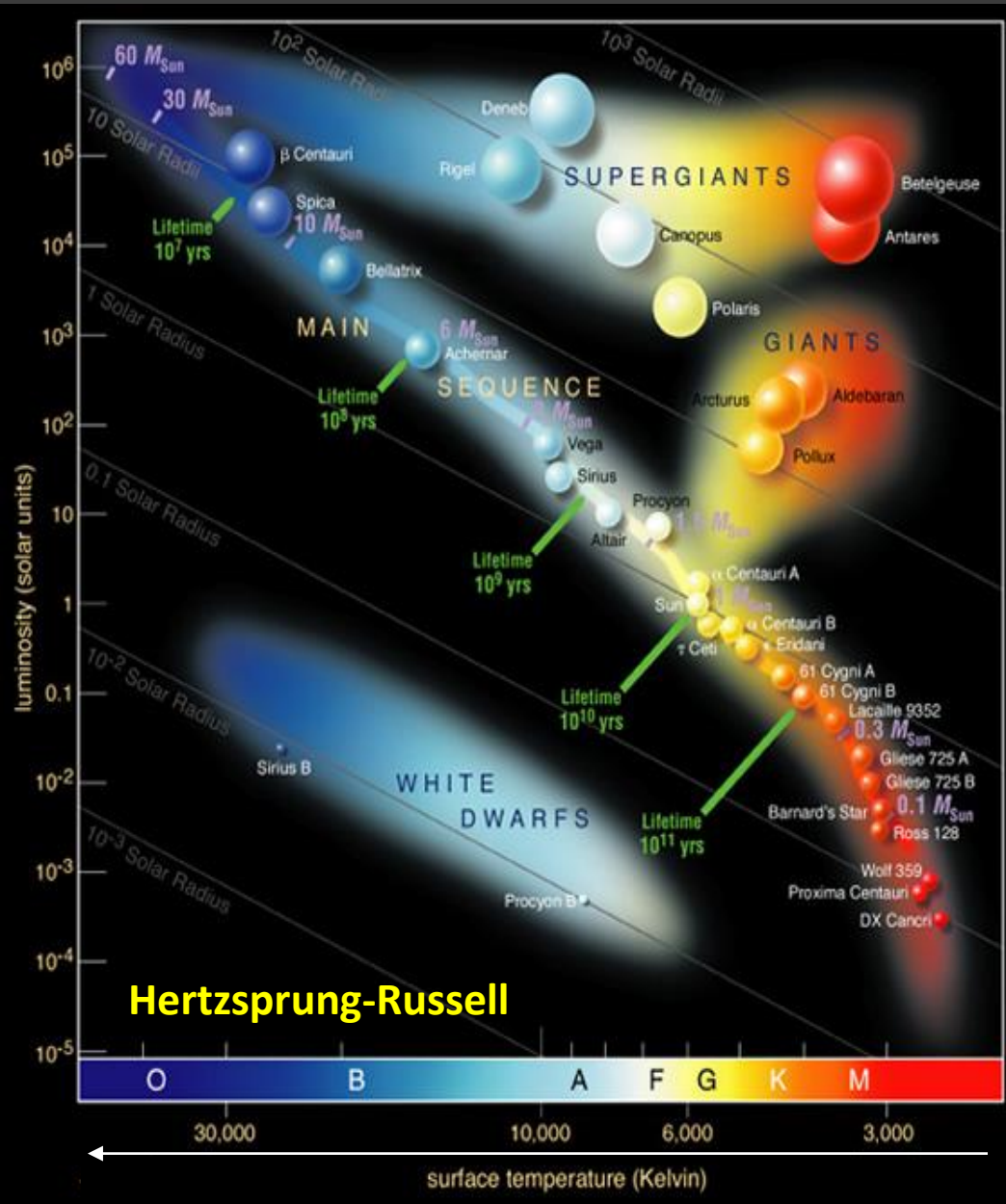
Unité usuelle : Angström [Å]

$$1 \text{ nm} = 10 \text{ Å}$$

Classification spectrale



Classification spectrale

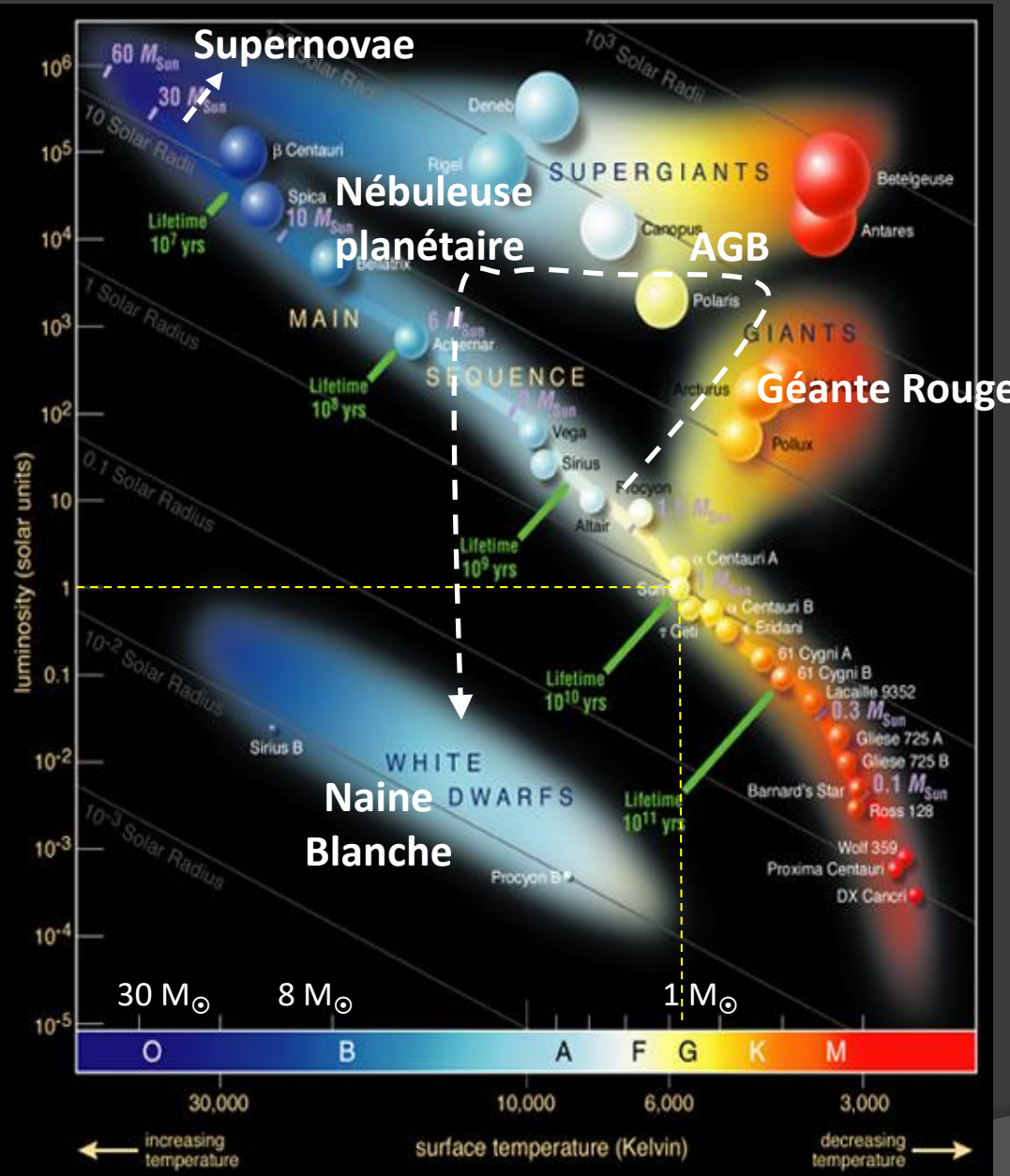


Catalogue HD (Henri Draper) XIX-XX^e
Williamina Fleming
Annie Cannon

Séquence principale

O	30000 K	$16 M_{\odot}$	$6.6 R_{\odot}$	$30000 L_{\odot}$
B	10000 K	$2.1 M_{\odot}$	$1.8 R_{\odot}$	$25 L_{\odot}$
A	7500 K	$1.4 M_{\odot}$	$1.4 R_{\odot}$	$5 L_{\odot}$
F	6000 K	$1.04 M_{\odot}$	$1.15 R_{\odot}$	$1.5 L_{\odot}$
G	5200 K	$0.8 M_{\odot}$	$0.96 R_{\odot}$	$0.6 L_{\odot}$
K	3700 K	$0.45 M_{\odot}$	$0.7 R_{\odot}$	$0.08 L_{\odot}$
M				

Classification spectrale



Evolution stellaire

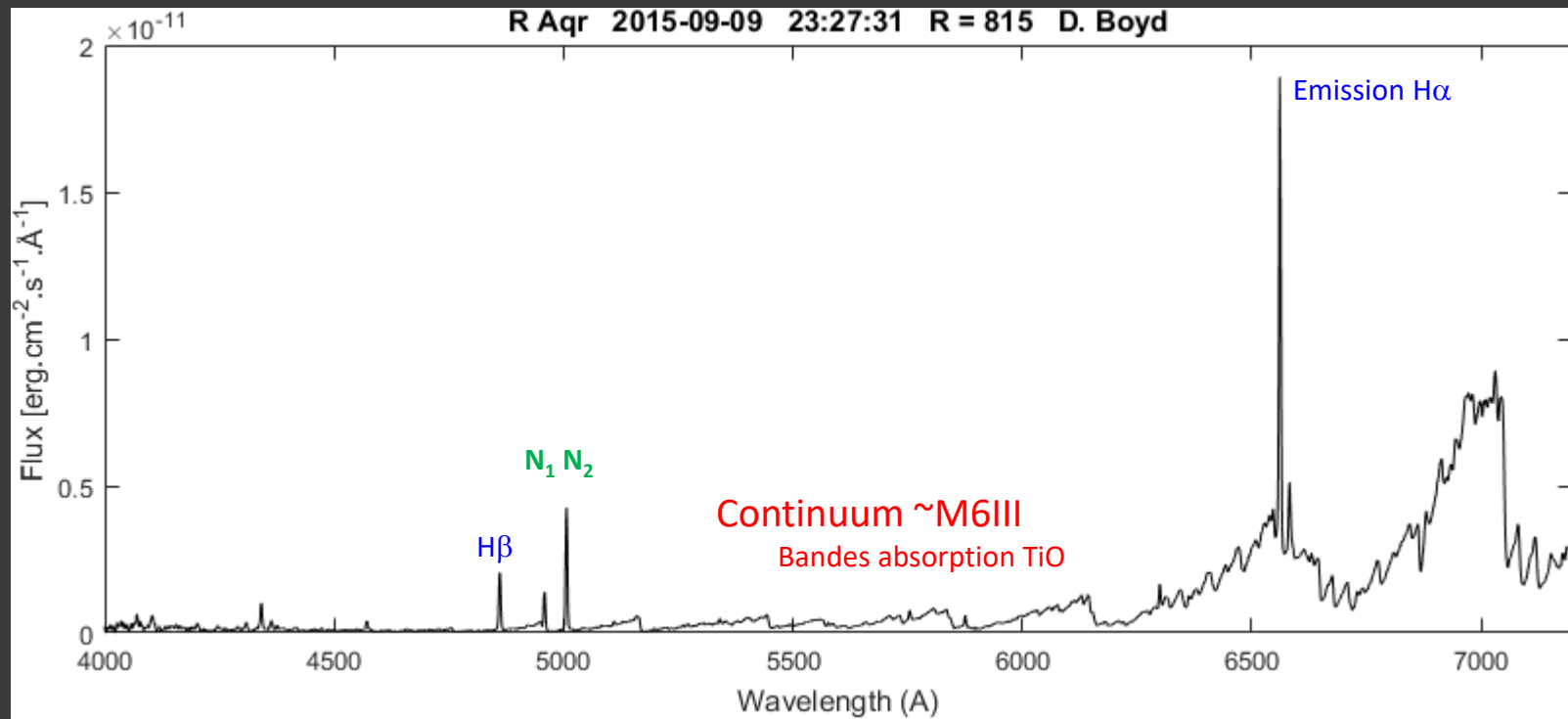
- | | |
|---|---|
| 1 | Spectroscopie et Classification spectrale |
| 2 | La découverte des Etoiles Symbiotiques |
| 3 | Modèle d'une Etoile Symbiotique |
| 4 | Formation du spectre |
| 5 | Les Symbiotiques à l'état calme |
| 6 | Le Zoo des Symbiotiques |
| 7 | Les Symbiotiques en Outburst |
| 8 | Contribution des amateurs |

Classification spectrale : étoiles inclassables

Merrill, 1919

R Aqr, l'ornithorynque :
« un spectre très particulier »

A VARIABLE STAR WITH A PECULIAR SPECTRUM
The long-period variable star R Aquarii z33815 has been found recently to possess a very peculiar spectrum. The data concerning
On the first three plates the chief nebular lines N₁ and N₂, and λ4363 are very conspicuous. On the later plates they are relatively



N₁ N₂ : raies « interdites » O²⁺ [O III] 5007, 4959 Å

Classification spectrale : étoiles à spectre composite

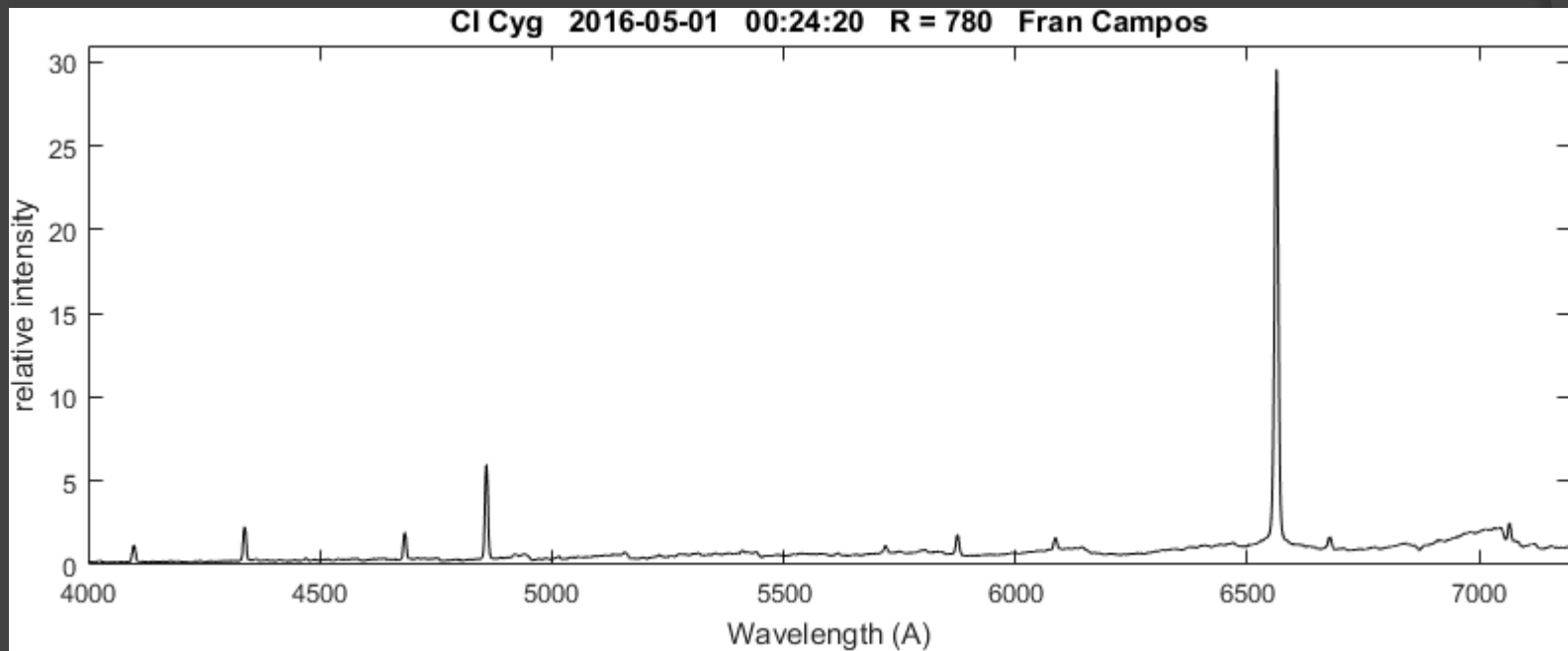
Merrill, 1932

A BRIGHT LINE OF IONIZED HELIUM, $\lambda 4686$, IN THREE STELLAR SPECTRA WITH TITANIUM BANDS

1. Anon	1 ^h 31 ^m 8 ^s	+53° 52'
2. RW Hydreae	13 30 .2	-25 1
3. Anon	19 47 .3	+35 29

AX Per
RW Hya
CI Cyg

In the spectra of these stars bright hydrogen lines and a narrow bright line of wave-length 4686A are superposed on a continuous background showing dark titanium bands whose intensities are about equal to those regularly found in class M4. The



jects for traces of titanium bands. It is of course difficult to understand why a high-excitation line of ionized helium should appear along with the spectrum of a molecule that is dissociated at a relatively low temperature.

Etoiles symbiotiques

Z And

Prototype dans GCVS

Phénomène symbiotique

Etoiles symbiotiques

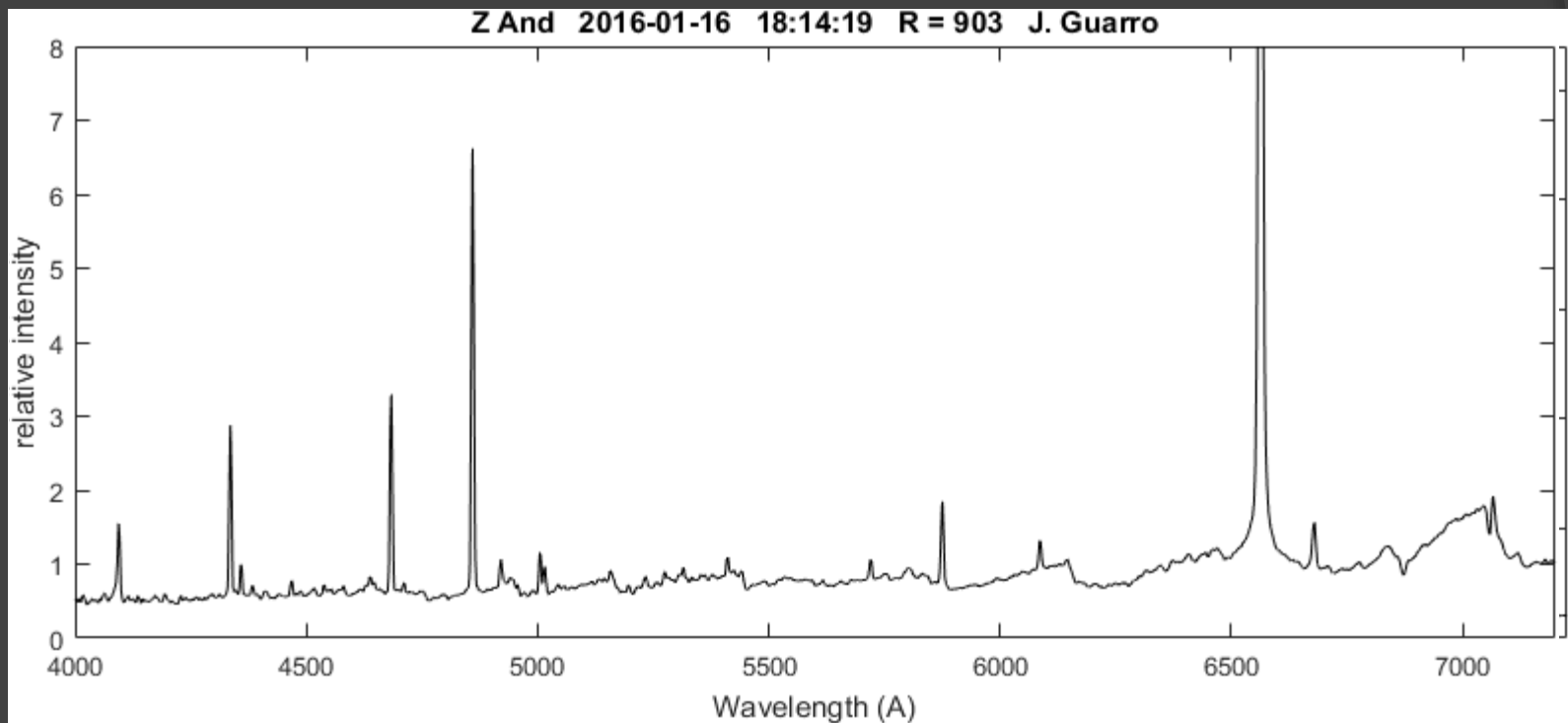
Spectre absorption faible température

Raies fortement excitées en émission

Merrill, 1958

51 — SYMBIOSIS IN ASTRONOMY: INTRODUCTORY
REPORT

spectrograms. Thus Z Andromedae has become the prototype for those anomalous «symbiotic» stars in which high-excitation emission lines are superposed on a low-temperature absorption spectrum, usually of type M.

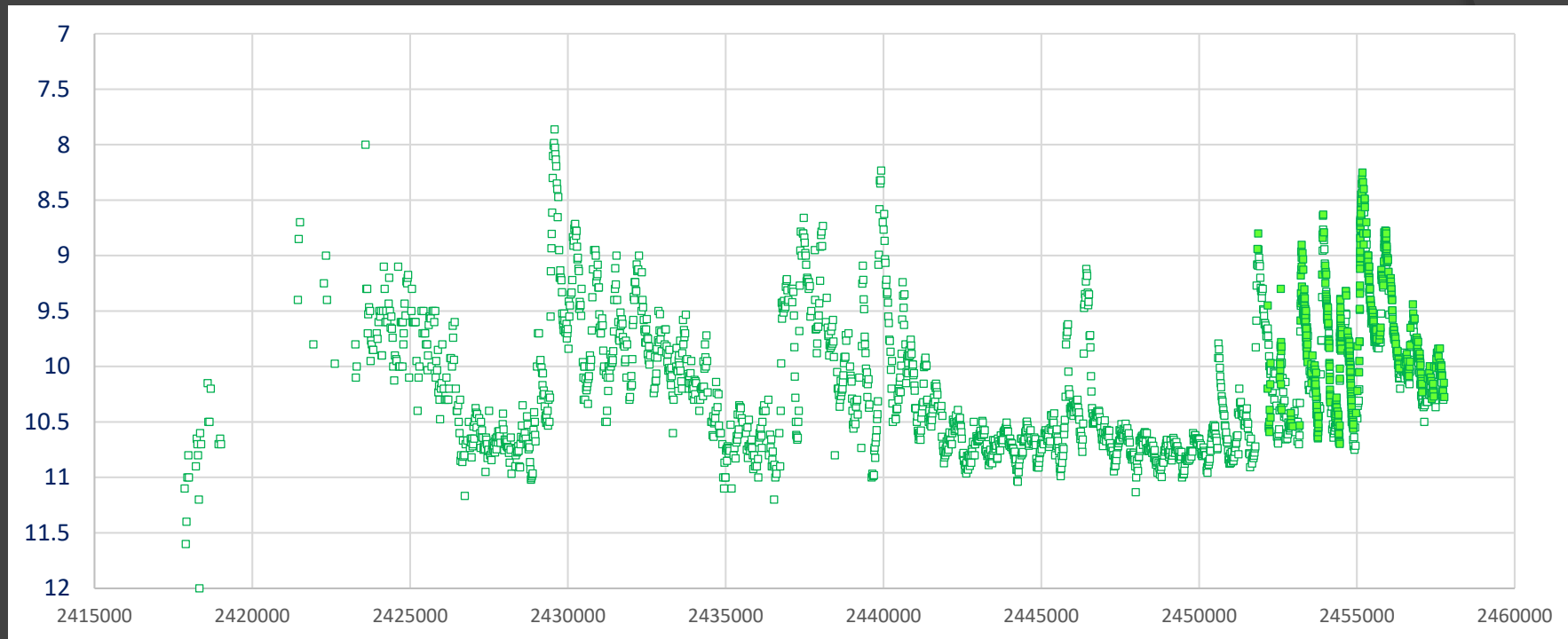


Etoiles symbiotiques

Z And

Prototype dans GCVS

Courbe de luminosité (Visible) – AAVSO – depuis 1907



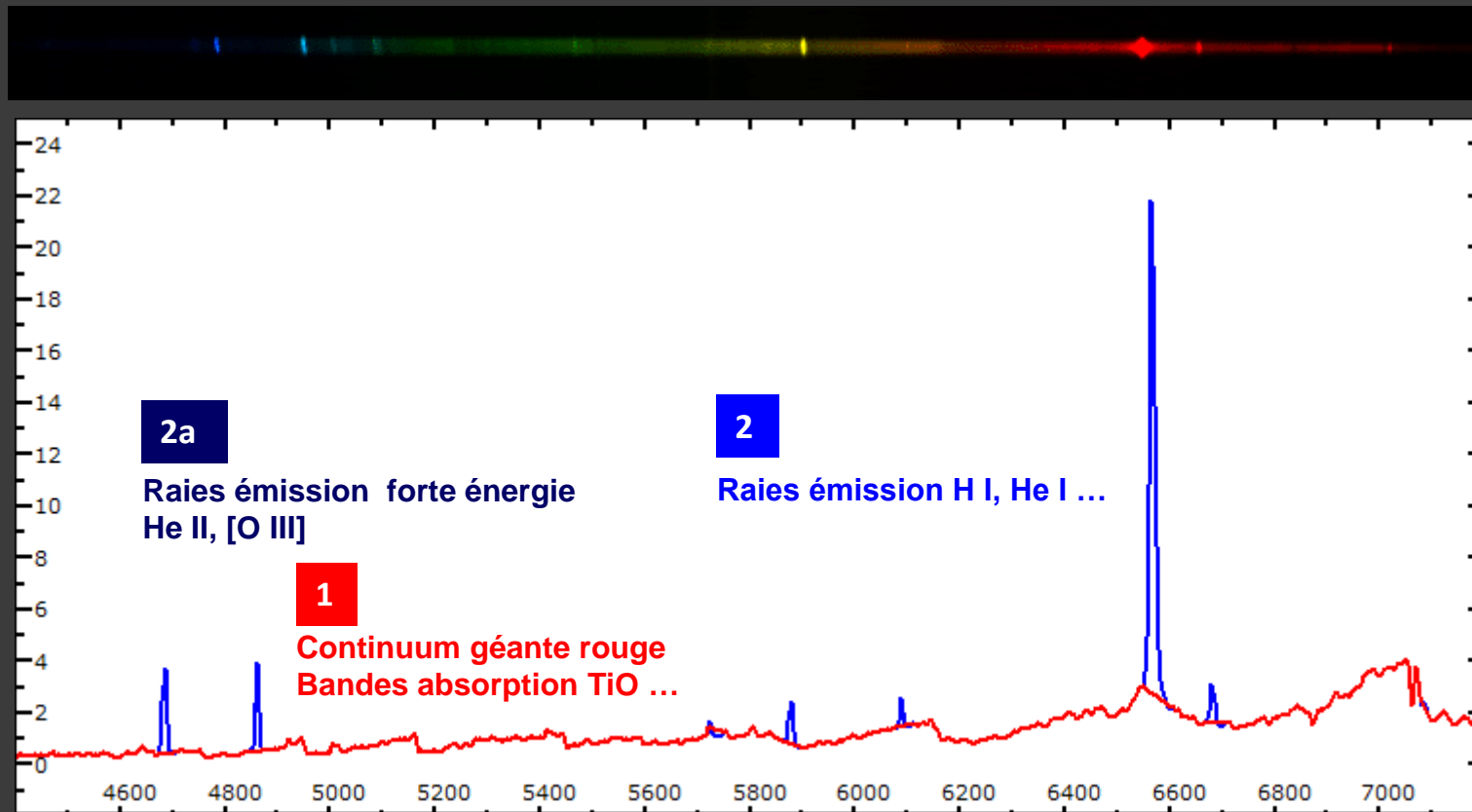
Outburst (High state) - 1 à 3 magnitudes
Etat calme (Quiescent state) – Variations orbitales

Etoiles symbiotiques : Définition

Belczinski & al., 2000

Caractéristique : Spectre composite

1. Présence de bandes d'absorption caractéristiques d'une géante de type tardif (late-type giant), parmi lesquelles TiO, H2O, CO, CN, VO ainsi que des lignes d'absorption telles que CaI, CaII, FeI, NaI
2. Présence de fortes raies d'émission HI, HeI et ...
 - raies d'émission d'ions tels [OIII] (potentiel d'ionisation > 35 eV)
 - [...]



- | | |
|---|---|
| 1 | Spectroscopie et Classification spectrale |
| 2 | La découverte des Etoiles Symbiotiques |
| 3 | Modèle d'une Etoile Symbiotique |
| 4 | Formation du spectre |
| 5 | Les Symbiotiques à l'état calme |
| 6 | Le Zoo des Symbiotiques |
| 7 | Les Symbiotiques en Outburst |
| 8 | Contribution des amateurs |

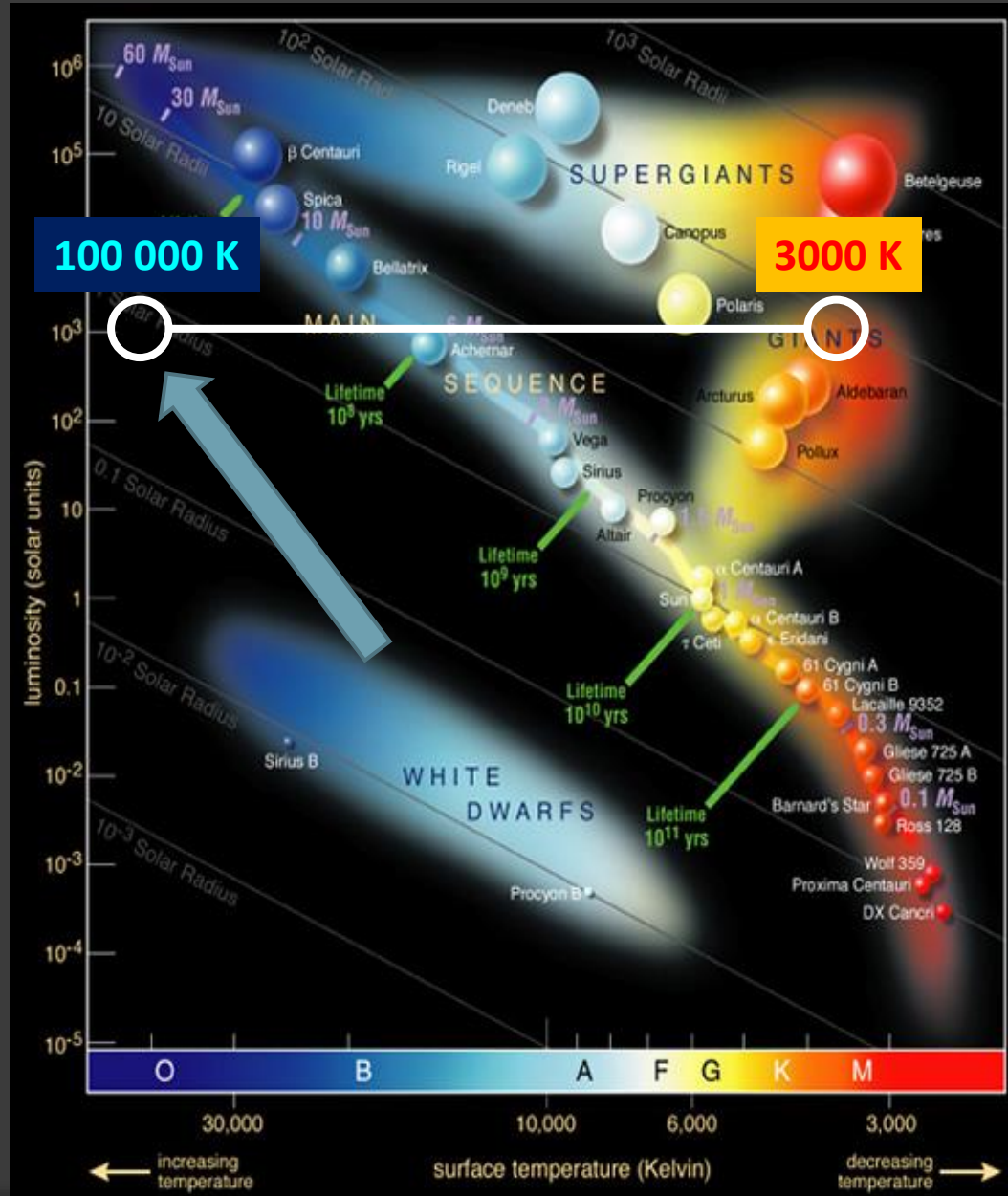
Etoiles symbiotiques : Etoiles binaires en interaction

'70 : abandon des modèles à étoile unique (FUV)

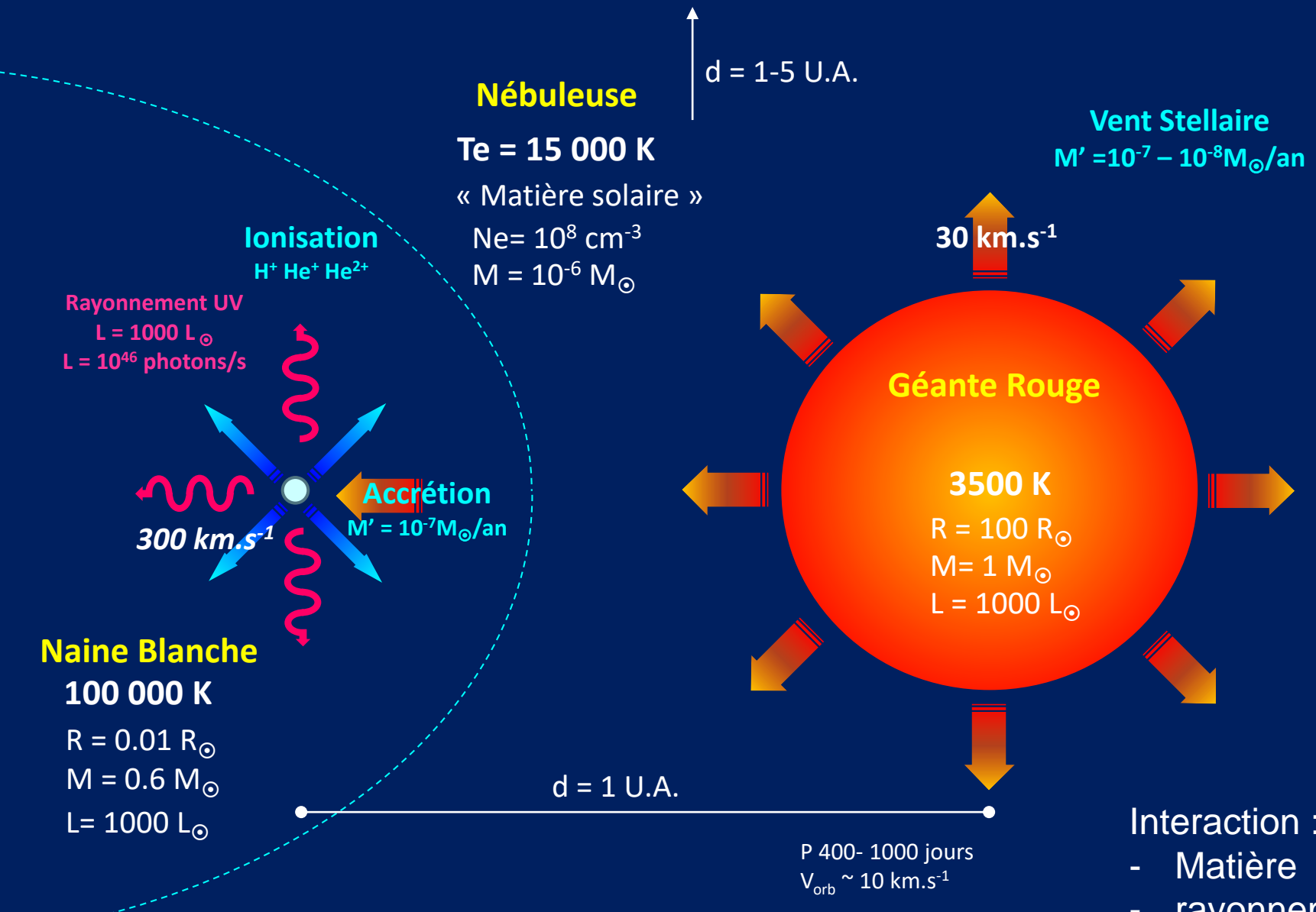
$1000 L_{\odot}$

Symbiotiques

Systèmes binaires composés d'étoiles de forte luminosité dont les températures sont très différentes



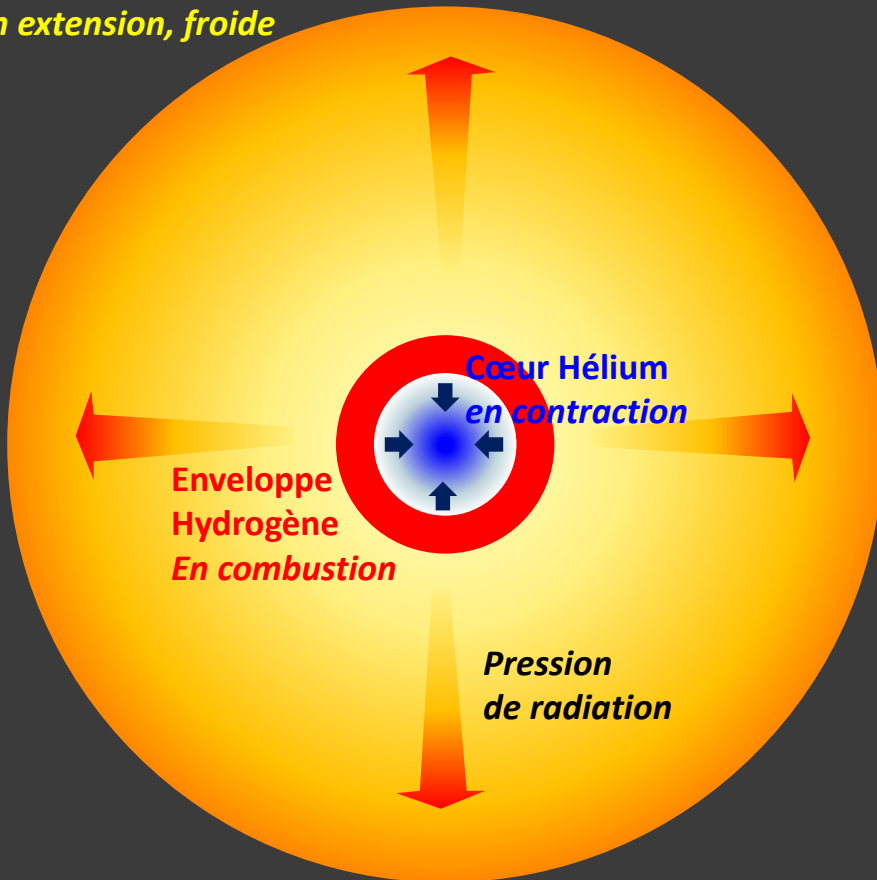
Modèle étoile symbiotique classique



Interaction :
- Matière
- rayonnement

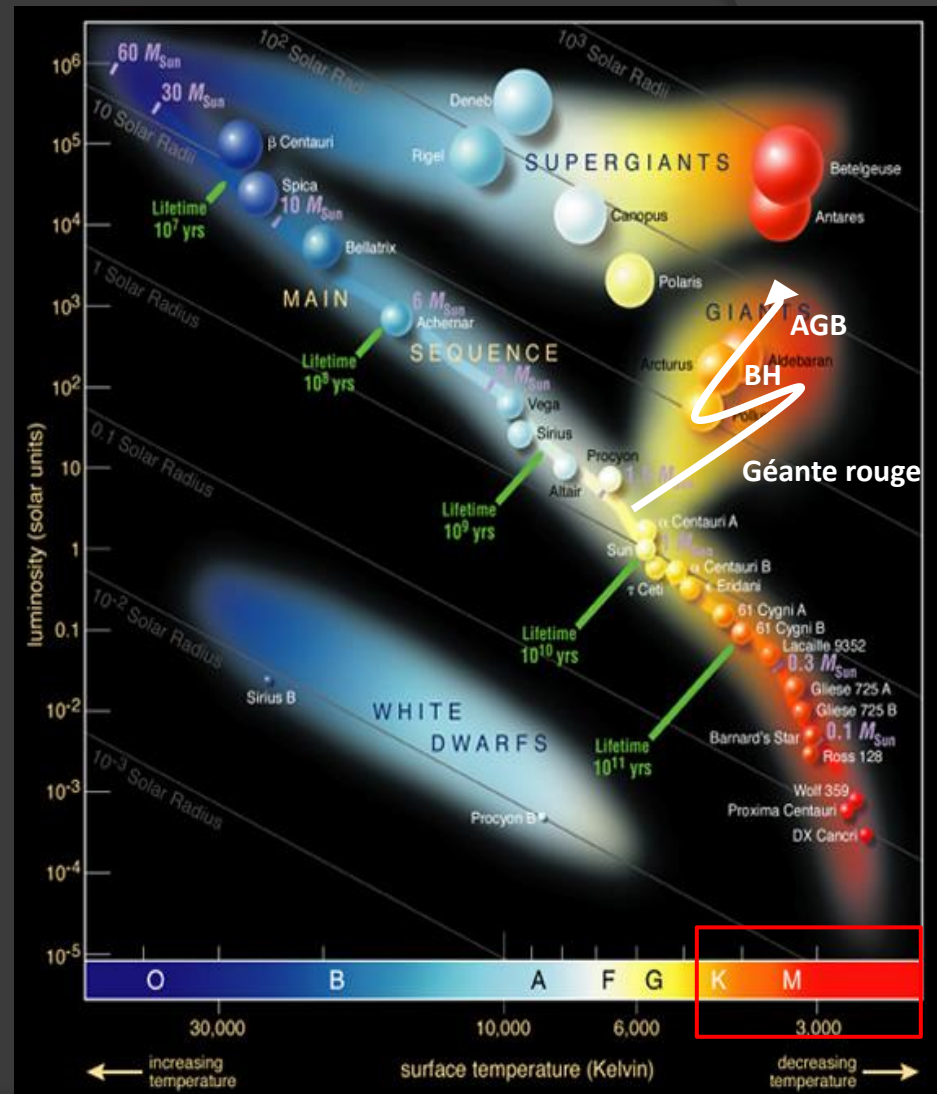
Géante Rouge

Enveloppe extérieure
Hydrogène
En extension, froide

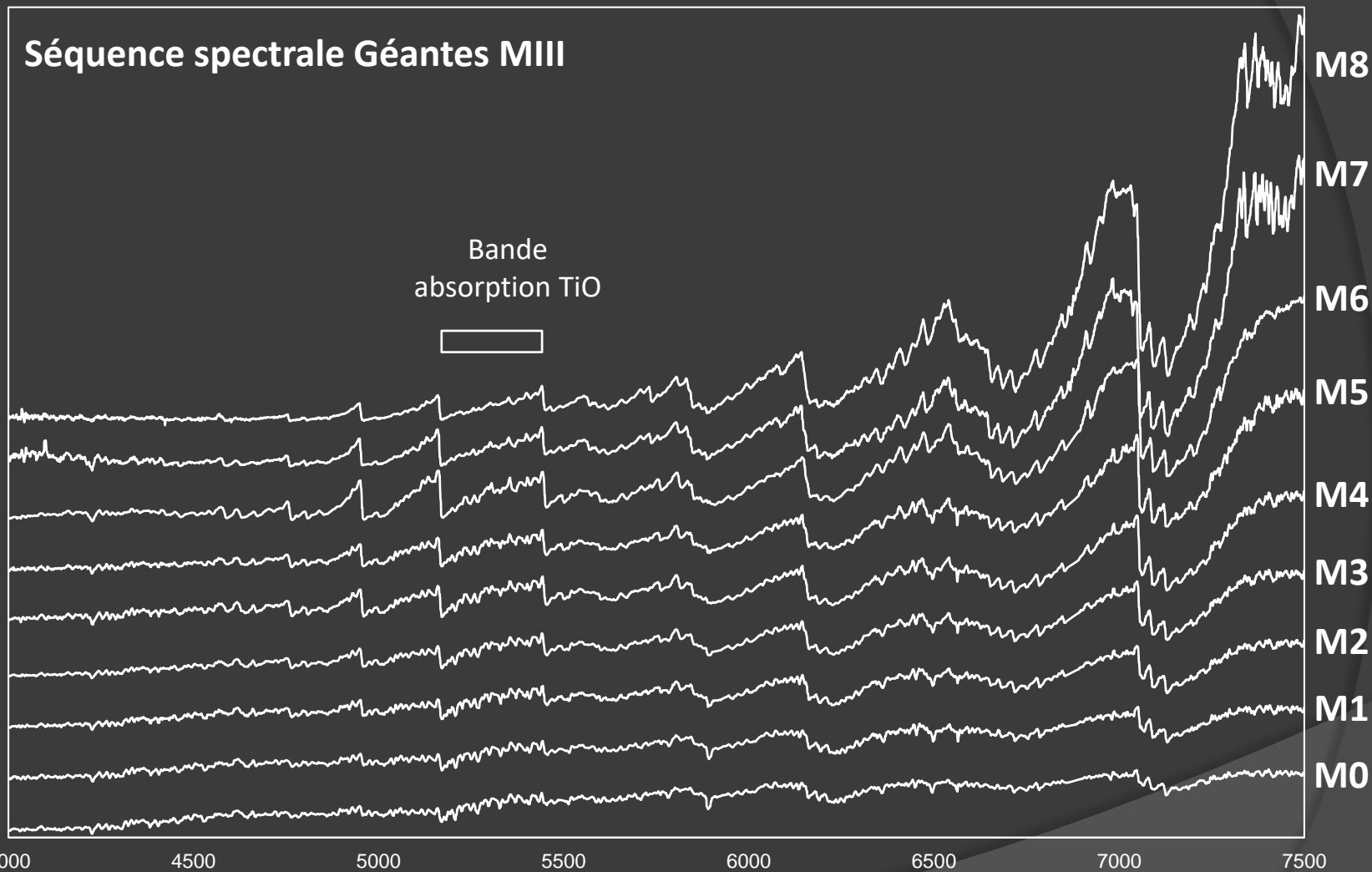


$10 - 100 R_\odot$
 $1000 L_\odot$
T 2300 – 3900 K

10% des étoiles du catalogue BSC



Géante Rouge



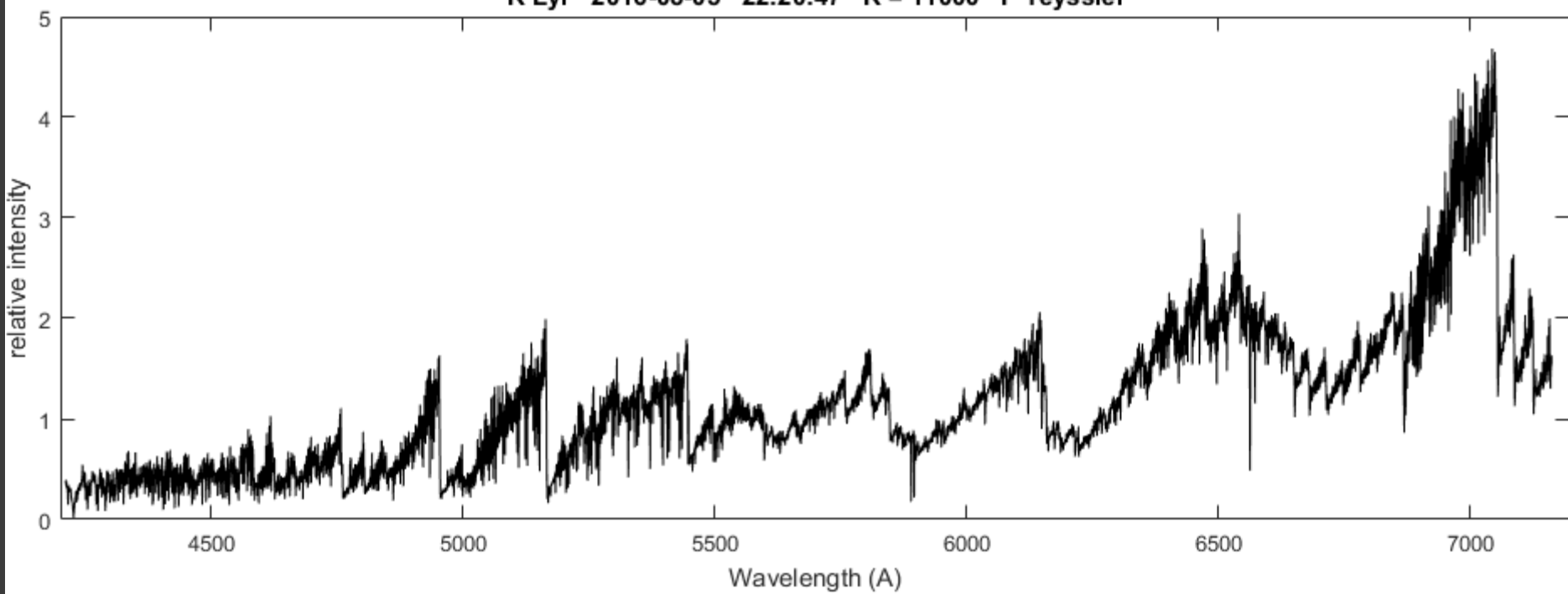
Spectres synthétiques. Flukes

Géante Rouge

R Lyr

M5III

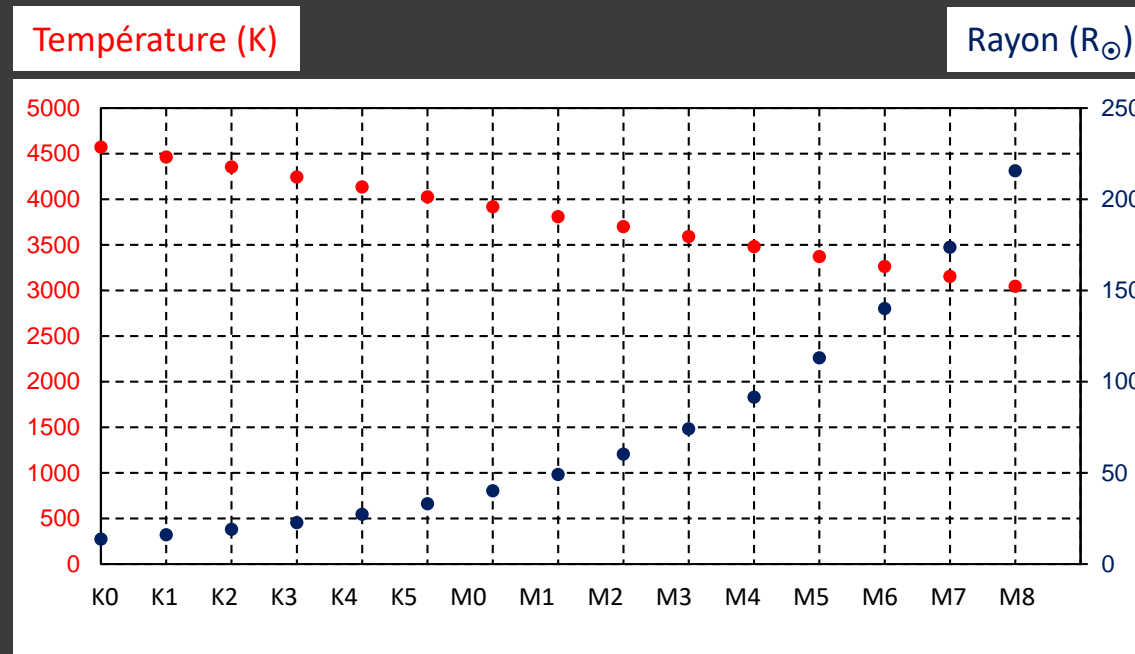
R Lyr 2016-08-05 22:20:47 R = 11000 F Teyssier



Géante Rouge

Van Belle & al. (1999)

Mesures interférométriques du rayon de géantes et supergéantes rouge



Régressions :

$$\text{Température} \quad T = -109 \cdot ST + 4570 \text{ K}$$

$$\text{Rayon} \quad R = 4.04 + 9.58 \cdot 10^{(0.096 \cdot ST)}$$

ST = type spectral : K0 = 0 .. M8 = 14

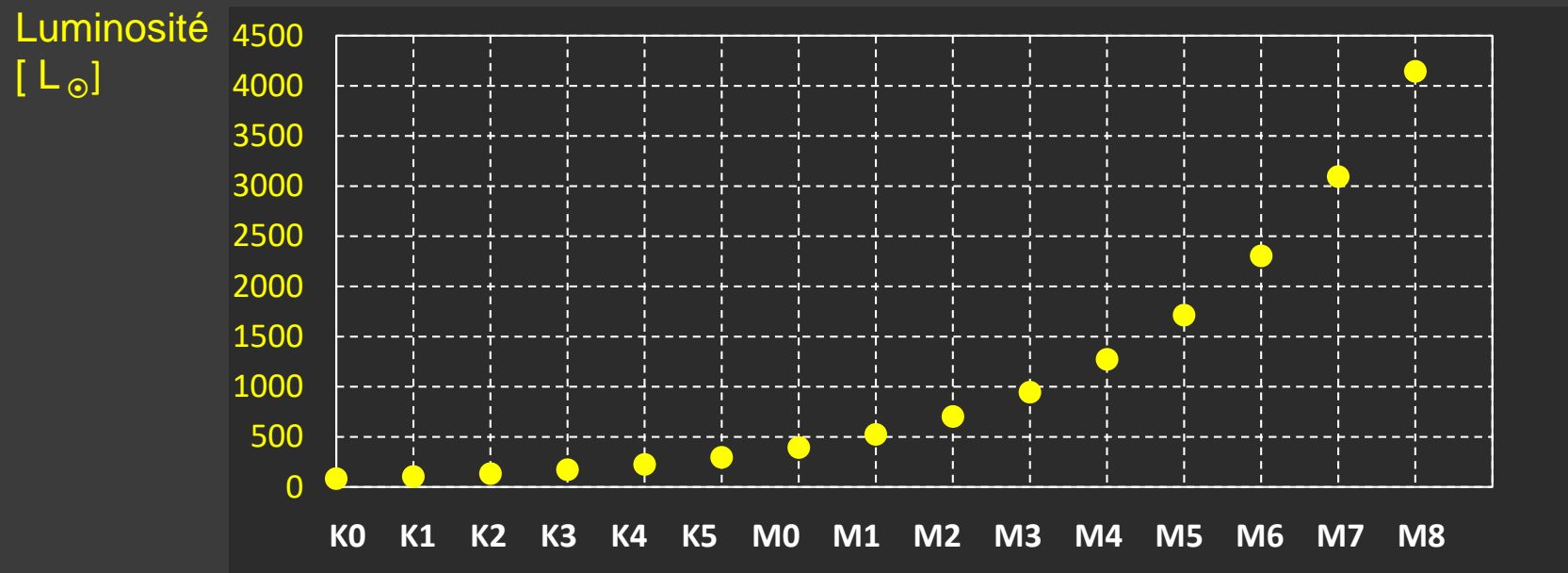
Géante Rouge

Luminosité en fonction du type spectral

$$L = 4 \pi R^2 \sigma T^4$$

σ : constante de Stefan-Boltzmann

$$L = (R/R_\odot)^2 \sigma (T/5770)^4$$



$R \uparrow \Rightarrow L \uparrow$
Forte Luminosité

Géante Rouge

Très faible gravité de surface

Perte de masse

Reimers (1975)

$$M' = 4 \cdot 10^{-13} \eta r ((L_* R_*) / (M_*))$$

ηr : 1/3 à 3 selon le type d'étoile

L_* , R_* , M_* exprimés en M_\odot

M' en M_\odot / an

$$L_* R_* / M_* \sim 100\,000$$

$$M' \sim 10^{-8} M_\odot / \text{an}$$

$$M' \sim 10^{22} \text{ kg / an}$$

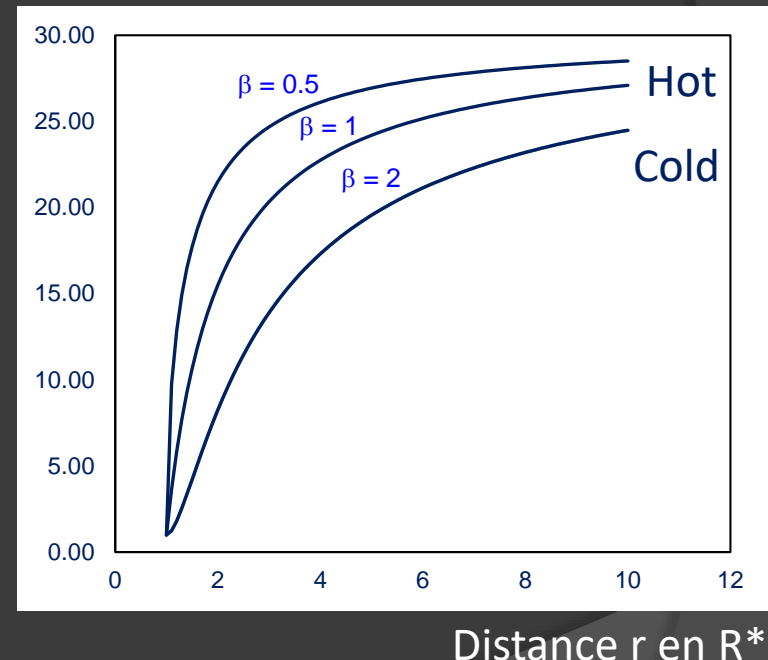
$$M' \sim 1/100 \text{ masse terrestre / an}$$

Vitesse du vent stellaire

Lamers & Cassinelli (1999)

$$v(r) \sim v_\infty ((1 - R^*)/r)^\beta$$

$$v (\text{km.s}^{-1})$$



v_r = vitesse à la distance r exprimée en rayons de l'étoile

v_∞ = vitesse maximale (asymptotique)

R^* = rayon de l'étoile

β = facteur dépendant du type étoile

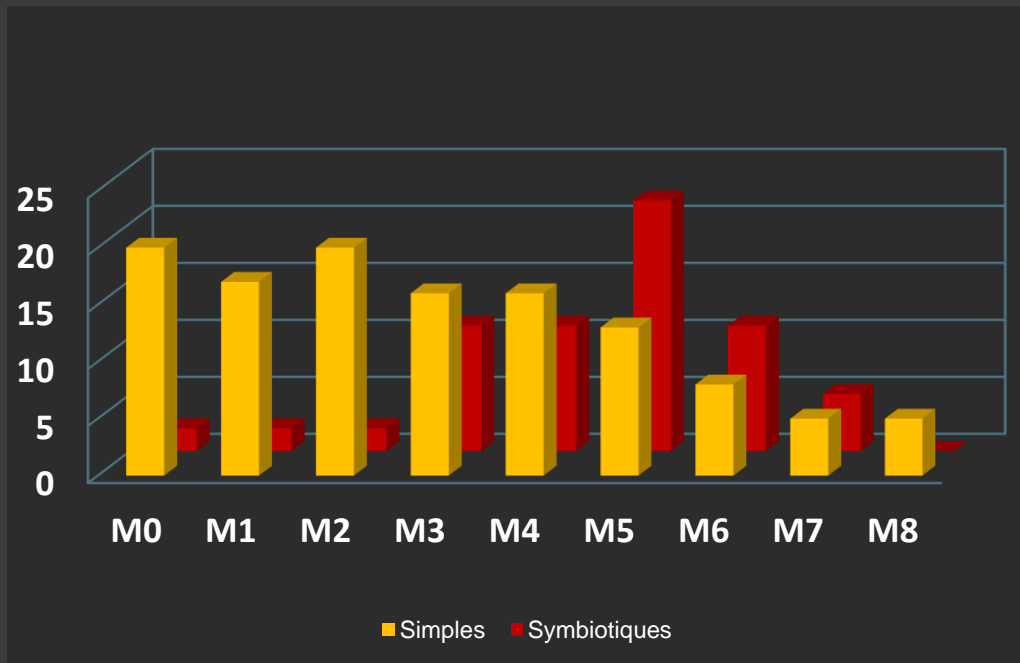
Géante Rouge

Distribution du type spectral

Géante rouge des symbiotique de type plus tardif

= condition du phénomène symbiotique

→ Perte de masse plus élevée



[Mürset & Schmid, 1999]

Keyes 2004

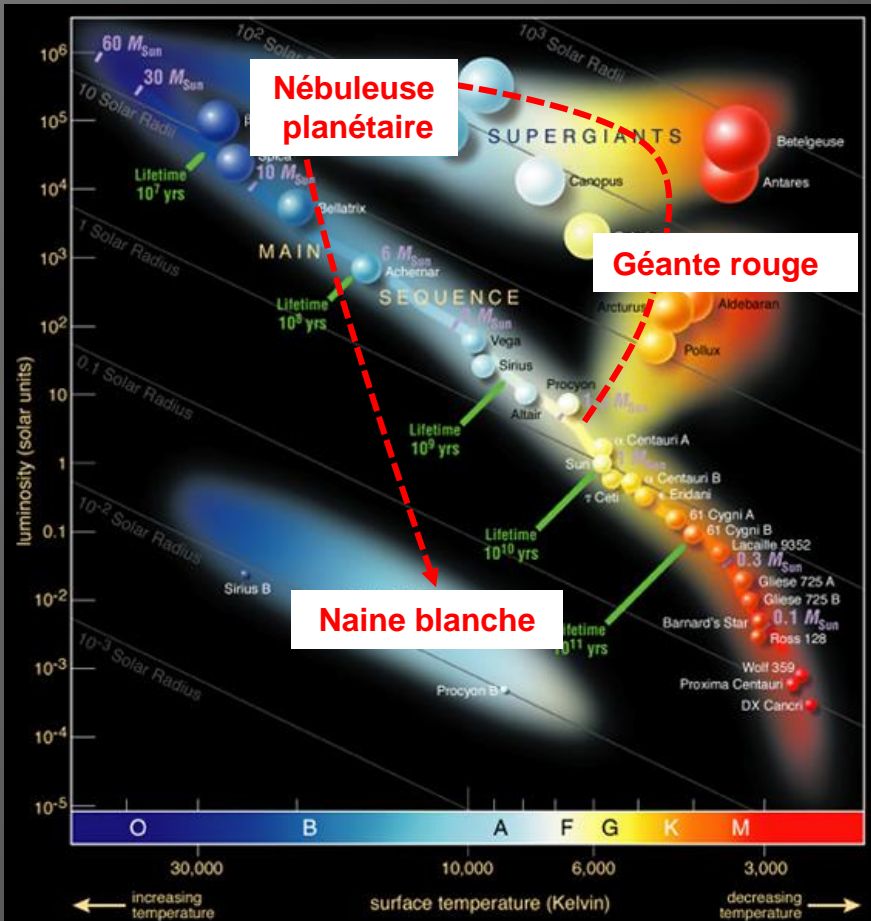
AG Dra	< K4
AG Peg	M1.7 III
EG And	M2.4 III
BF Cyg	M4.2 III
T CrB	M4.4 Ib-II
Z And	M4.4 III
AX Per	M4.8 III
CI Cyg	M4.8 III
V443 Her	M4.9 III

Classification Spectrale
Etoile froide
Keyes 2004
Mürset 1999
Kenyon 1987

Naine Blanche

Naine blanche

Stade ultime de l'évolution des étoiles
de masse $< 10 M_{\odot}$



Absence de réactions thermonucléaires
Matière condensée
En refroidissement ($100\,000\, K \rightarrow$)

Plusieurs types en fonction
de la masse initiale de l'étoile

Type	Principaux constituants	Masse initiale	Masse finale
C O	Carbone Oxygène	$< 9 M_{\odot}$	$< 1.1 M_{\odot}$
O Ne	Oxygène Néon	$9 M_{\odot} < M < 11 M_{\odot}$	$< 1.4 M_{\odot}$
He	Hélium		

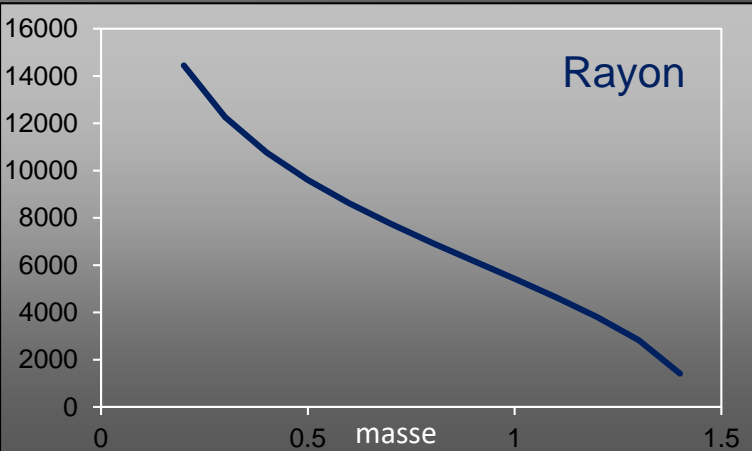
Valeurs approximatives
Voir Doherty & al., 2010

Masse moyenne = $0,6 M_{\odot}$
Si $M > 1,4 M_{\odot}$: effondrement de type supernova Ia
(limite de Chandrasekar)

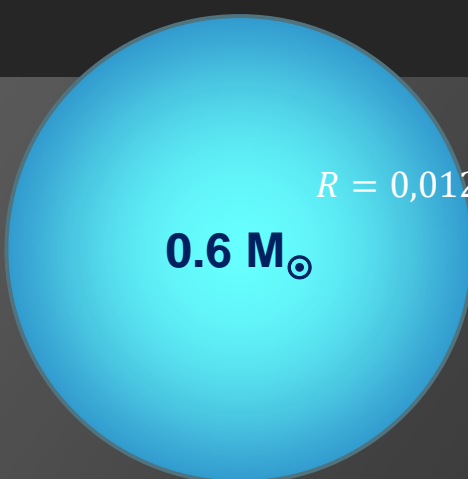
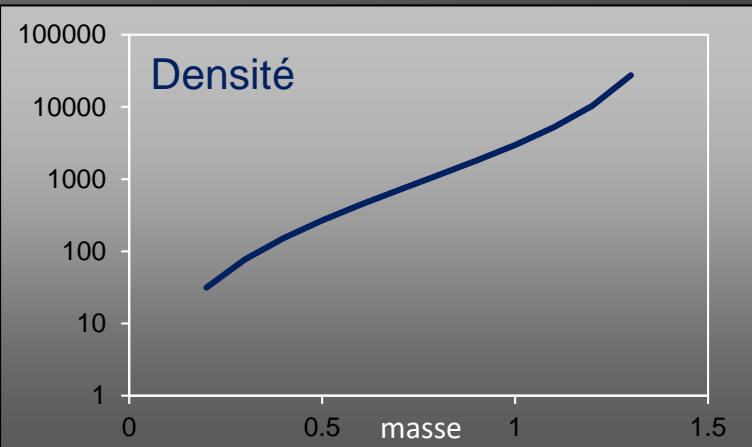
Naine Blanche

Naines blanches

km



g.cm^{-3}



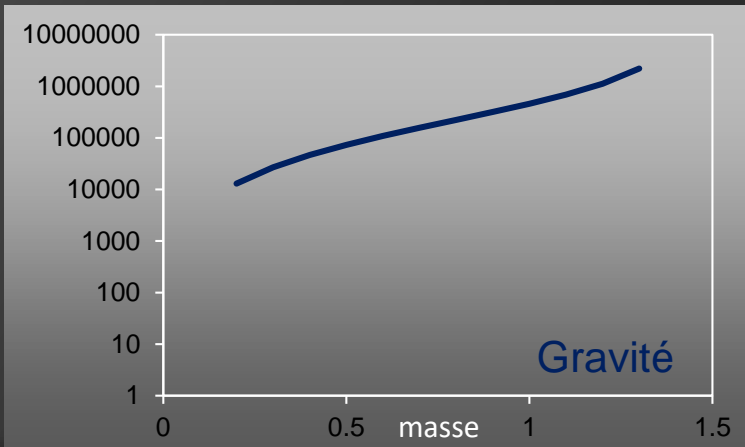
$0.6 M_{\odot}$



$1.0 M_{\odot}$



$1.3 M_{\odot}$

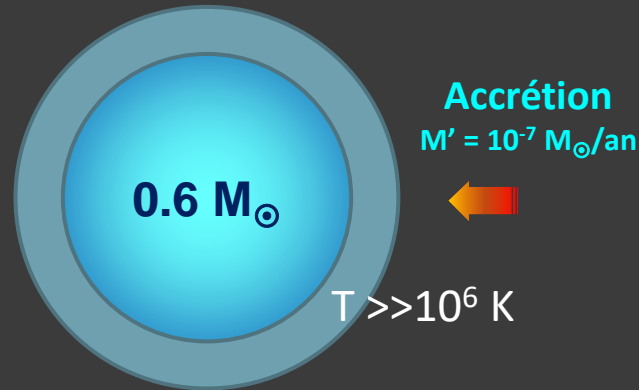


Quelques grandeurs caractéristiques en fonction de la masse de la naine blanche exprimée en masses solaires

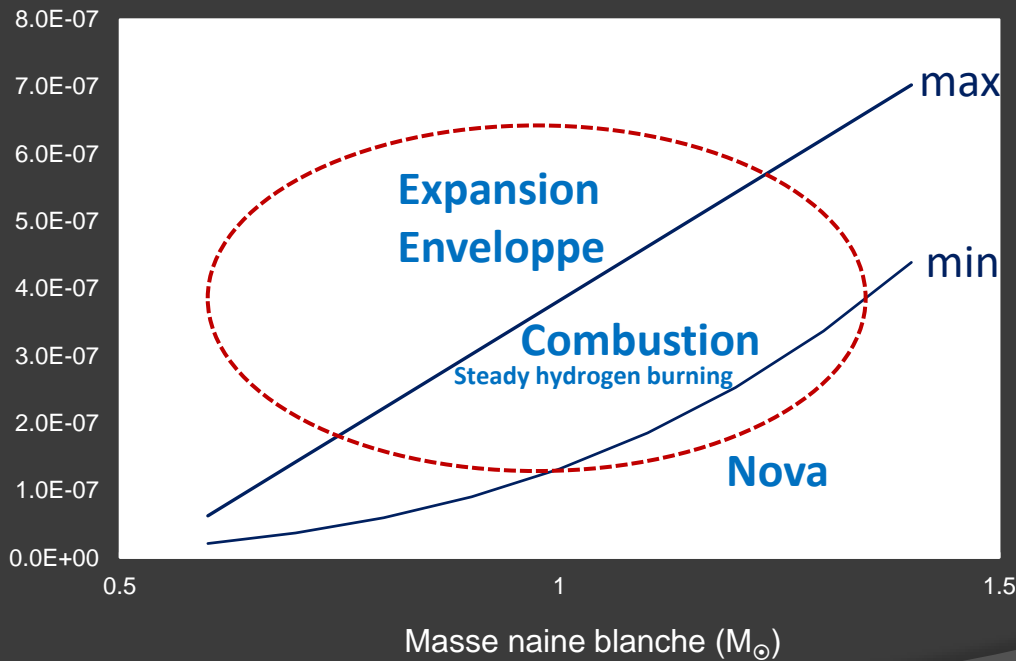
Naine Blanche

Réactions thermonucléaires stables
dans l'enveloppe de matière non dégénérée

(Novae : réactions explosives
dans une enveloppe dégénérée
avec éjection d'une partie de l'enveloppe)



Accrétion (M_{\odot}/an)



Taux d'accrétion minimum:
Iben, 2002
 $M' = 1,32 \cdot 10^{-7} M_{\odot}/an \cdot M_{wd}^{3.57}$

Taux d'accrétion maximum
Paczynski, 1970
Max = $8 \cdot 10^{-7} M_{\odot}/an \cdot (M_{wd} - 0,522 M_{\odot})$

Note : modèles simples
Luminosité, Twd

Composant chaud : Naine blanche + Enveloppe

Forte dispersion

	T [K]	R [R_{\odot}]	L [L_{\odot}]	Date
EG And	70 000	0.02	7.5	Oct. 82
AX Per	105 000	0.08	710	Oct. 84
AG Dra	130 000	0.01	19	Jun. 83
CI Cyg	115 000	0.06	560	Aug. 83
Z And	130 000	0.08	1600	Sep. 84
YY Her	100 000	0.11	1100	Aug. 80

Faible luminosité :
Accrétion seule
(Energie gravitationnelle)
Forte Luminosité :
Réactions thermonucléaires

Mürset 1991

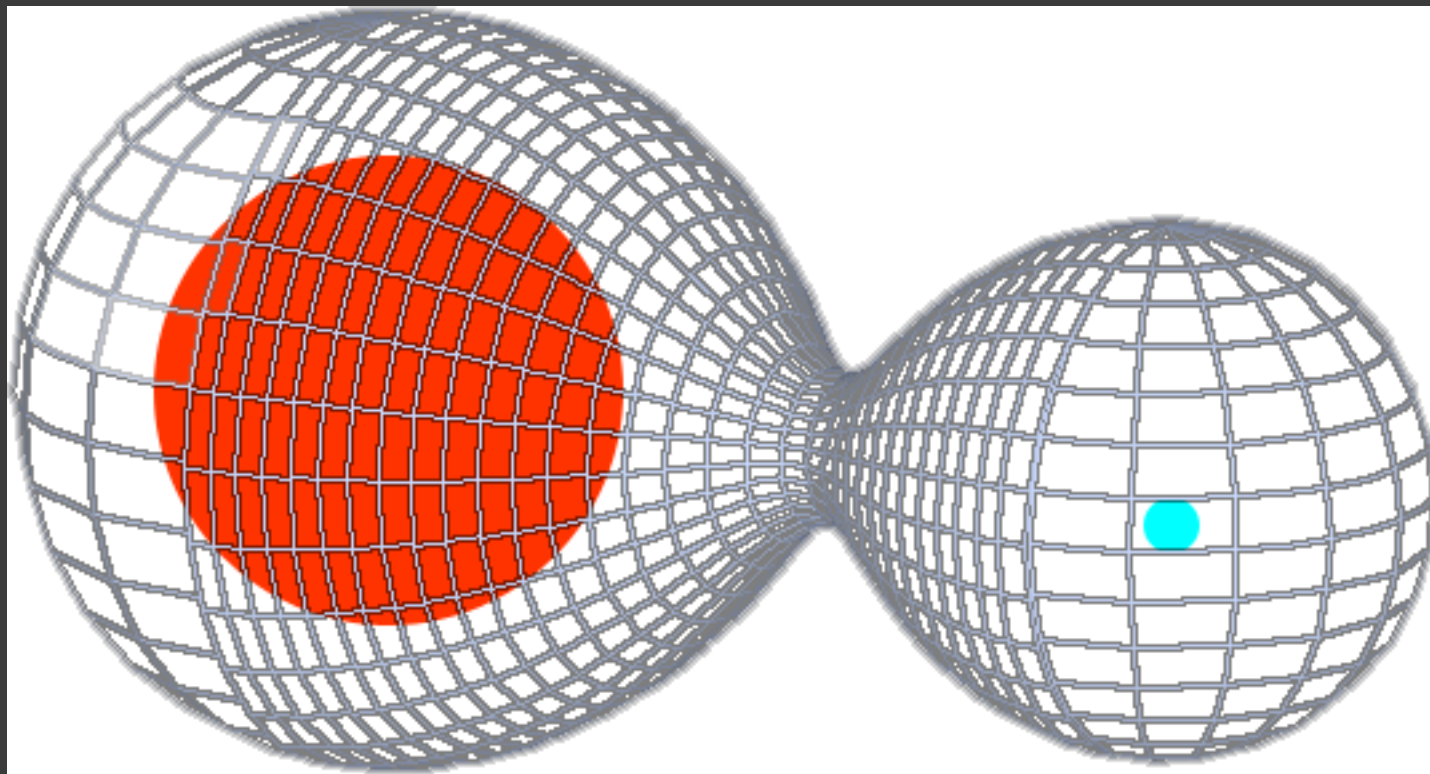
Variabilité importante
Z And

T [K]	L [L_{\odot}]	Date
110 000	620	07-79
105 000	620	05-80
110 000	860	08-80
105 000	720	01-81
130 000	1600	09-84
125 000	1600	10-84

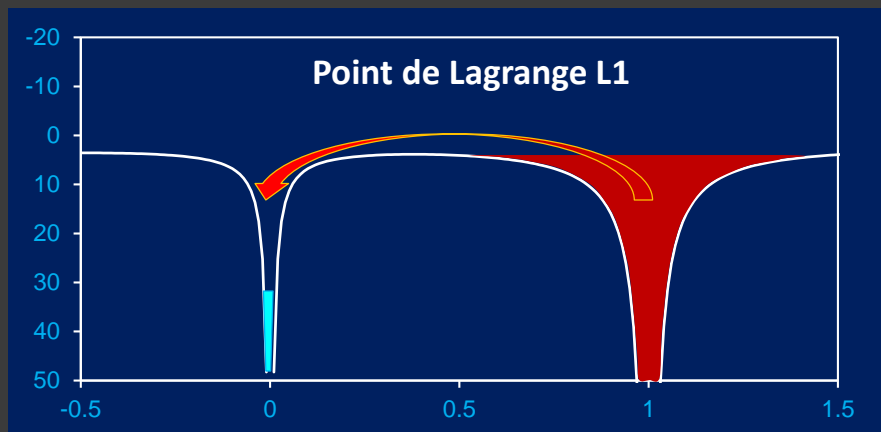
Taux d'accrétion à la surface de la naine blanche

Lobes de Roche

$$M_1/M_2 = 2$$

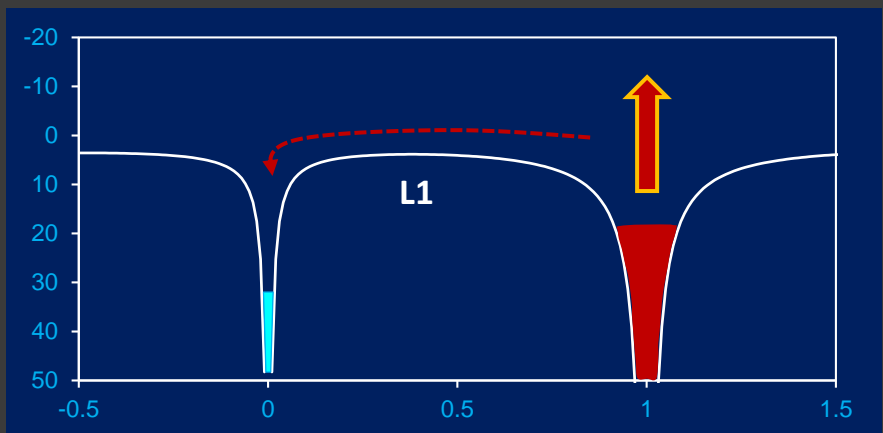


Taux d'accrétion à la surface de la naine blanche



Naine Blanche
 $M = 0.6 M_{\odot}$

Géante rouge
 $M = 1 M_{\odot}$



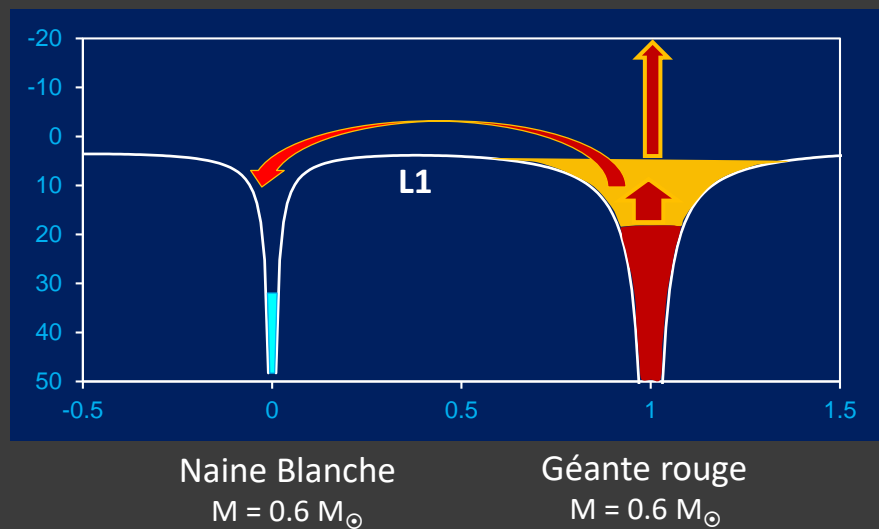
Etoile rouge remplit son lobe de Roche
Accrétion \sim Perte de masse de la géante

En règle générale : ce n'est pas le cas des symbiotiques
Photométrie : variations ellipsoïdales

Etoile rouge ne remplit pas son lobe de Roche
Accrétion \sim 1-10 % de la Perte de masse de la géante
[Bondi & Hoyle]

Insuffisant pour maintenir la combustion de la matière
accrétée dans l'enveloppe de la naine blanche

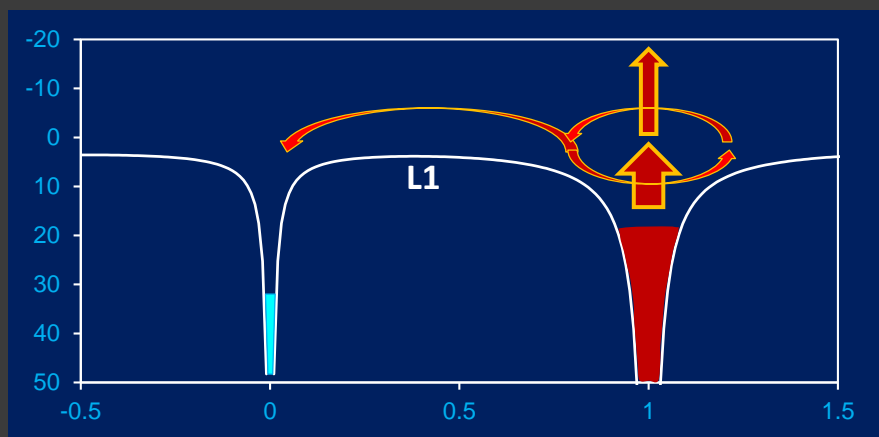
Taux d'accrétion à la surface de la naine blanche



Deux modèles

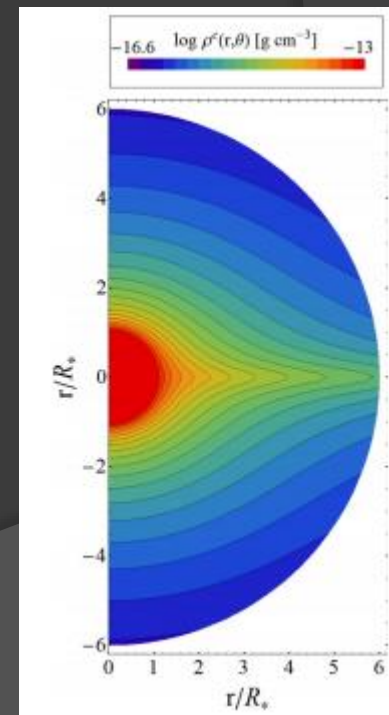
Le vent émis par la Géante Rouge
est canalisé par le lobe de Roche

Wind Roche-lobe overflow
WRLOF



Wind Compression Model
WCM

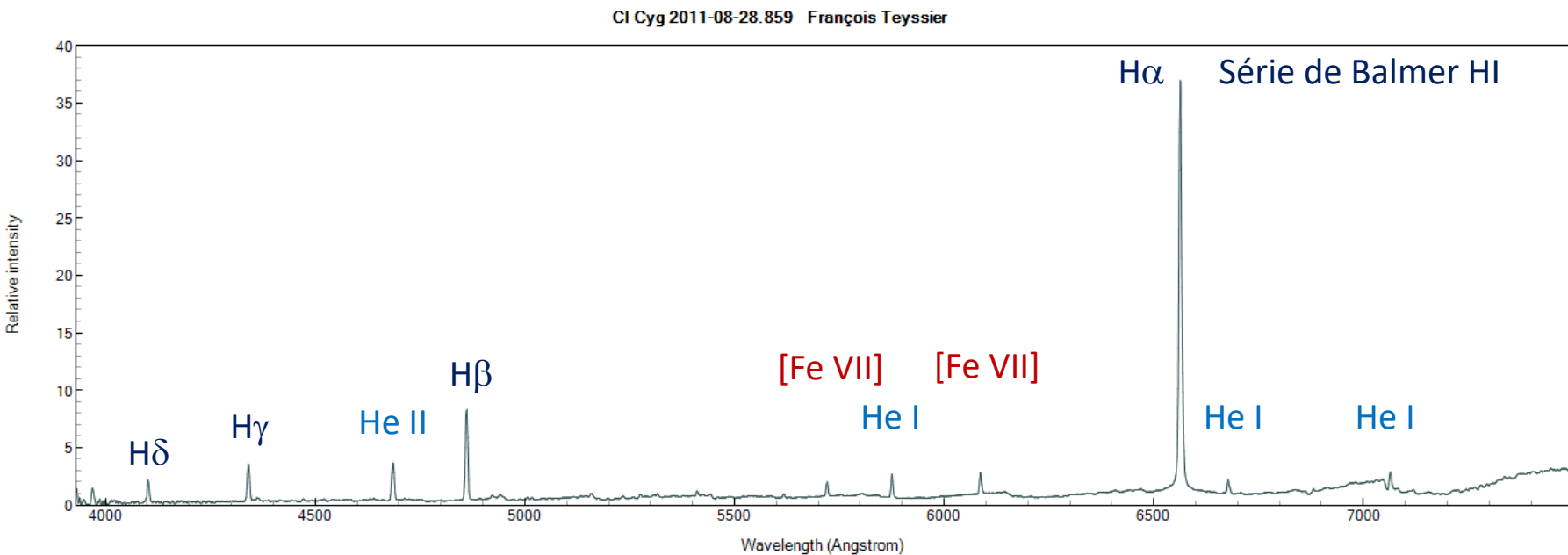
La rotation de la géante
produit une compression du vent



Etoiles Symbiotiques

- | | |
|---|---|
| 1 | Spectroscopie et Classification spectrale |
| 2 | La découverte des Etoiles Symbiotiques |
| 3 | Modèle d'une Etoile Symbiotique |
| 4 | Formation du spectre |
| 5 | Les Symbiotiques à l'état calme |
| 6 | Le Zoo des Symbiotiques |
| 7 | Les Symbiotiques en Outburst |
| 8 | Contribution des amateurs |

Spectre typique Symbiotique classique



Raies « permises » Recombinaison après ionisation par radiations UV

Raies « interdites » Excitées par collision avec électrons libres

Formation du spectre

H

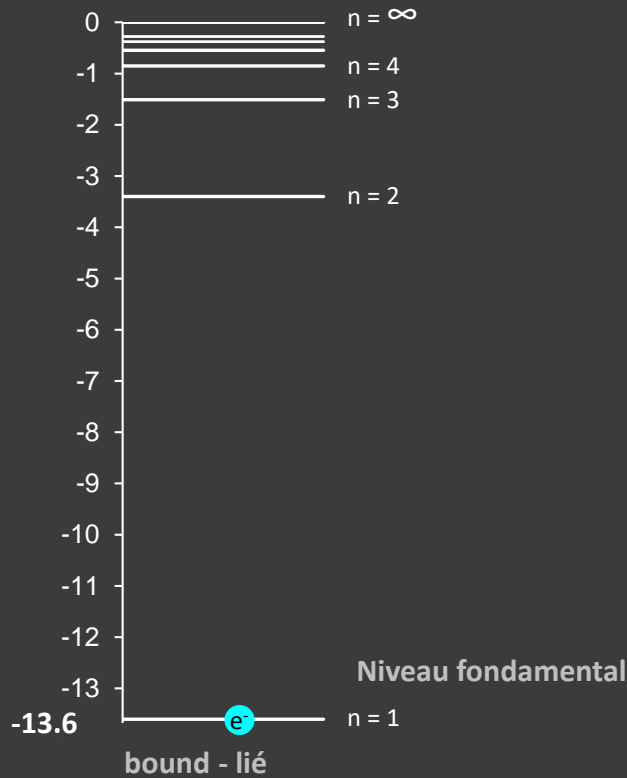
I.P. = 13.6 eV

Recombinaison

Etat fondamental

$$E_n = -13.6 \text{ eV} / n^2$$

E [eV]

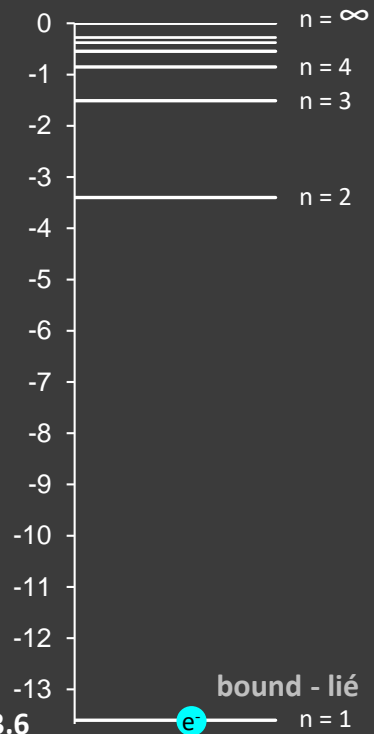


H⁺

Etat fondamental

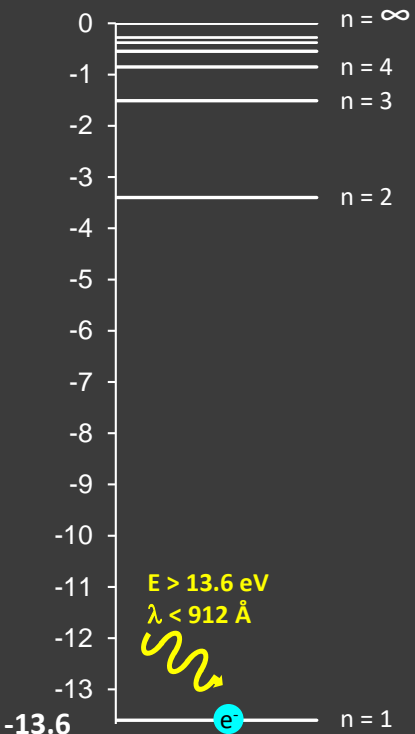
$$E_n = -13.6 \text{ eV} / n^2$$

E [eV]

 H^+ Ionisation $H \rightarrow H^+ + e^-$

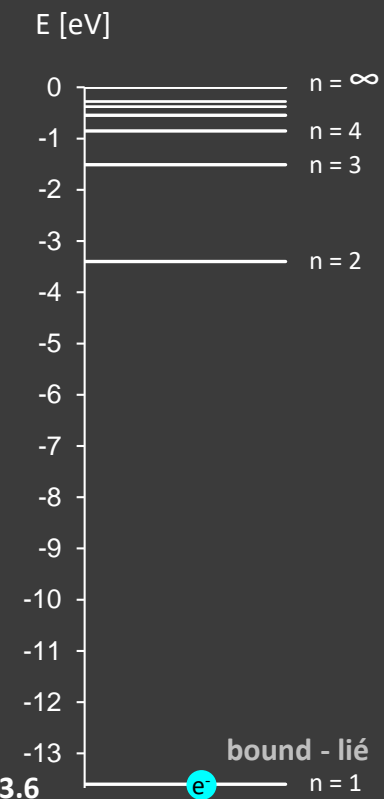
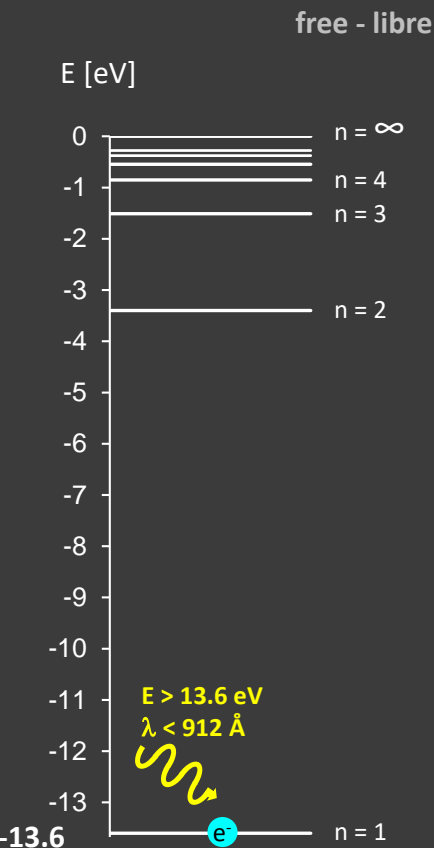
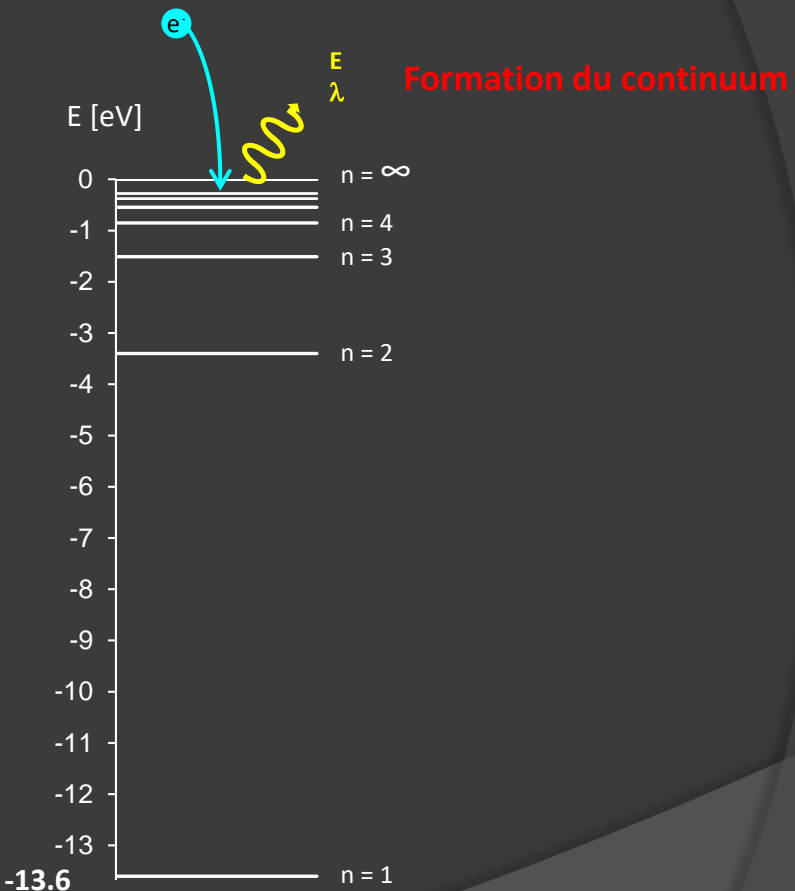
$\nearrow V$
free - libre

E [eV]

 H^+

Etat fondamental

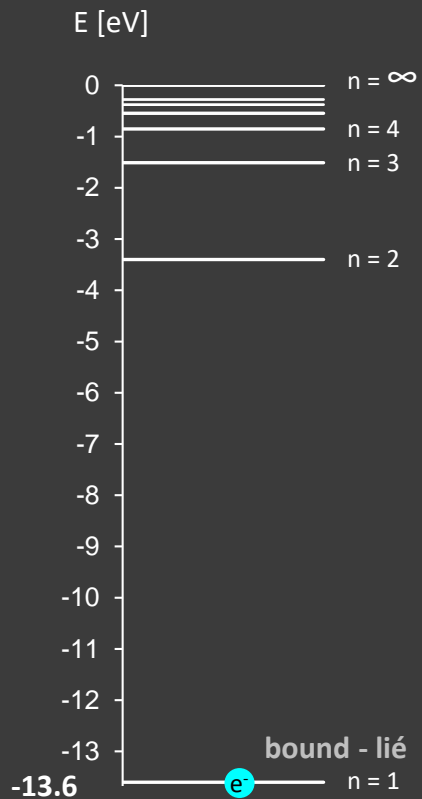
$$E_n = -13.6 \text{ eV} / n^2$$

Ionisation $H \rightarrow H^+ + e^-$ Recombinaison $H^+ + e^- \rightarrow H$ 

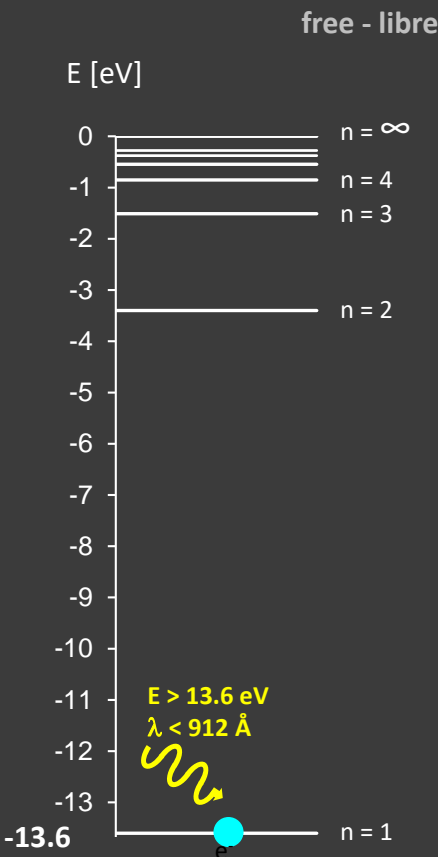
H

Etat fondamental

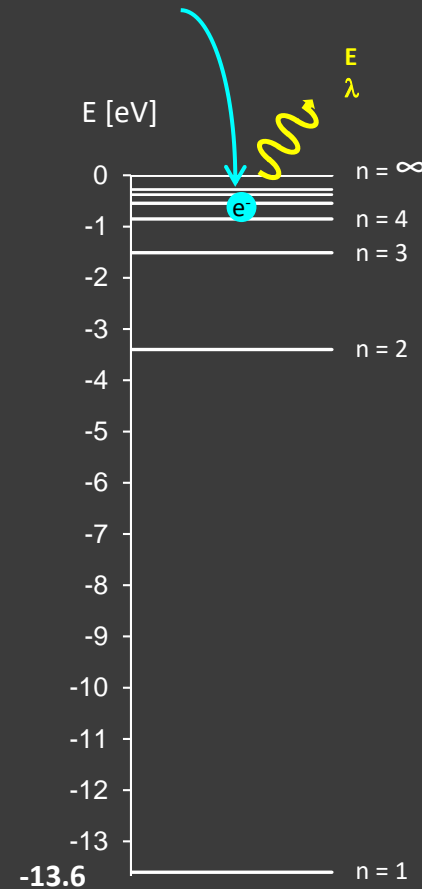
$$E_n = -13.6 \text{ eV} / n^2$$



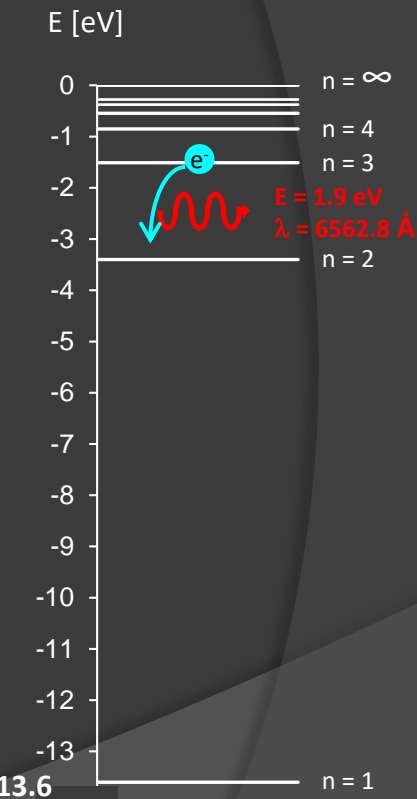
Ionisation $H \rightarrow H^+ + e^-$



Recombinaison $H^+ + e^- \rightarrow H$



Cascade



H^+

H^+

H^+

H^+

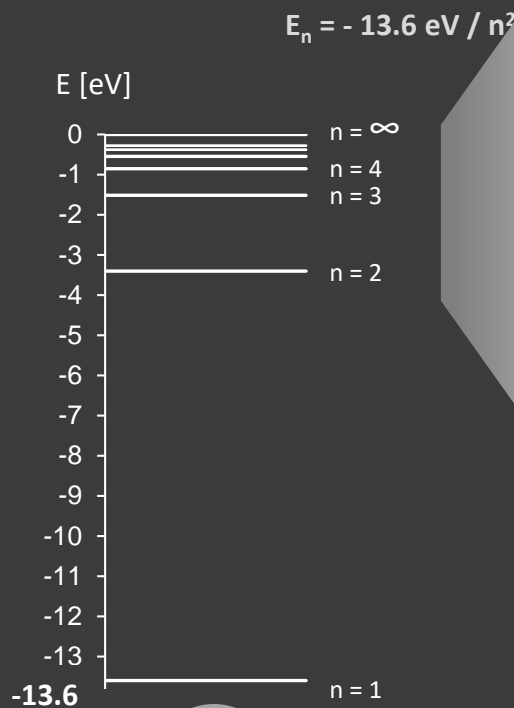
H

Durée très courte de présence sur chaque niveau excité (10^{-8} s)

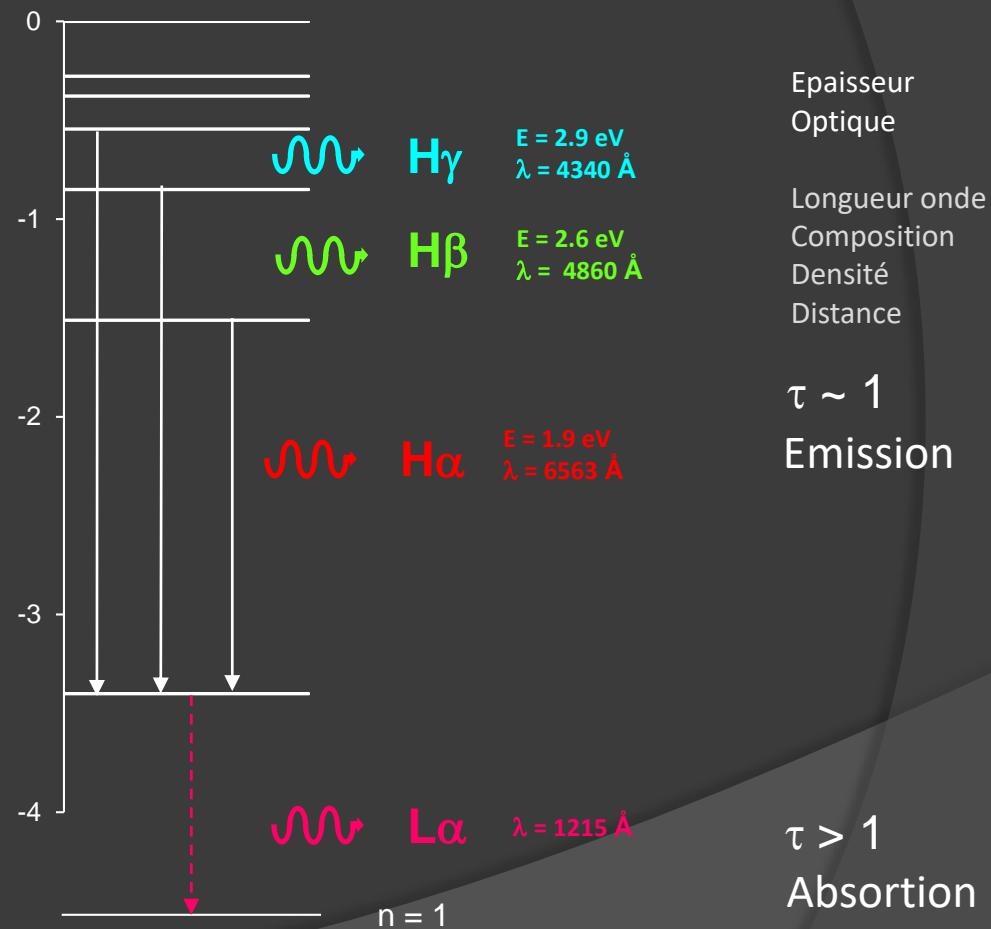
- Cascade de transitions produisant chacune un photon
- Atome dans son état fondamental ($n=1$)

Les photons émis dans le domaine « visible » du spectre sont ceux qui arrivent sur le niveau 2
= Série de Balmer (6563 à 37 Å)

Energie ionisation = 13.6 eV



H^+



Epaisseur Optique

Longueur onde
Composition
Densité
Distance

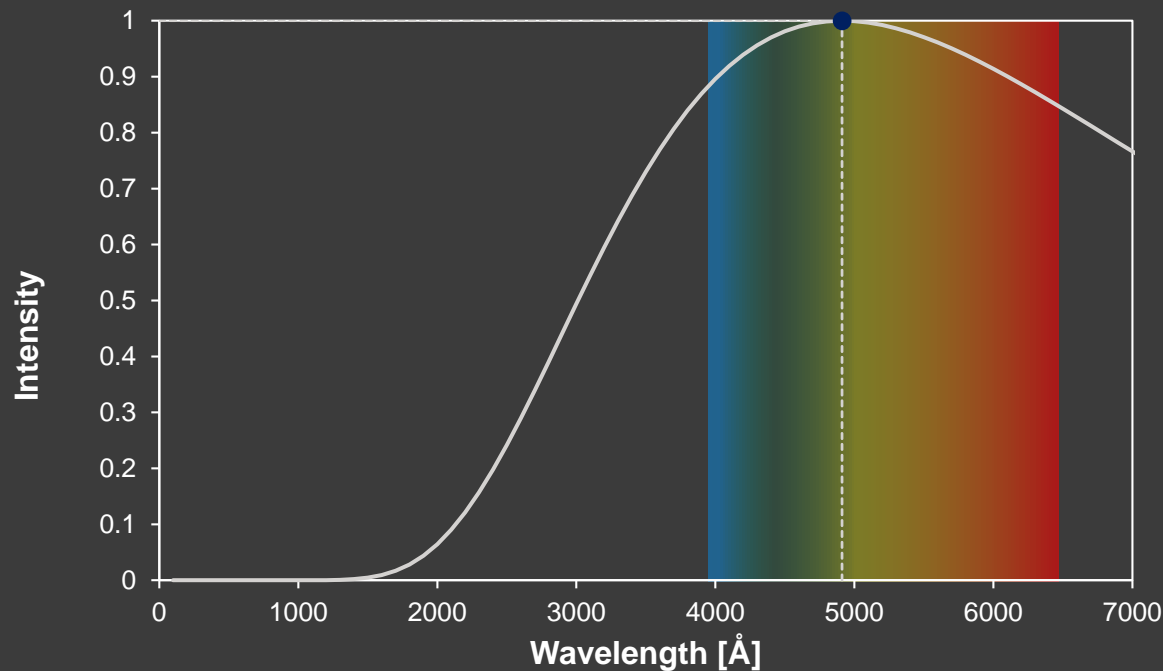
$\tau \sim 1$
Emission

$\tau > 1$
Absorption



Microsoft Excel
ro-Enabled Works|

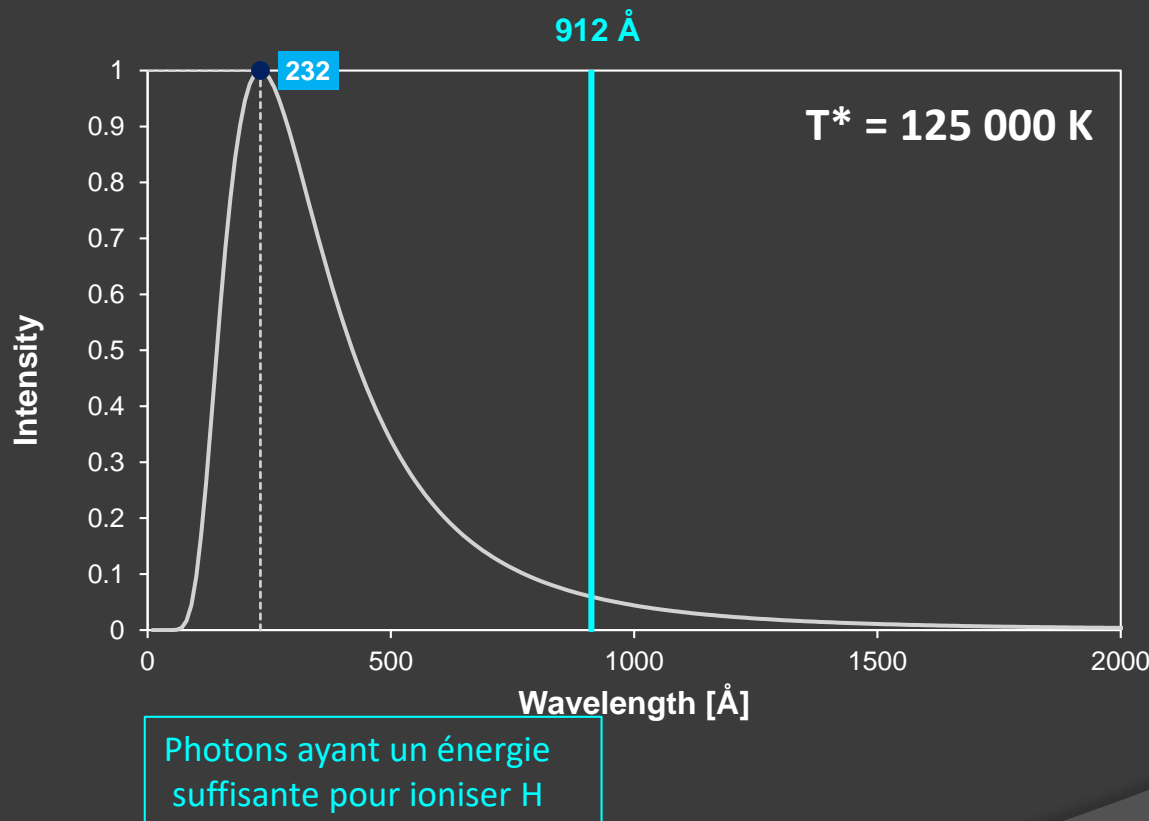
Planck : distribution d'énergie émise par un corps noir





Microsoft Excel
ro-Enabled Works

Planck : distribution d'énergie émise par un corps noir



Photoionisation

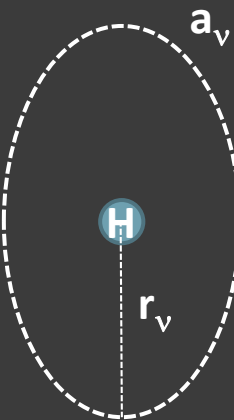
Proportion atomes ionisés par unité de volume

Nombre Atomes/volume * Flux de photons ionisants * Section transversale



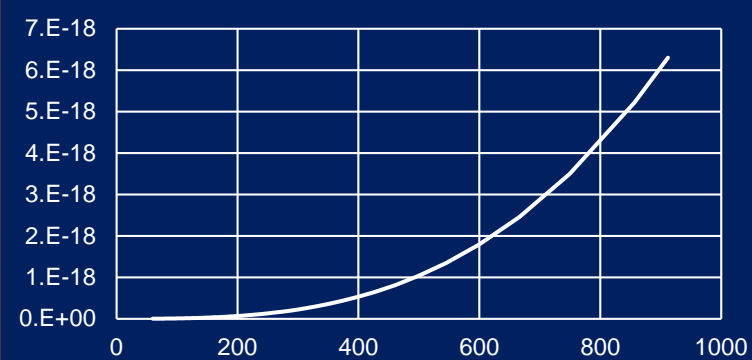
$$\begin{aligned}\lambda &= 912 \text{ \AA} \\ \rightarrow a_v &= 6.2 \cdot 10^{-18} \text{ cm}^2 \\ \rightarrow r_v &= 2.83 \text{ \AA}\end{aligned}$$

$$(r_H = 0.53 \text{ \AA})$$

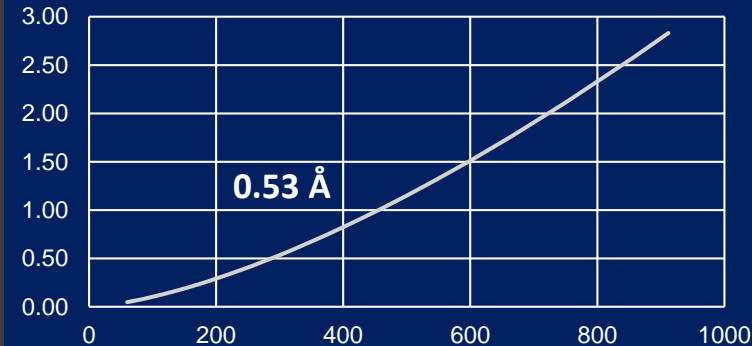


Section transversale $a_\lambda = a_{\lambda_0} \cdot \left(\frac{\lambda}{\lambda_0}\right)^3$
(Cross section)

$$a_v \text{ cm}^2$$



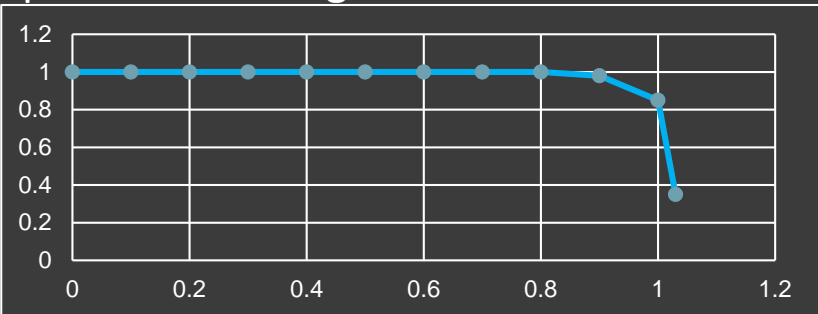
$$r_v \text{ \AA}$$



$$\text{Longueur d'onde } \lambda [\text{\AA}]$$

Méthodes ionisation

Sphère de Strömgren



Radio survey of symbiotic stars

Seaquist, Taylor, Button 1984

$$X = \frac{4\pi aL}{\alpha} \left(\frac{m_H v}{M'} \right)^2$$

a = séparation

L = luminosité des photons ionisants

V = vitesse vent stellaire

M' = Perte de masse de la géante

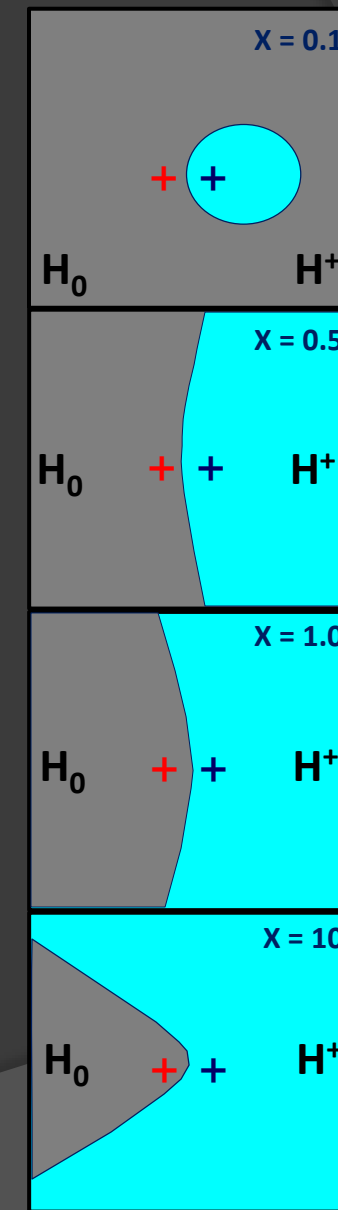
a = 3 AU

L = 10^{46} photons/seconde

V = 10 km.s⁻¹

M' = $10^{-7} M_\odot/\text{an}$

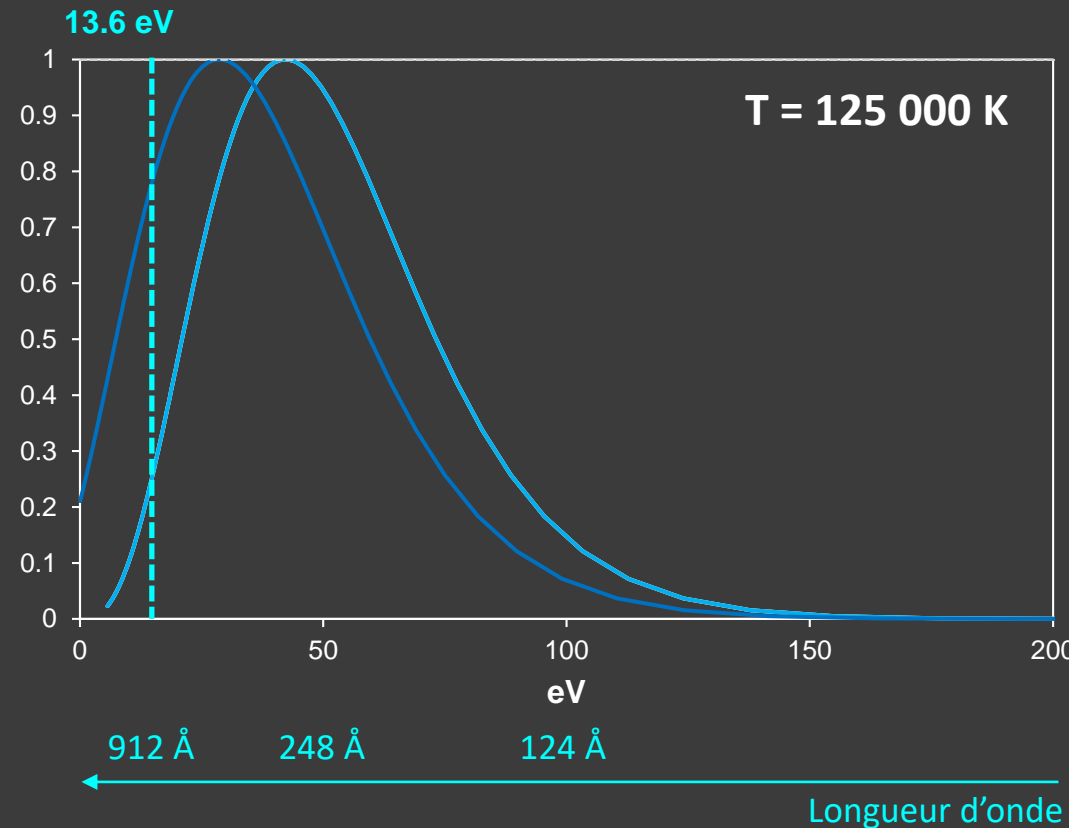
→ X = 1.5



Thermalisation des électrons

Distribution des électrons
après ionisation (exprimé en eV)

Distribution des photons
du rayonnement ionisant (exprimé en eV)



= une proportion importante des électrons libres possèdent une énergie suffisante pour ioniser H

$$E(\max) \sim 30\text{ eV}$$

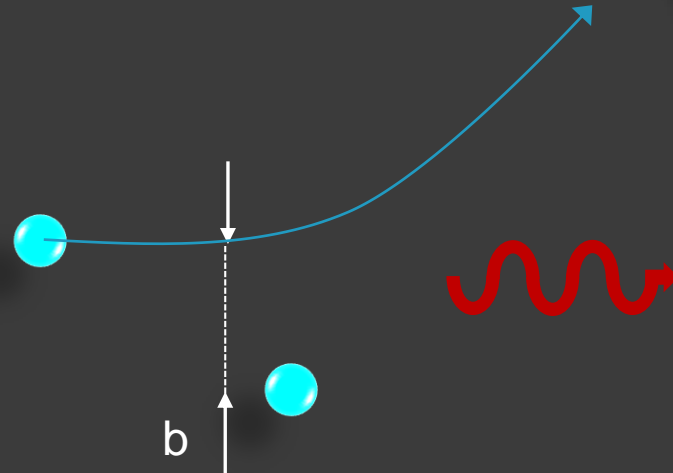
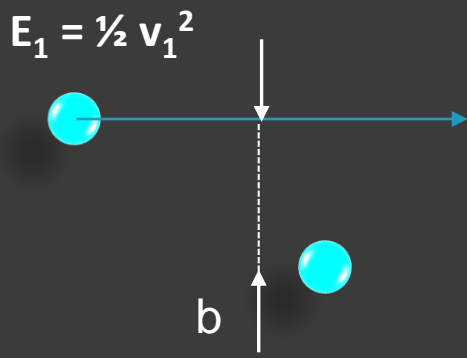
$$V \text{ moyenne} \sim 3000\text{ km.s}^{-1}$$

Thermalisation des électrons

Plasma créé par l'ionisation

Très forte interaction entre les électrons

$$E_2 = \frac{1}{2} v_2^2$$



$$s = \pi b^2$$

$$s = 10^{-13} \text{ cm}^{-2}$$

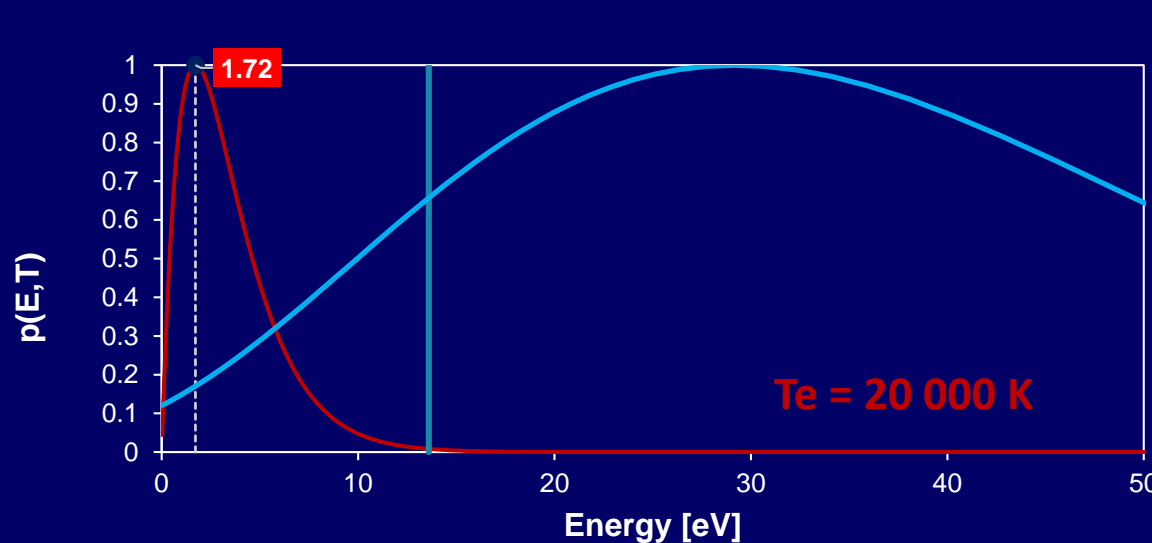
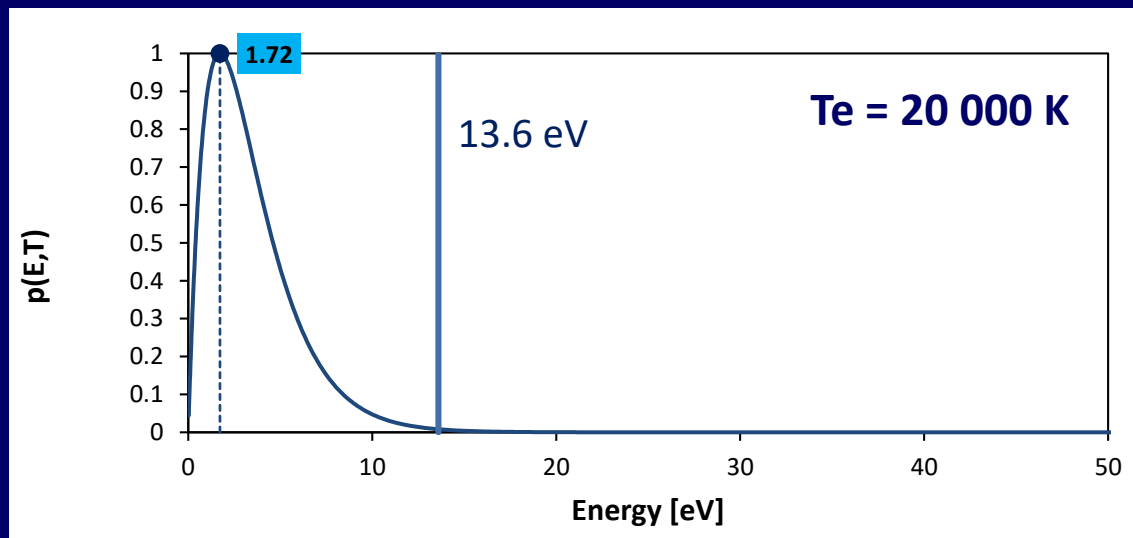
Section efficace $\sim 10\ 000 \times$ section efficace de l'ionisation

Thermalisation très rapide

Thermalisation des électrons

Distribution de l'énergie des électrons après thermalisation

Distribution maxwellienne

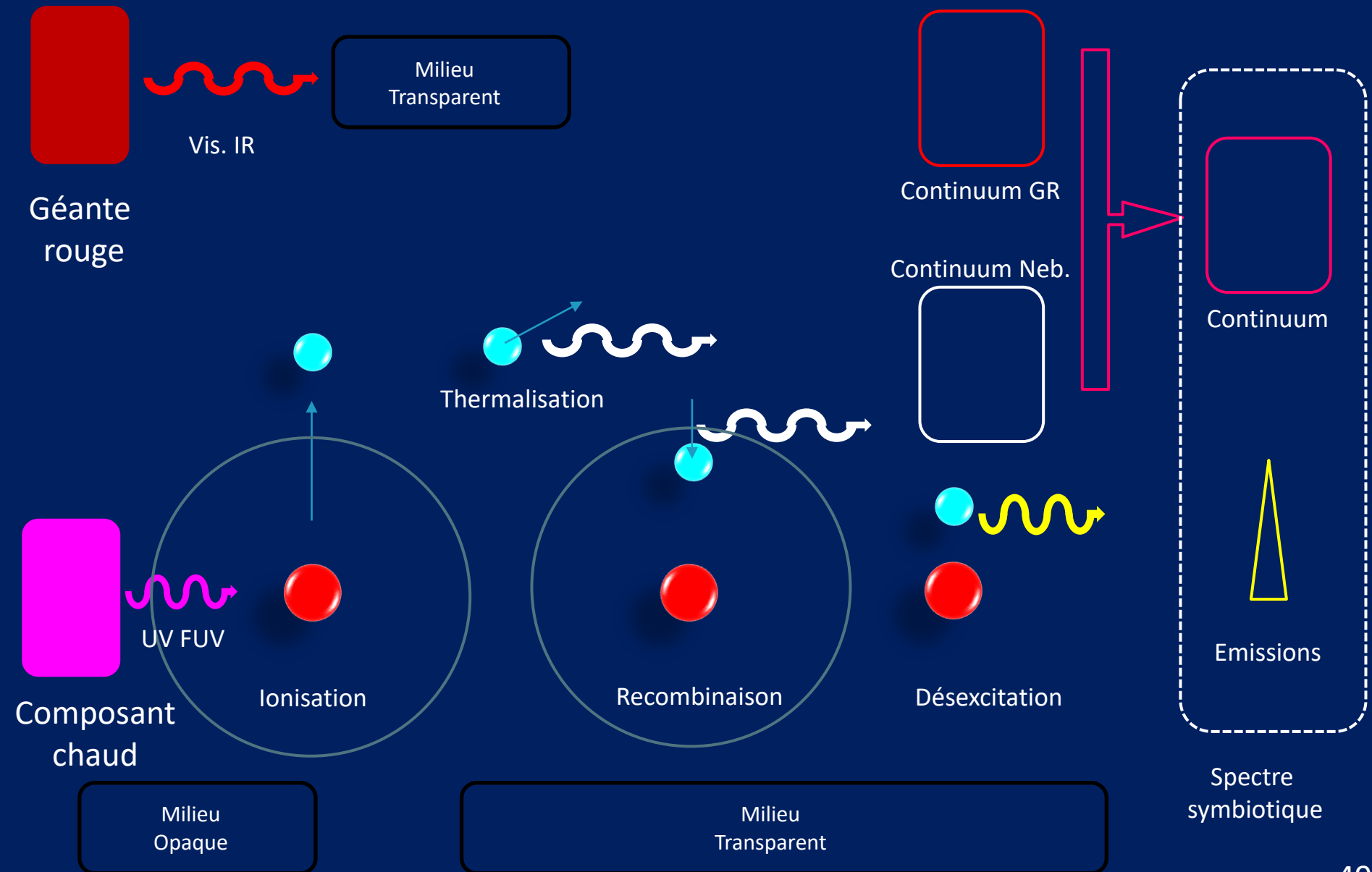


Après ionisation

Après thermalisation

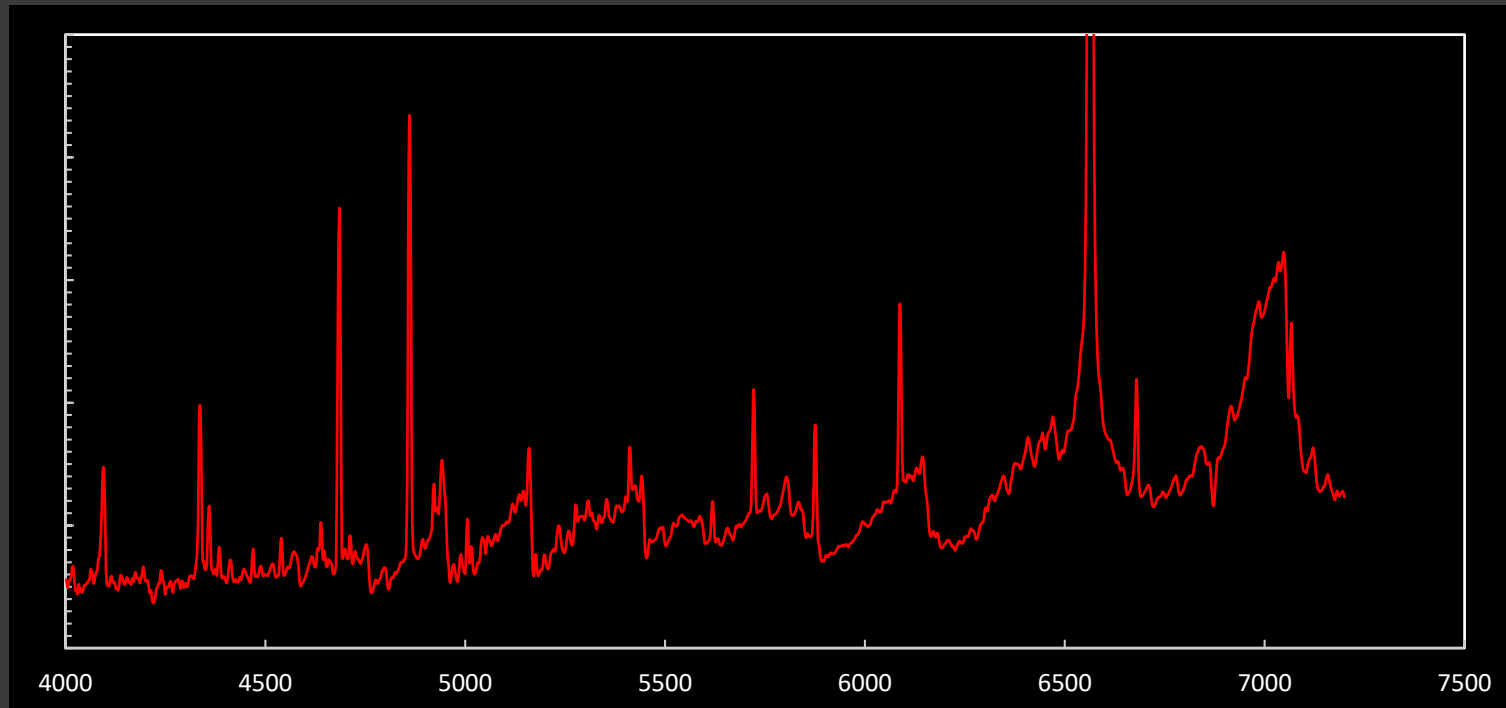
- ① Énergie insuffisante pour ioniser H
- ② Distribution d'énergie restituée au rayonnement lors de la recombinaison

Formation du spectre symbiotique



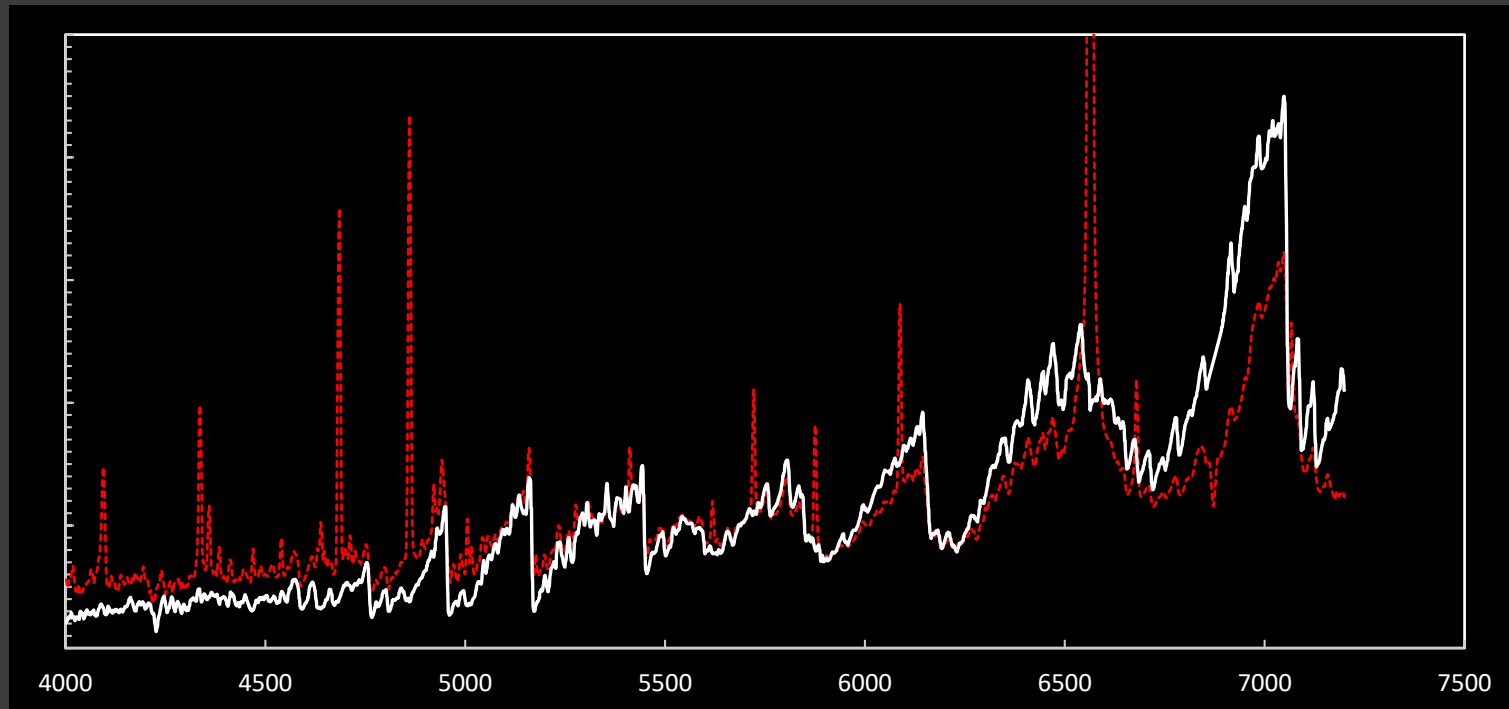
Formation du continuum

CI Cygni 08-11-2015



Formation du continuum

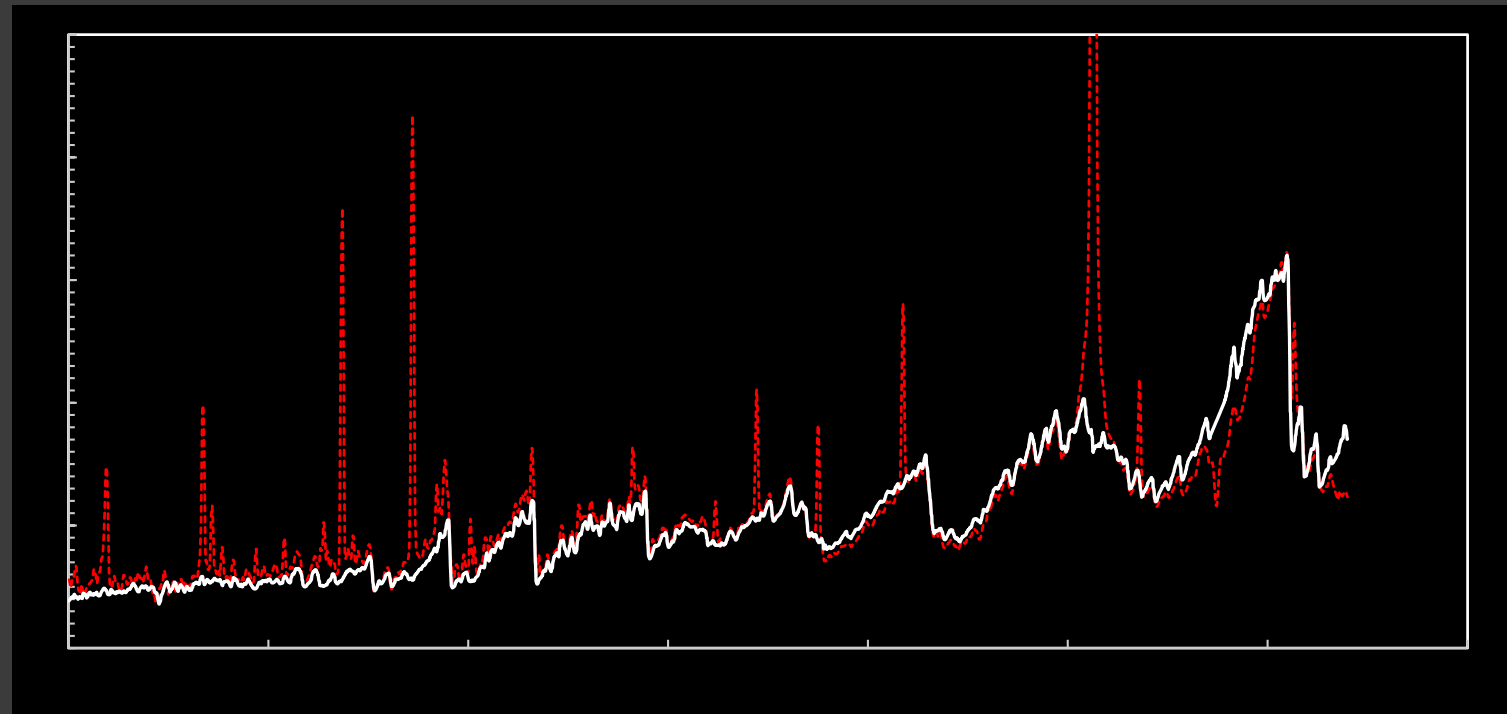
CI Cygni 08-11-2015



Comparaison avec spectre M5III (Fluckes)

Ionisation: contribution au continuum

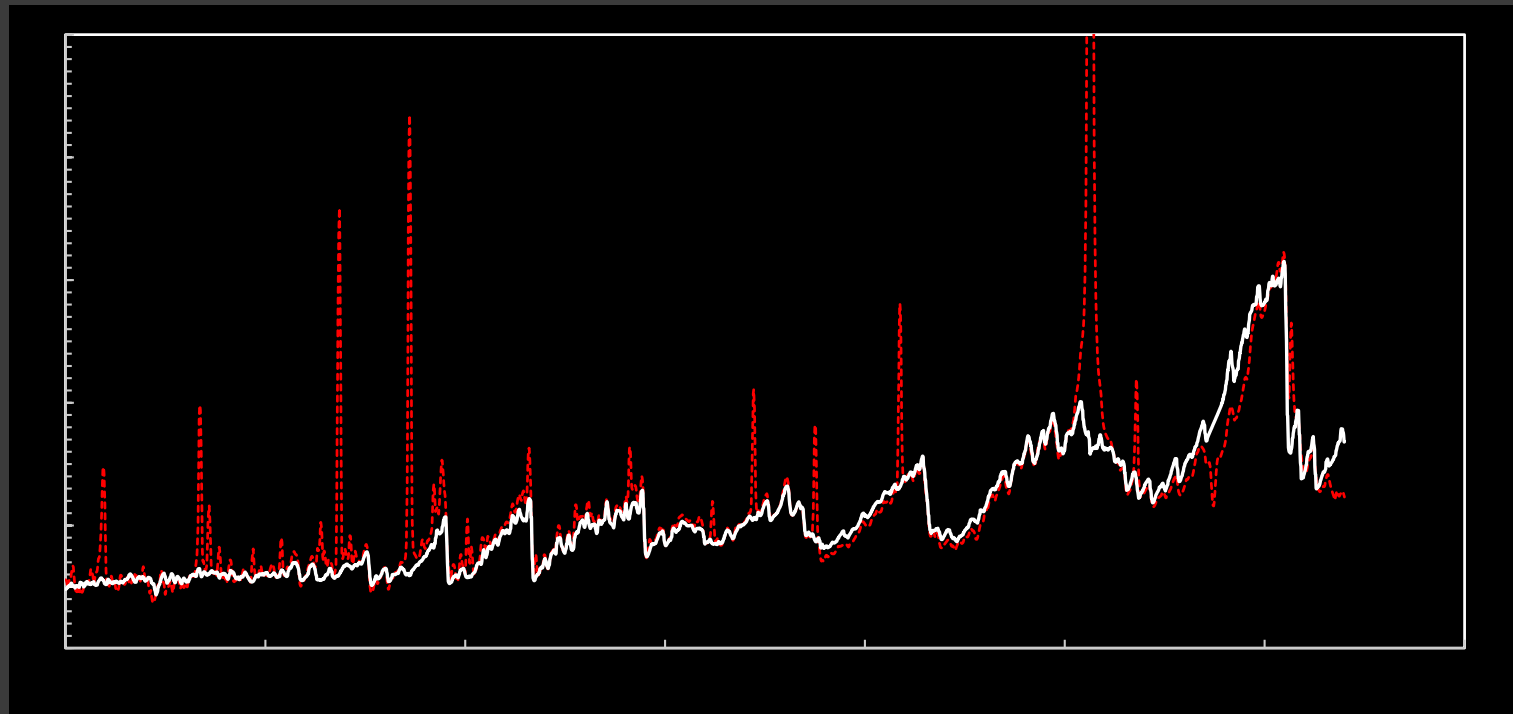
CI Cygni 08-11-2015



Spectre M5III (Fluckes) + Recombinaison H (15 000 K)

Ionisation: contribution au continuum

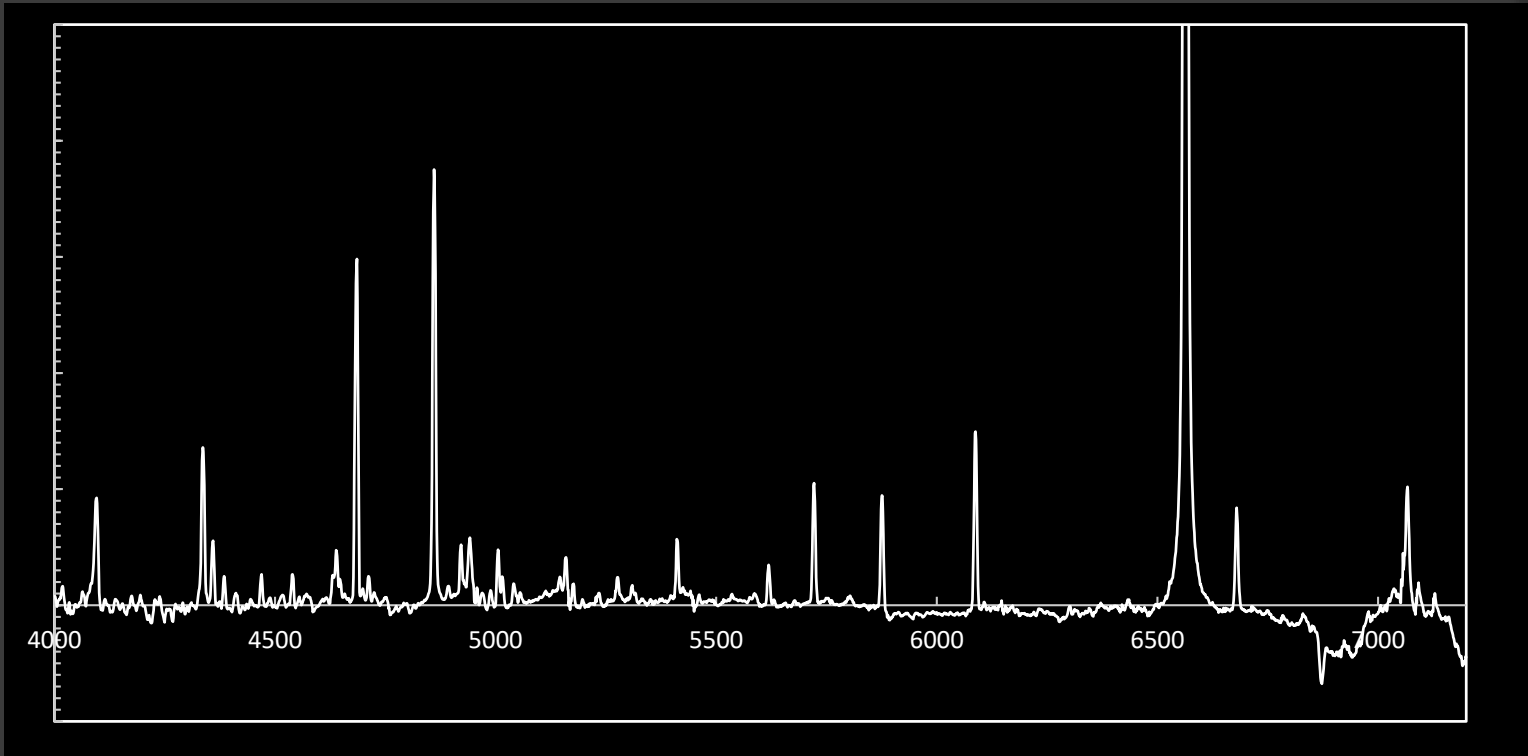
CI Cygni 08-11-2015



Spectre M5III (Fluckes) + Recombinaison H (15 000 K) + Hot Star (125 000 K)

Ionisation: contribution au continuum

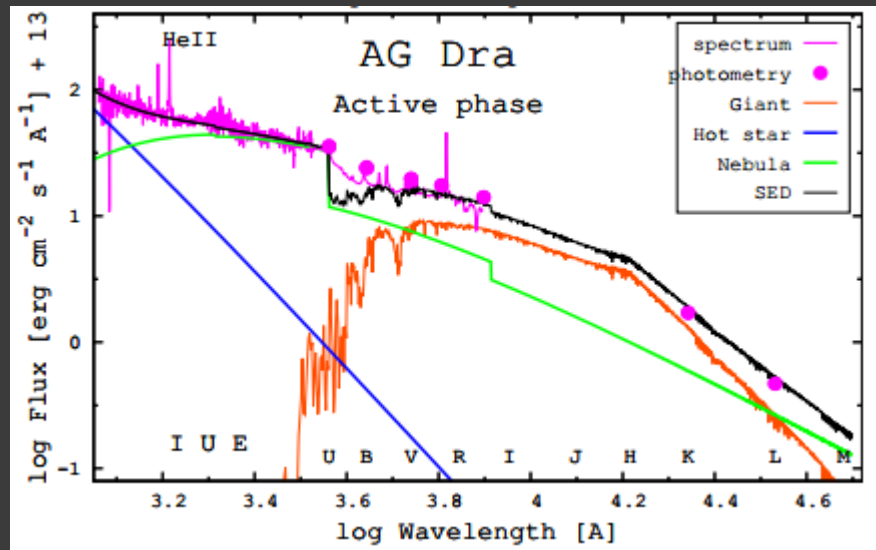
CI Cygni 08-11-2015



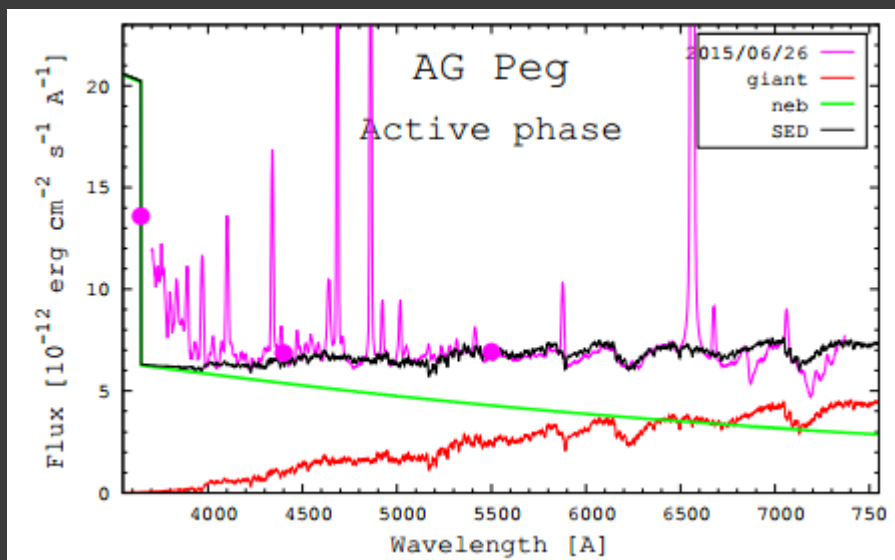
Soustraction du spectre composite (M5III+Continuum 15000 K + Hot Star 125000K)
→ Mesure des raies (intensités)

Reconstitution du spectre composite

A. Skopal
in ARAS Eruptive Stars
Information Letter n°23
01-2016

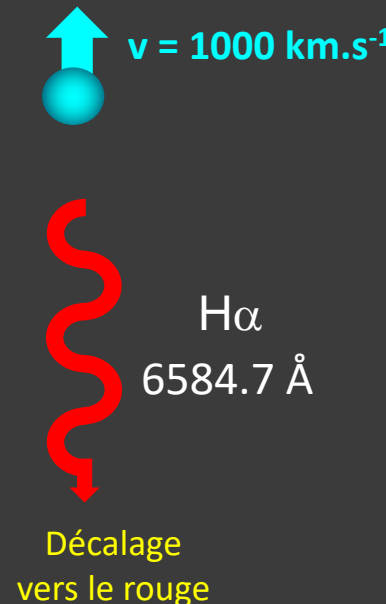
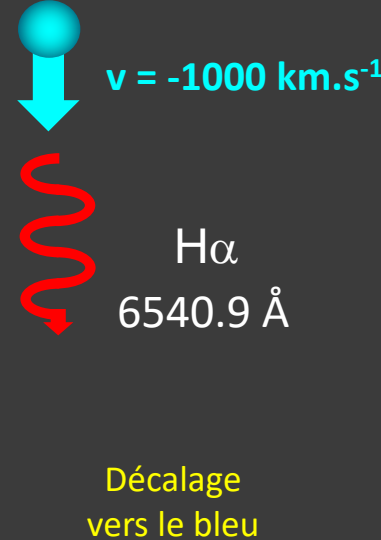
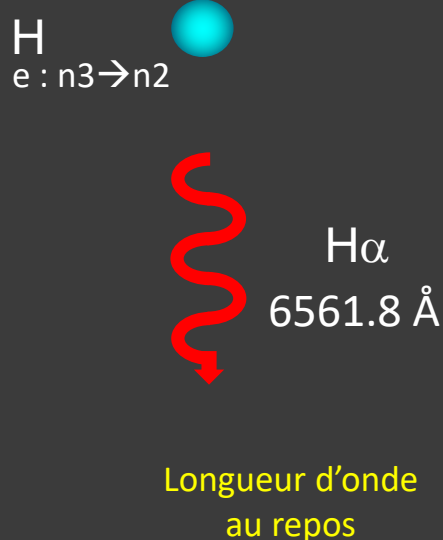


Spectre
Géante
Nébuleuse
Composant Chaud
Continuum composite



Spectre U. Sollecchia

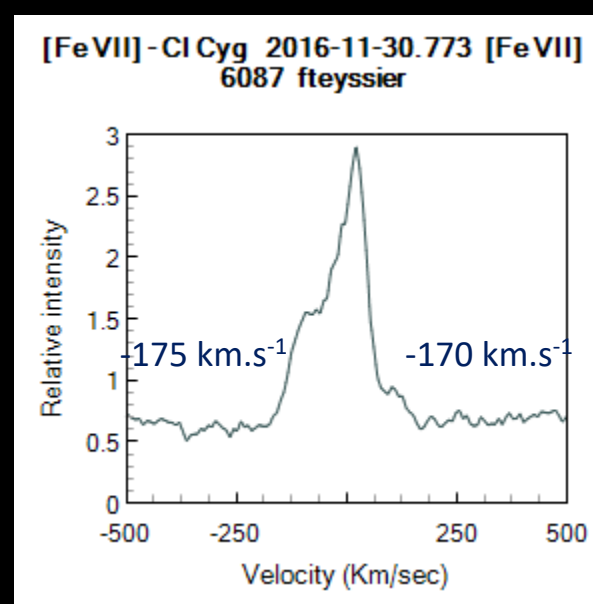
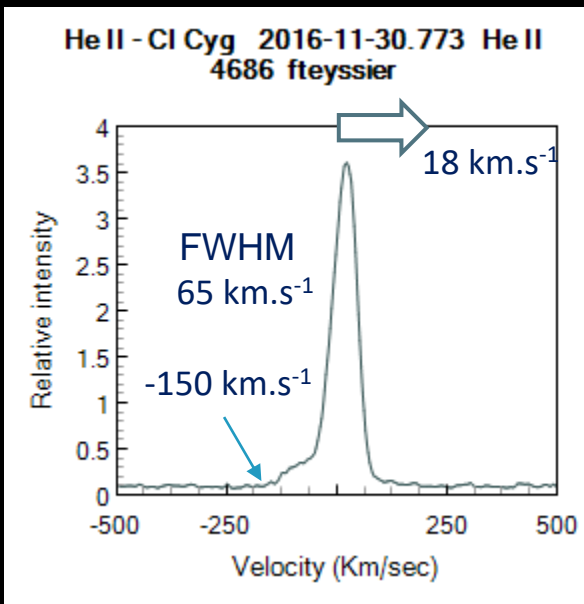
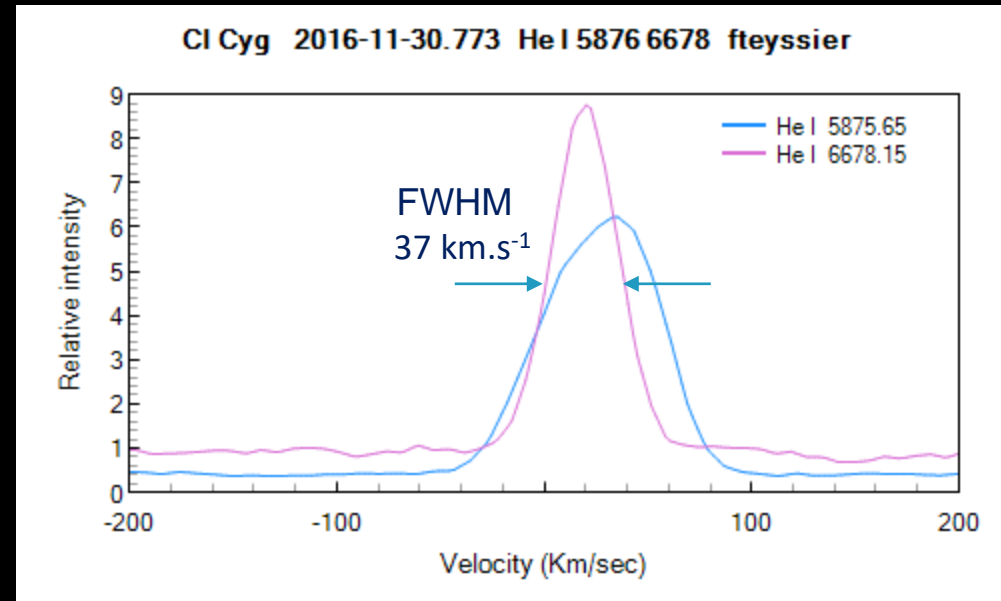
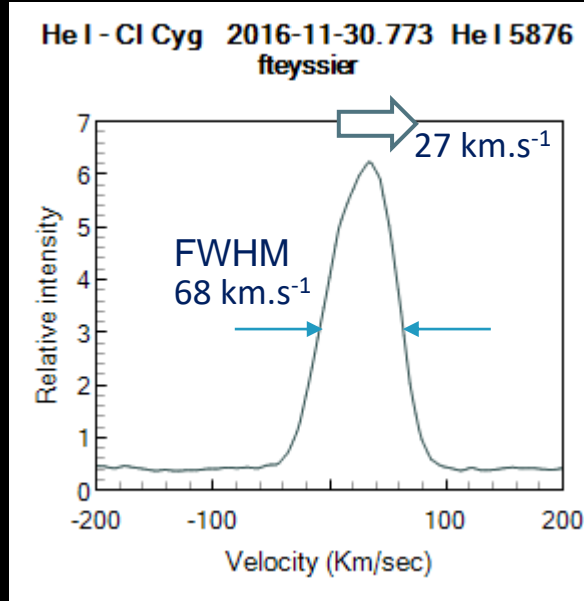
Effet doppler



La vitesse d'une électron émettant un photon
Modifie la longueur d'onde du photon

$v (\text{km.s}^{-1})$	$\lambda (\text{\AA})$
-2000	6519.1
-1000	6540.9
-500	6551.9
-200	6558.4
-100	6560.6
100	6565.0
200	6567.2
500	6573.8
1000	6584.7
2000	6606.6

Profil des raies

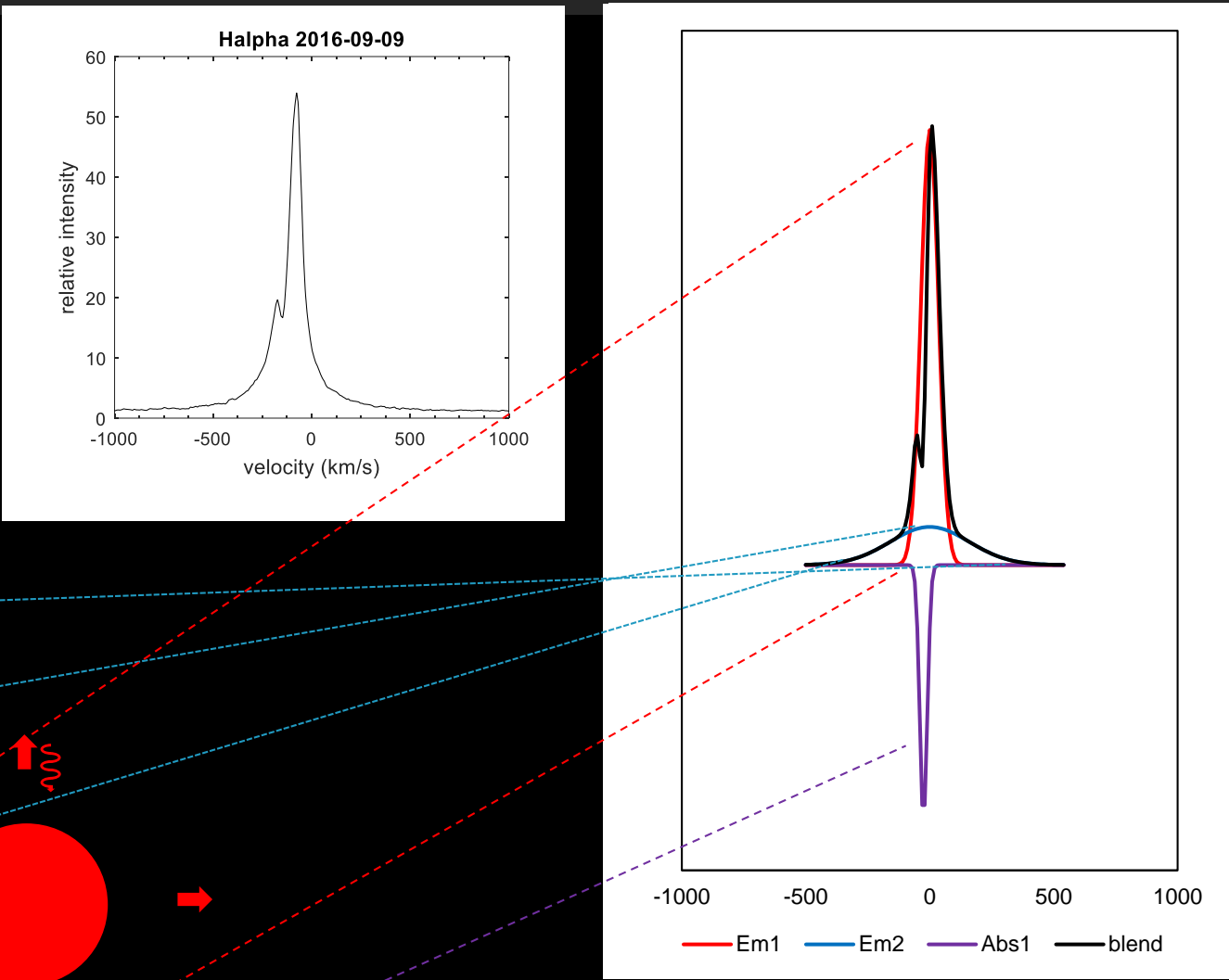
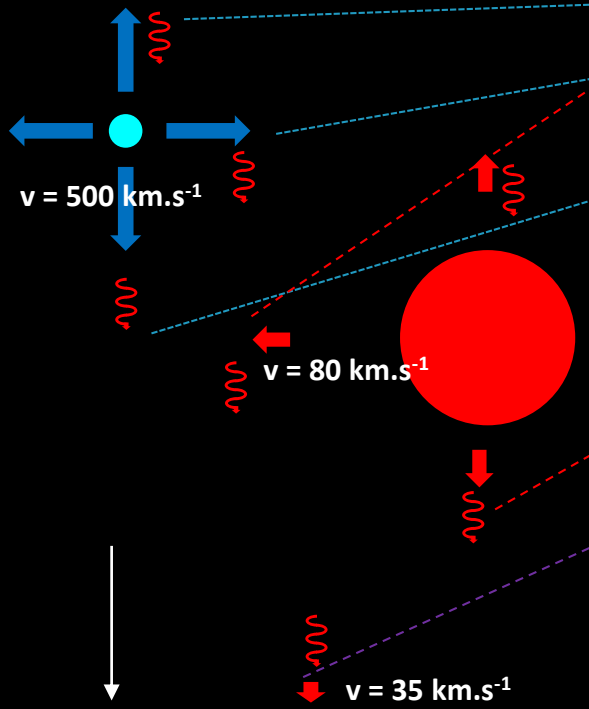


Conversion
Longueur d'onde
→ Vitesse radiale
Par rapport à la longueur d'onde
au repos

$$V_r = \Delta\lambda/\lambda * c$$

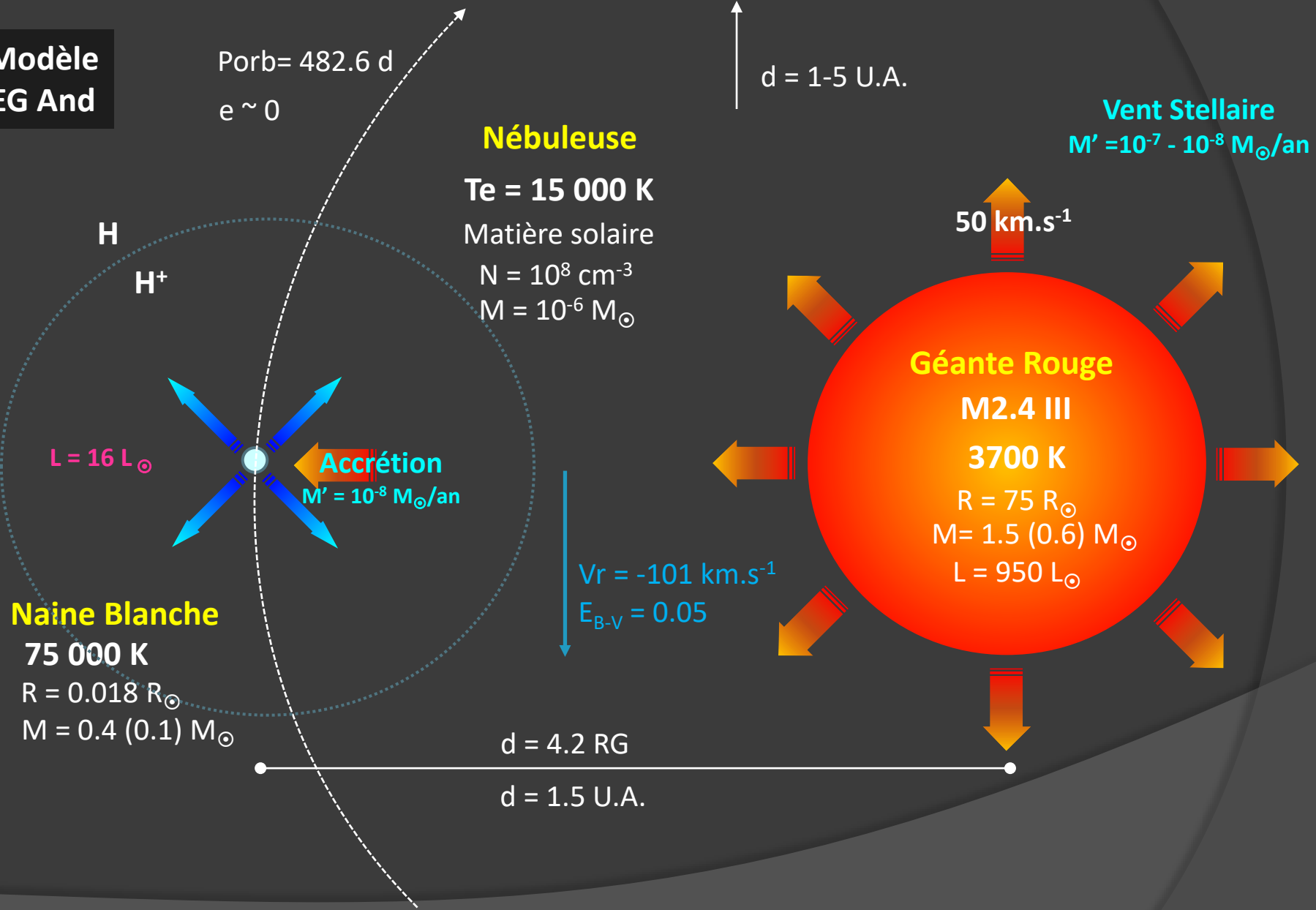
Profil des raies

CI Cyg
Raie H α



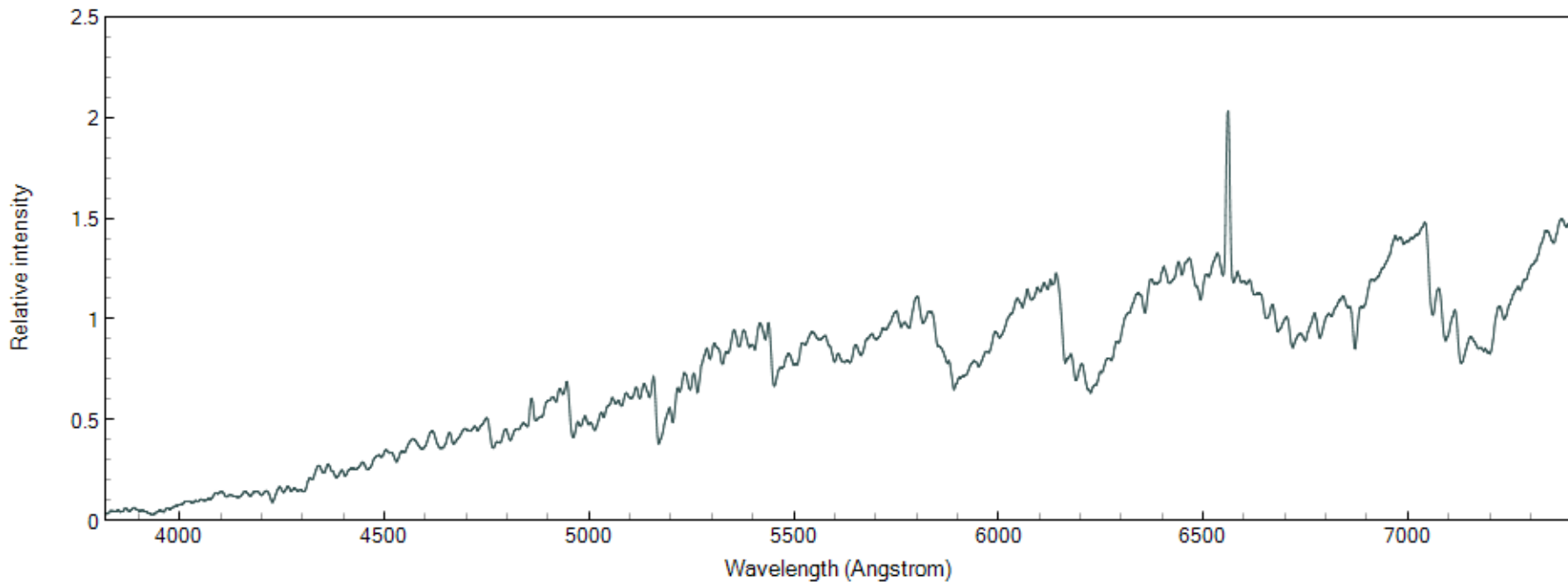
- | | |
|---|---|
| 1 | Spectroscopie et Classification spectrale |
| 2 | La découverte des Etoiles Symbiotiques |
| 3 | Modèle d'une Etoile Symbiotique |
| 4 | Formation du spectre |
| 5 | Les Symbiotiques à l'état calme |
| 6 | Le Zoo des Symbiotiques |
| 7 | Les Symbiotiques en Outburst |
| 8 | Contribution des amateurs |

Modèle EG And

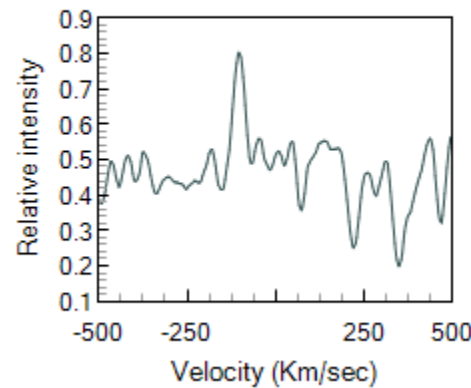


EG And

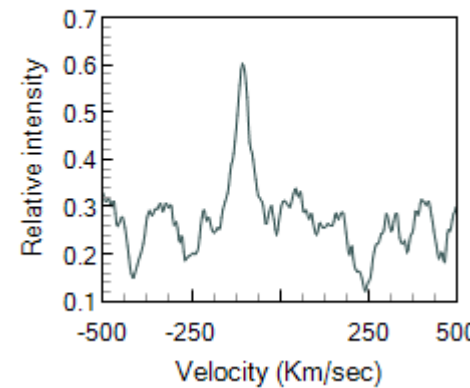
EG And 2016-10-22.958 Jacques Montier



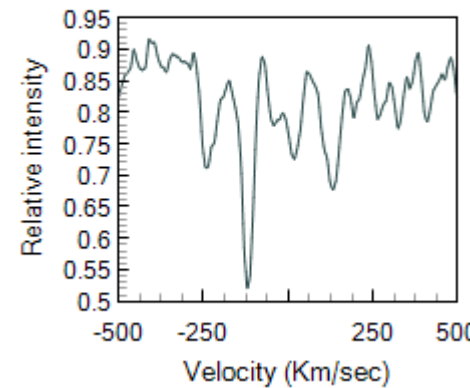
[O III] - EG And 2016-10-30.813
fleymssier



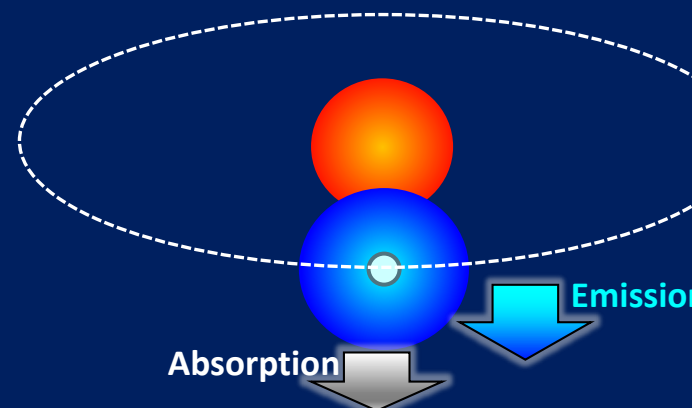
[O III] - EG And 2016-10-30.813
fleymssier



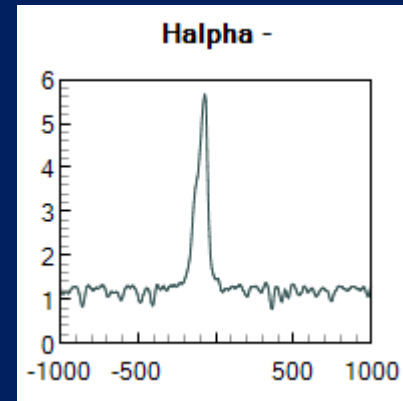
He I - EG And 2016-10-30.813
fleymssier



Série temporelle H α

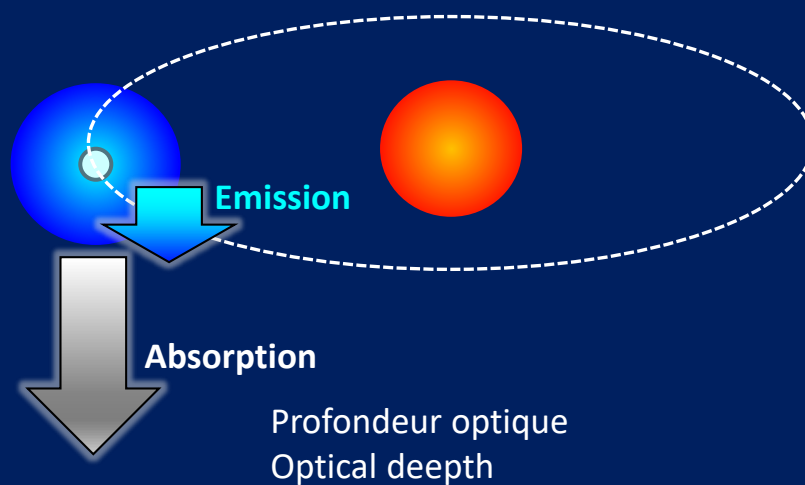
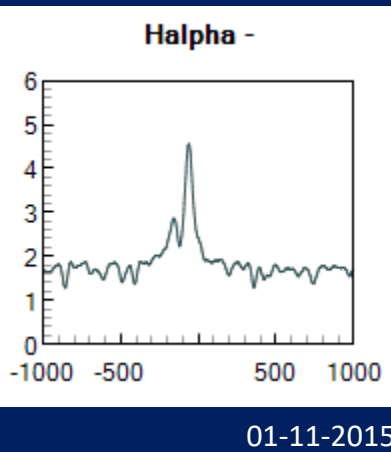


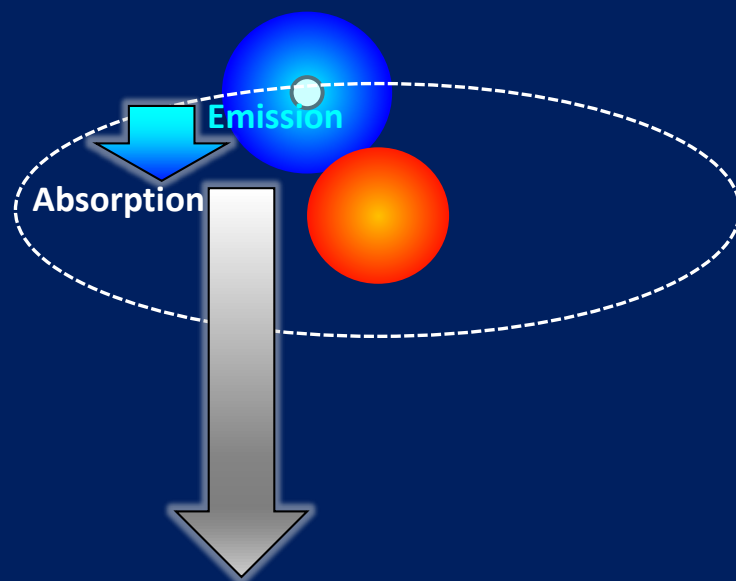
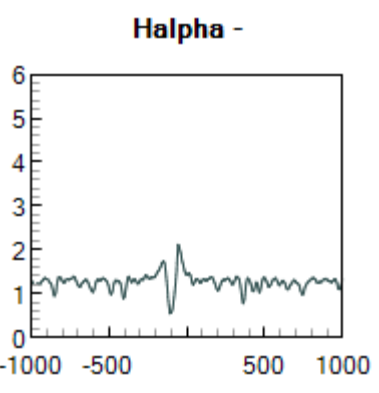
Phase = 0.99



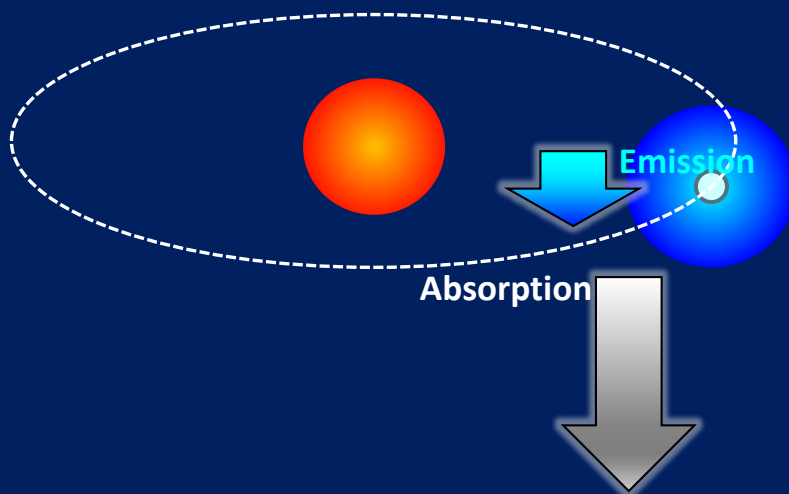
Série temporelle $\text{H}\alpha$

Phase = 0.24

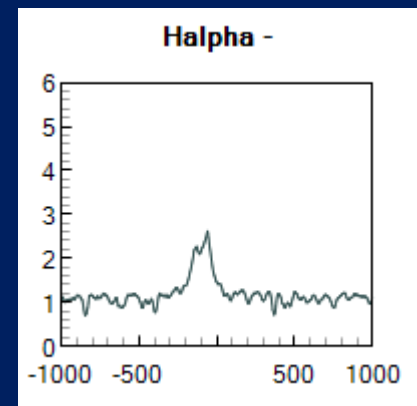


Série temporelle
H α 

Série temporelle H α



Phase = 0.78

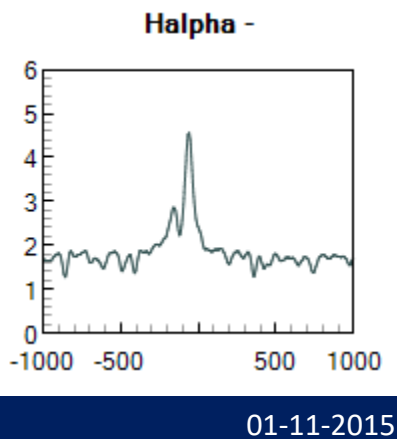


22-07-2016

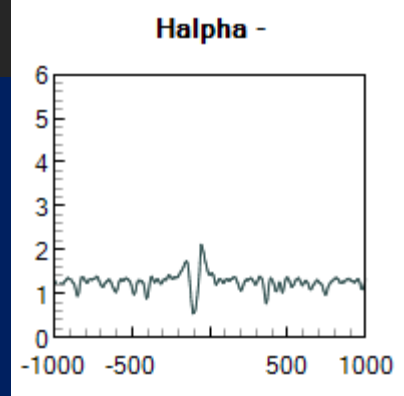
EG And

Série temporelle H α

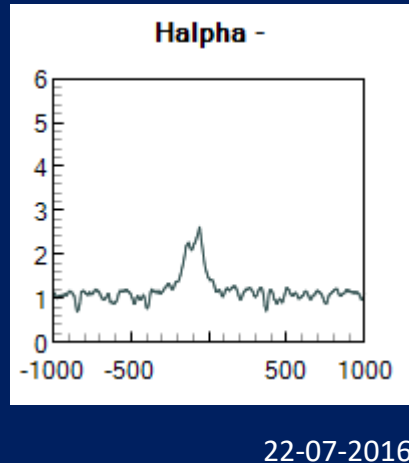
Phase = 0.24



Phase = 0.45

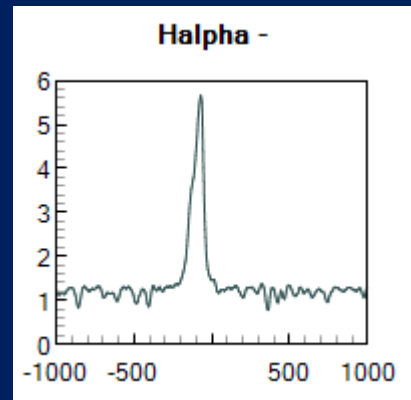


Phase = 0.78

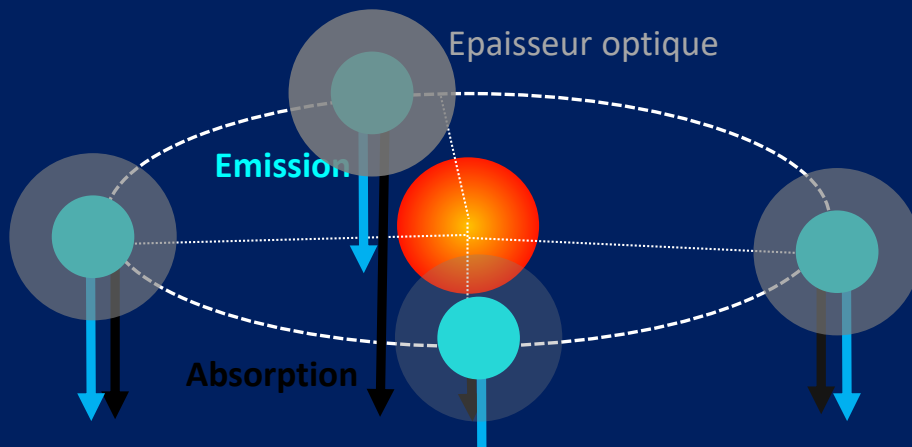


30-10-2016

Phase = 0.99



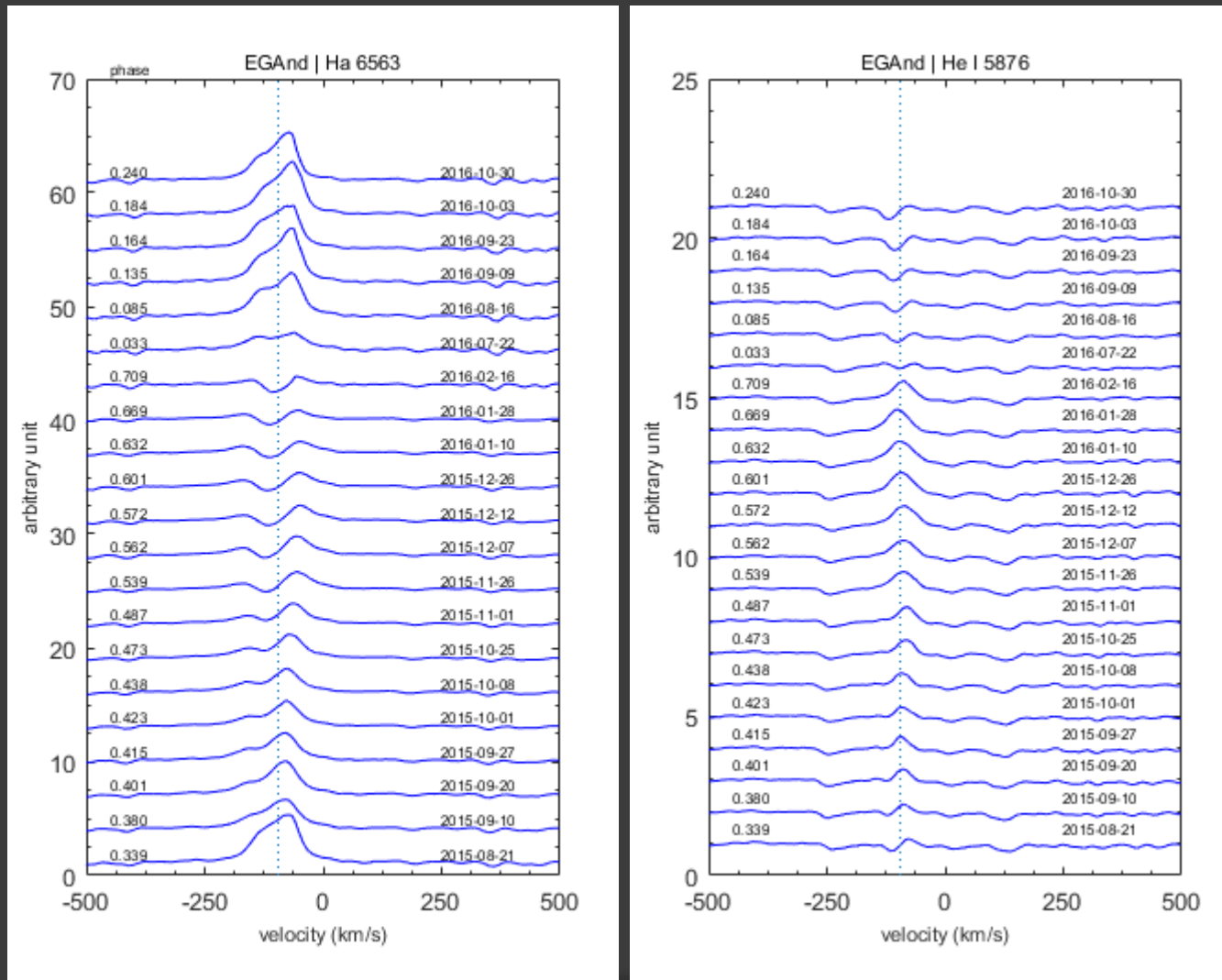
Note Profile $\phi(0.78) \neq \phi(0.24)$



Série temporelle

H α He I

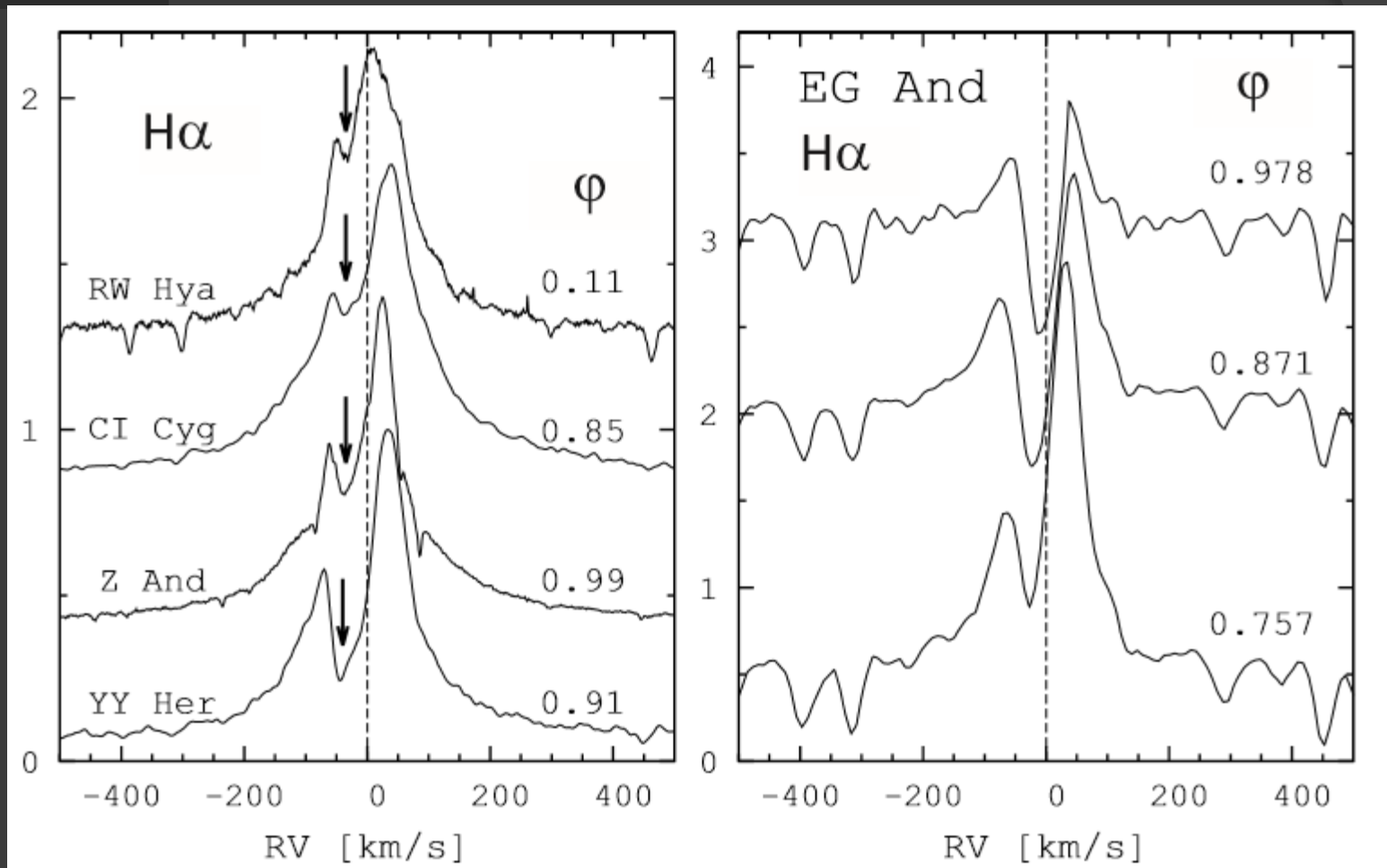
21-08-2015 au 30-10-2016



Note Anticorrelation

Série temporelle

H α



H-alpha line profiles
Ivison et al. (1994, A&AS, 103, 201).

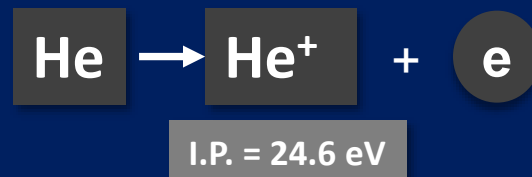
Spectres F. Teyssier
Analyse : A. Skopal

Helium

He

Etat fondamental
Spins opposés

1^{ère} ionisation



2^{ème} ionisation

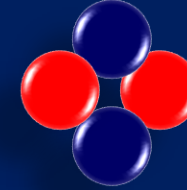
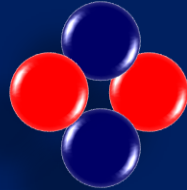
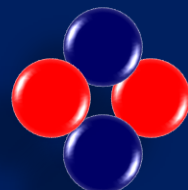


n = 1

He

He⁺

He⁺⁺



He I

He II

$$\lambda = 12403 / \text{IP}$$

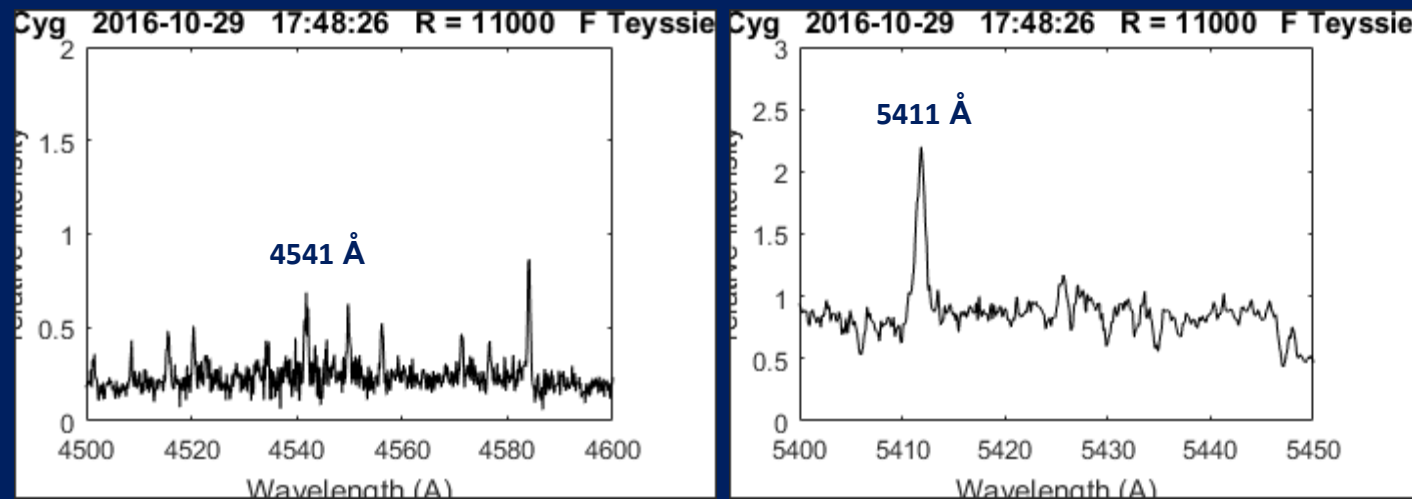
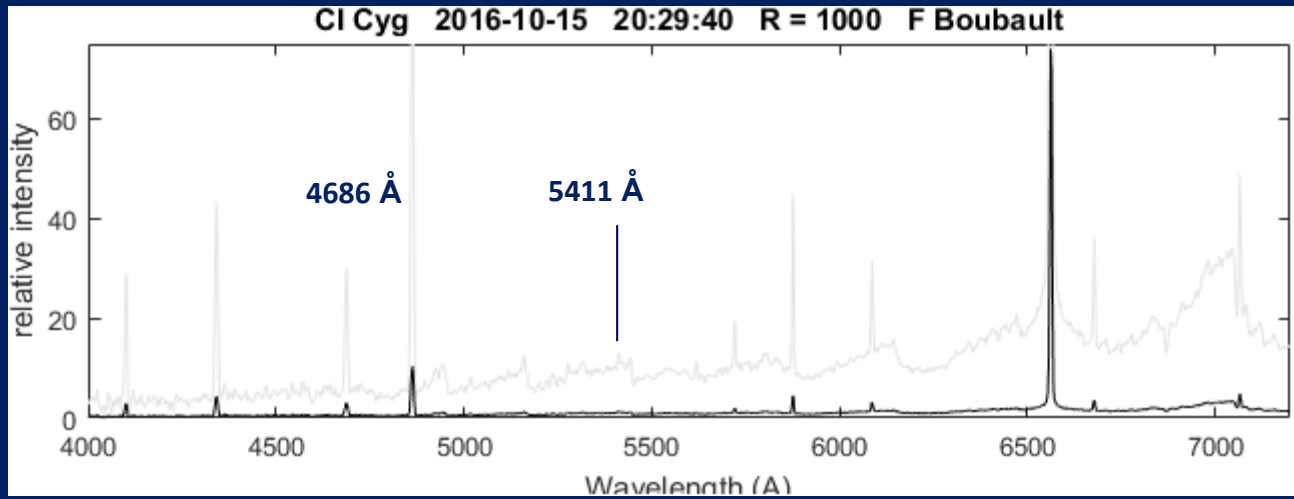
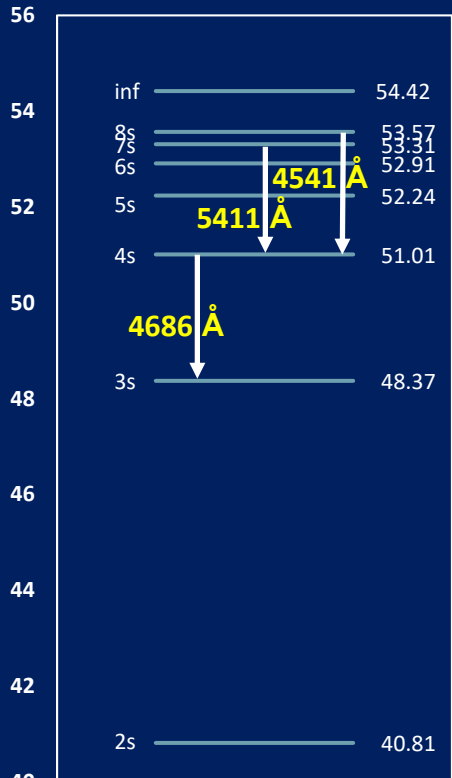
$$\lambda = 500 \text{ \AA}$$

$$\lambda = 225 \text{ \AA}$$

Helium He II

He

Recombinaison



Evaluation de la température Du composant chaud T*

$$T_4 = 19.38 K^{1/2} + 5.13$$

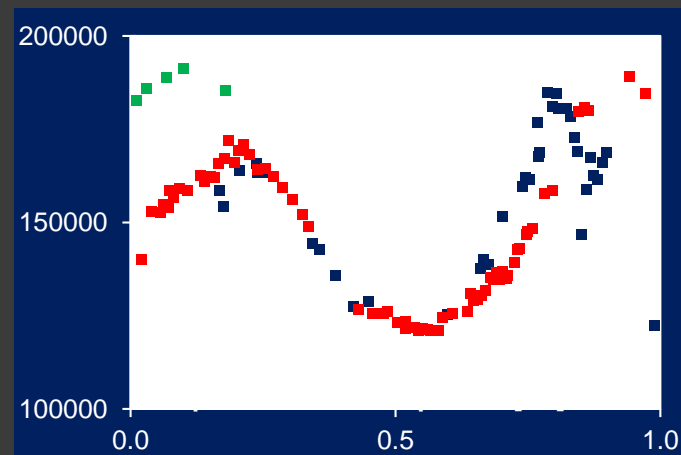
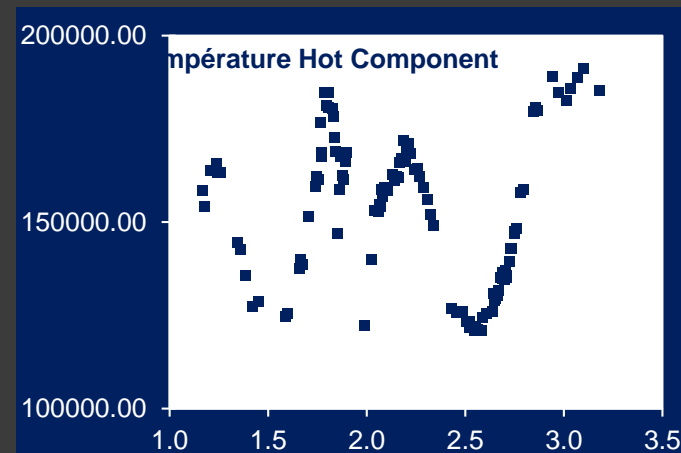
$$K = 2.22 F(He II 4686) / [4.16 F(Hb) + 9.94 F(He I 4471)]$$

$$T_4 = T / 10\,000$$

$$K \sim 0.53 F(He II 4686) / F(Hb)$$

Spectres R = 1000
F. Teyssier
D. Boyd
J. Guarro

CI Cygni 2011-03-19 _ 2015-11-30



Phase orbitale
P = 853.8 jours
[Fekel & al., 2000]

Helium

He I

Recombinaison

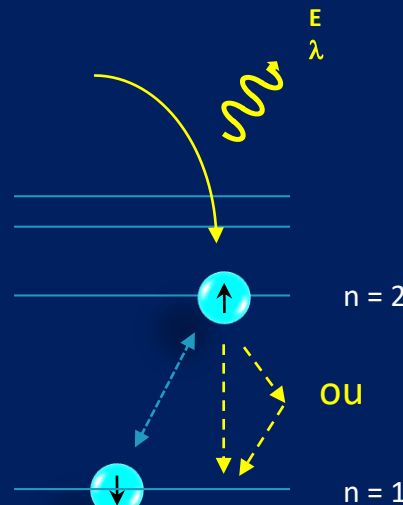
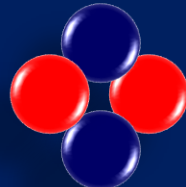


n = 2

He

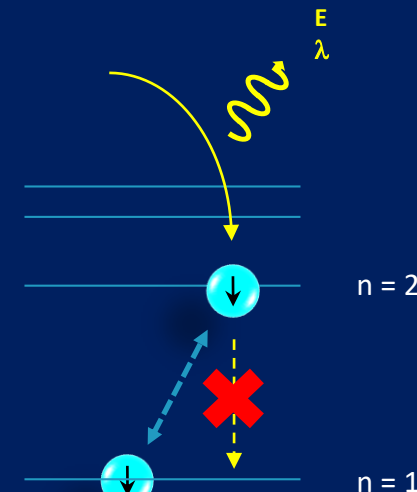


n = 1



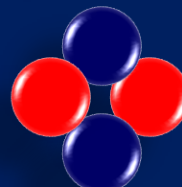
n = 2

n = 1

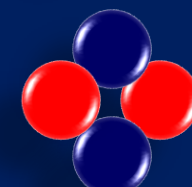


n = 2

n = 1



Singulet
(singlet)



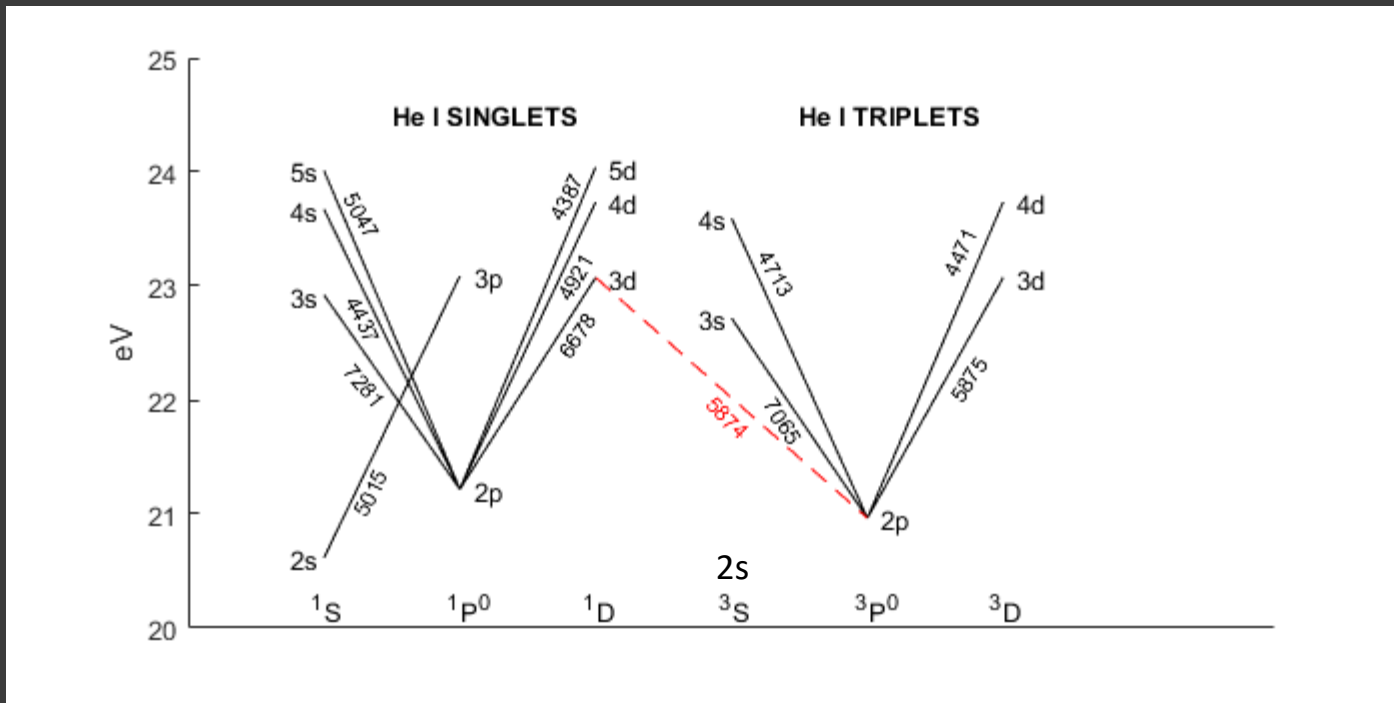
Triplet
(singlet)

Diagramme de Grotrian Hel singlets et triplets

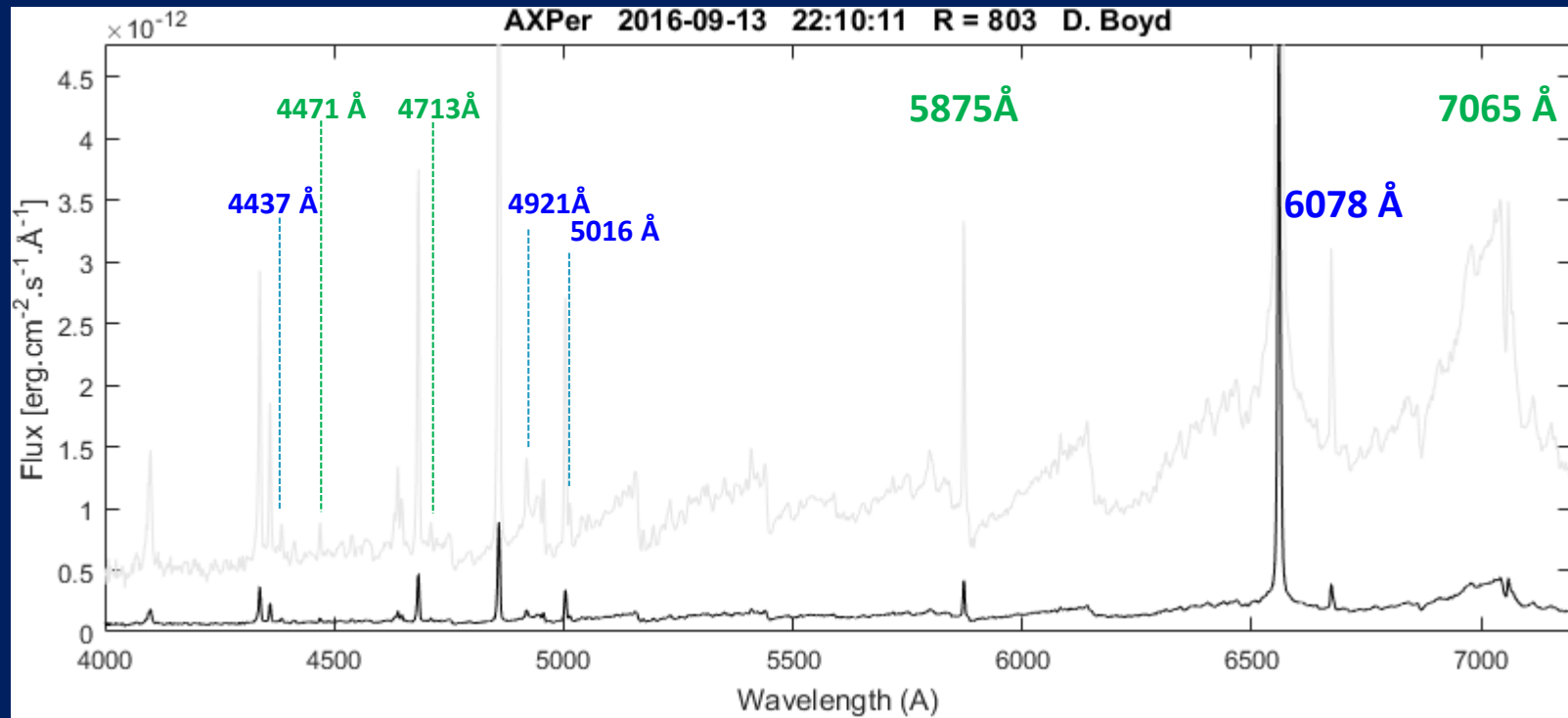
Principales raies He I dans le domaine visible

1/4

3/4



Hélium He I



Singlets



Transition	λ (Å)
$4s \rightarrow 2p$	4437
$4d \rightarrow 2p$	4921
$3p \rightarrow 2s$	5015
$3d \rightarrow 2p$	6678

Triplets



Transition	λ (Å)
$4d \rightarrow 2p$	4471
$4s \rightarrow 2p$	4713
$3d \rightarrow 2p$	5875
$3s \rightarrow 2p$	7065

Hélium He I

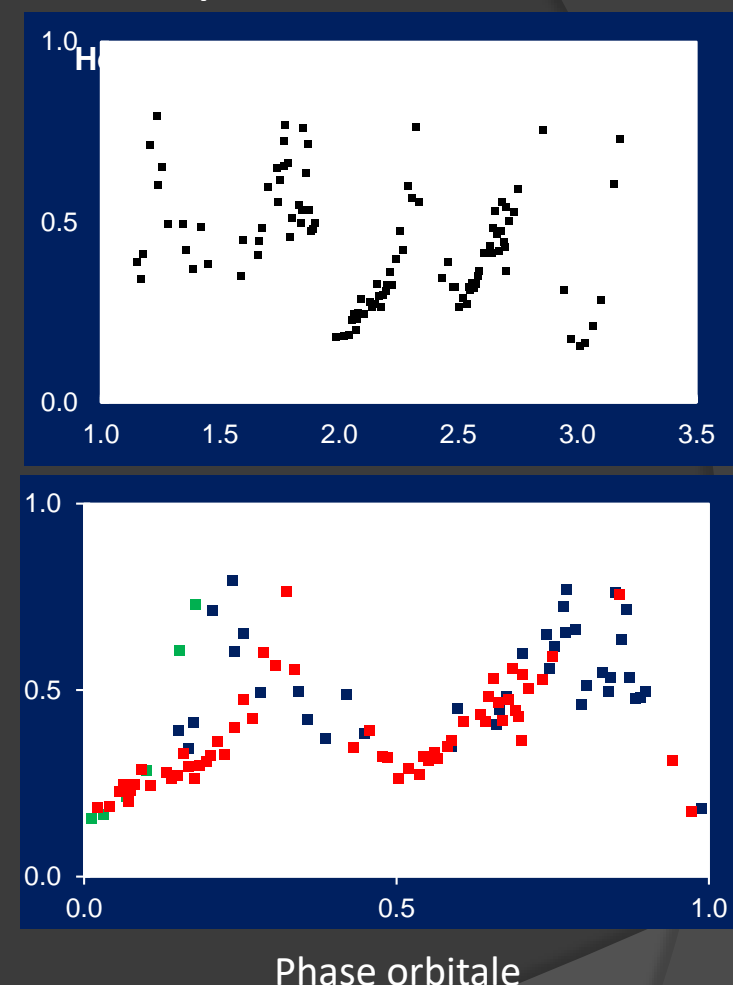
	$I(6678)$ $\frac{I(6678)}{I(5876)}$	$I(7065)$ $\frac{I(7065)}{I(5876)}$
Z And	0.57-1.00	0.89-1.07
BF Cyg	0.56-0.95	0.75-1.23
CI Cyg	0.54-0.88	1.00-1.43
AG Dra	0.65-1.14	0.78-0.79
V443 Her	0.86-1.15	0.93-1.20
AG Peg	0.89-1.09	0.73-1.09
AX Per	0.98-1.12	0.80-0.93

Proga & al., 1994

Symbiotiques classiques : $r > 0.5$
Mesure de la densité électronique

CI Cygni

He I 5876 / He I 6678

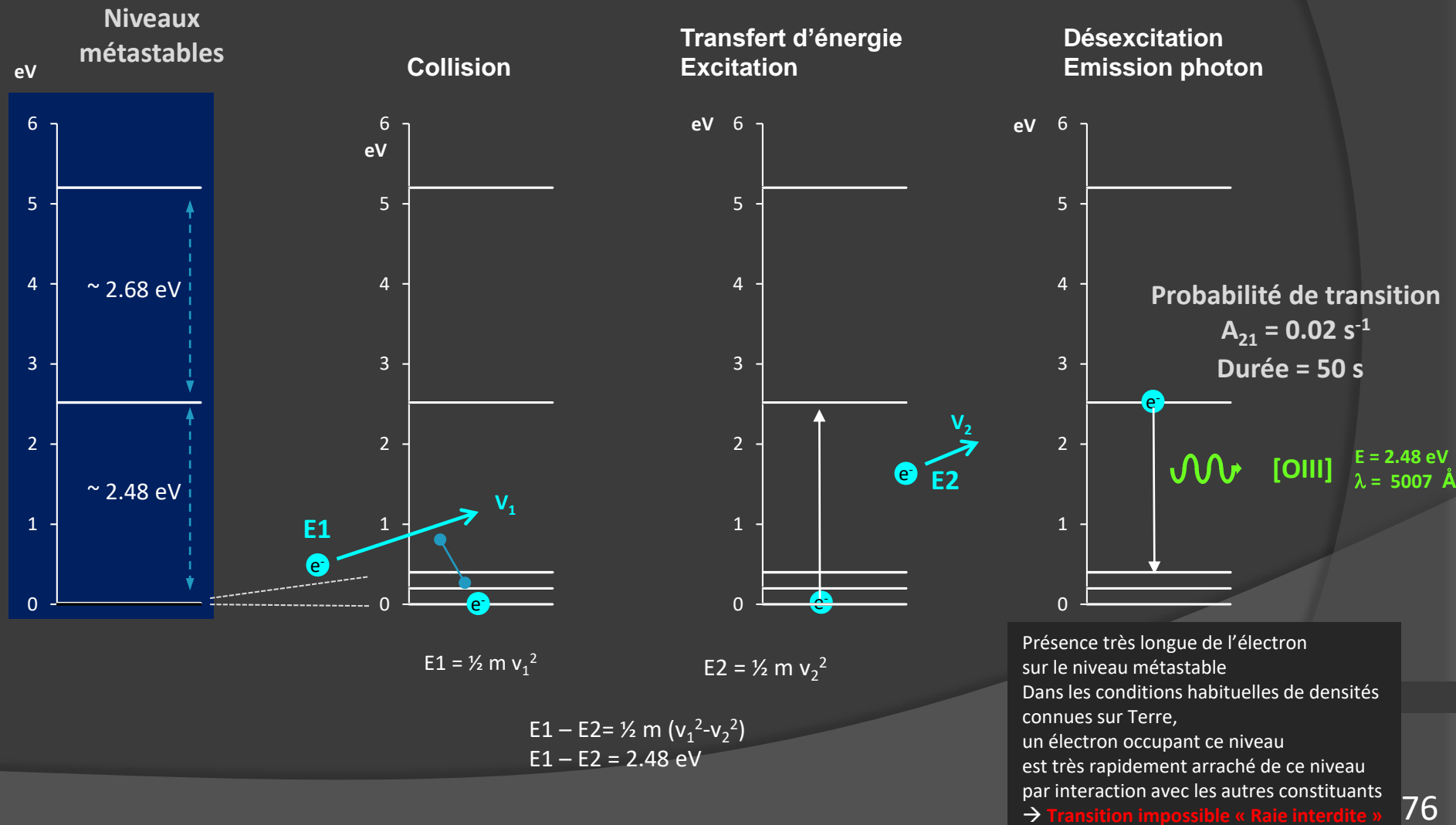


Siviero & Munari, 2003
Proga & al., 1994
Schmid, 1989
Osterbrock, 1989

Raies excitées par collision

« Raies interdites » = raies excitées par collision

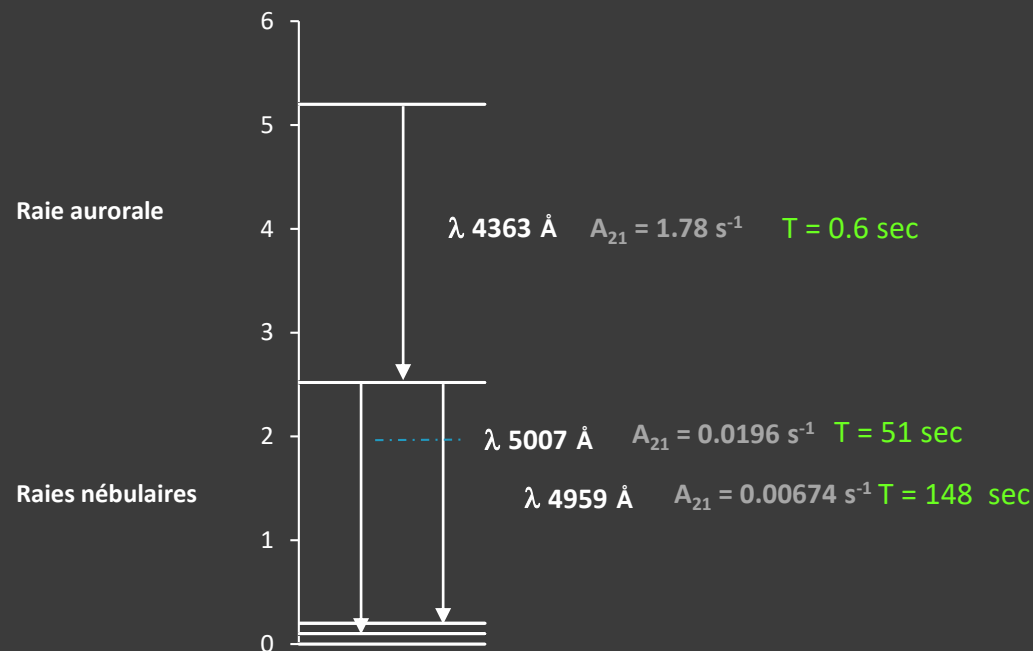
[O III] | O²⁺



Raies excitées par collision

« *Raies interdites* » = raies excitées par collision

[O III] O²⁺



$$Te = \frac{3,29 \cdot 10^4}{\ln([ROIII])/8,3}$$

$$R[OIII] = \frac{I 5007 + I 5959}{I 4363}$$

A₂₁ = probabilité de transition

Raies excitées par collision

Densité critique

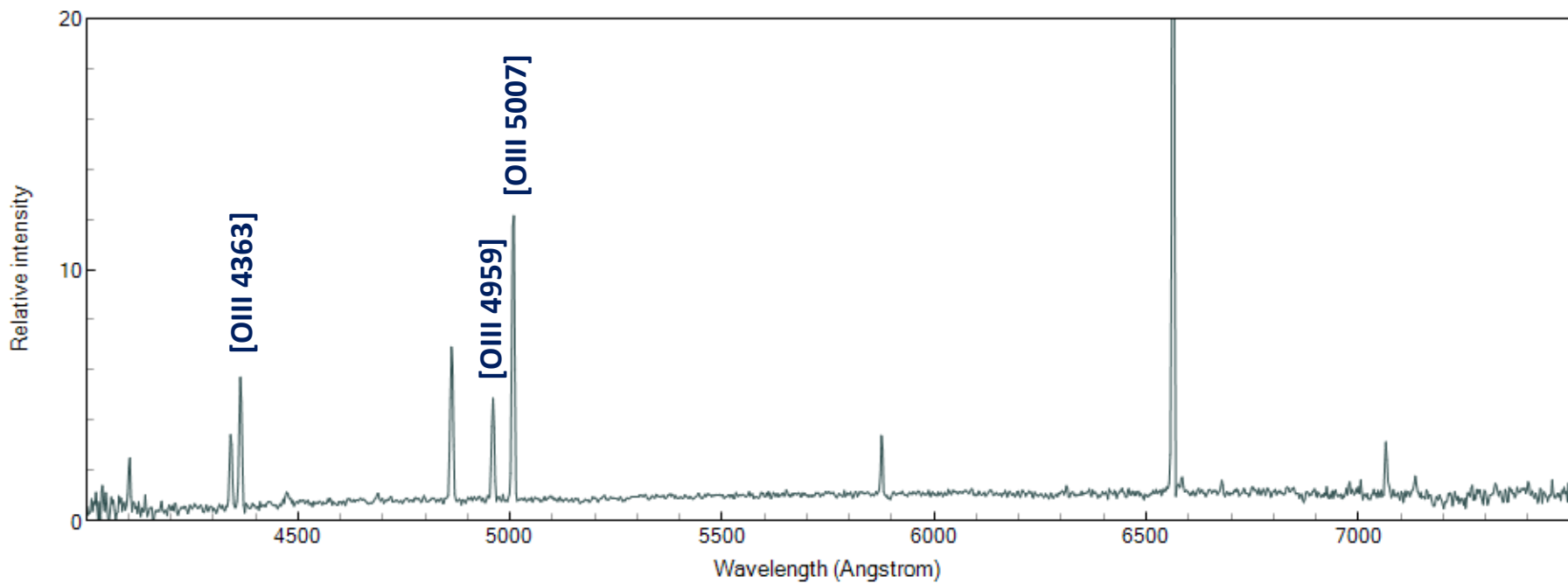
Pour Te = 10 000 K

Raie	Densité (cm ⁻³)
[O I] 6300	1.4 10⁶
[O I] 6363	4.6 10⁶
[O III] 4363	3.1 10⁷
[O III] 4959	1.7 10⁵
[O III] 5007	5.2 10⁵

Raies excitées par collision

V471 Per : symbiotique jaune (Géante K)

V471Per 2016-10-31.885 F Boubault



Raies [O III] intenses

Energie ionisation

Ionization Energy (eV)

	0	+	2+	3+	4+	5+	6+
	I	II	III	IV	V	VI	VII
H	13.6						
He	24.6	54.4					
C	11.3	24.4	47.9	64.5			
N	14.5	29.6	47.4	77.5	97.9		
O	13.6	35.1	54.9	77.4	113.9	138.1	
Ne	24.6	41.0	63.4	97.2	126.2		
Na	5.1	47.3	71.6	98.9	138.4		
Mg	7.6	15.0	80.1				
Al	6.0	18.8	28.4				
S	10.4	23.3	34.9				
Ar	15.8	27.6	40.7	59.6	74.8		
Ca	6.1	11.9	50.9	67.3	84.3		
Fe	7.9	16.2	30.7	54.9	75.0	99.0	125.0
Si	8.1	16.3	33.5	45.1	166.8		

Relation empirique

Température composant chaud

$$Th = X_i * 1000$$

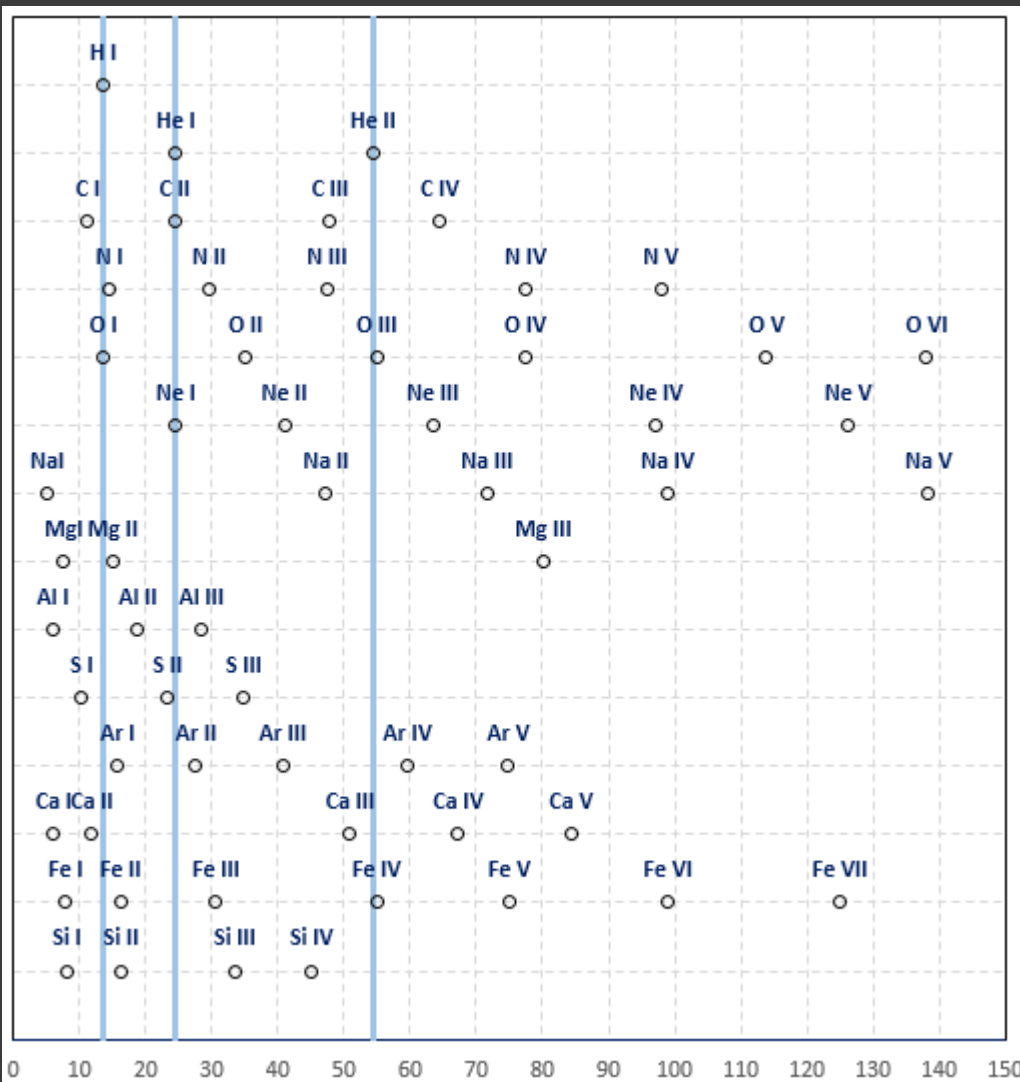
Th = température en K

Xi = potentiel ionisation le plus élevé (en eV)

Mürset & Nussbaumer, 1994

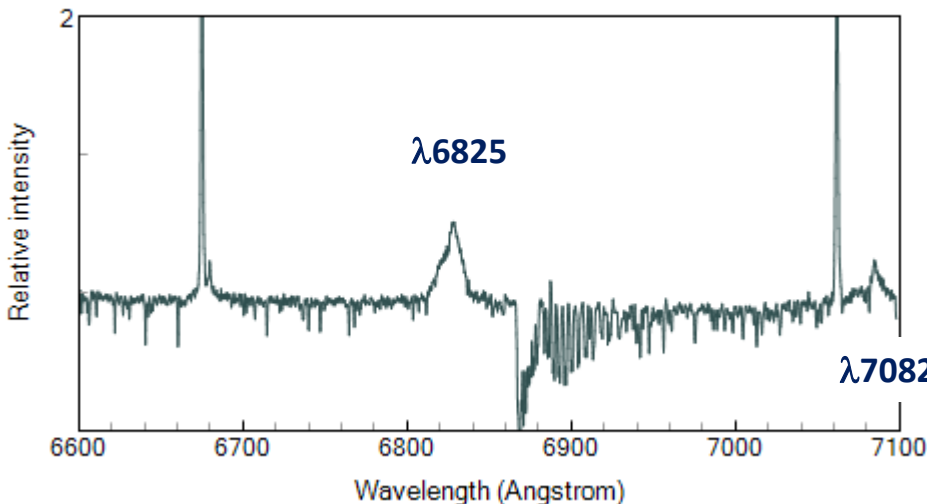
Raie	Th
H I	15000
He I	25000
He II [O III]	55000
[Fe VII]	125000
O VI	140000

Raies excitées par collision



Raman OVI

AG Dra 2016-05-06.250 T Lester

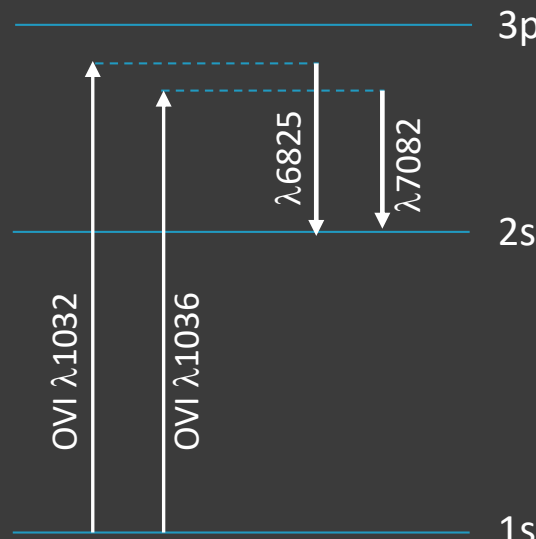


Raman scattering
doublet OVI

1032 1036

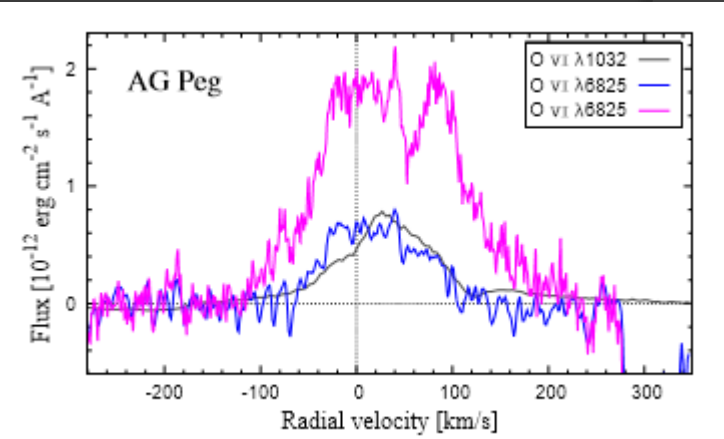
par Hydrogène neutre

Schmid 1989

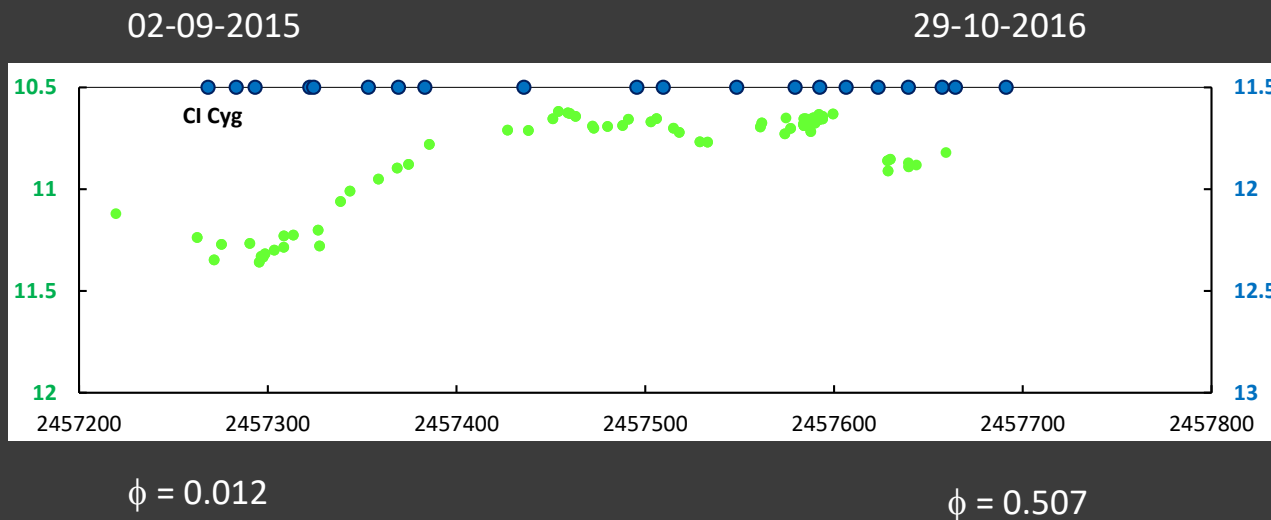


Raies caractéristiques des symbiotiques

- Présence de bandes d'absorption caractéristiques d'une géante de type tardif (late-type giant), parmi lesquelles TiO, H₂O, CO, CN, VO ainsi que des lignes d'absorption telles que CaI, CaII, FeI, NaI
- Présence de fortes raies d'émission HI, HeI et ...
 - raies d'émission d'ions tels [OIII] (potentiel d'ionisation > 35 eV)
 - [...]
- La présence d'une bande lambda = 6825, même si les bandes de l'étoile froide n'apparaissent pas.



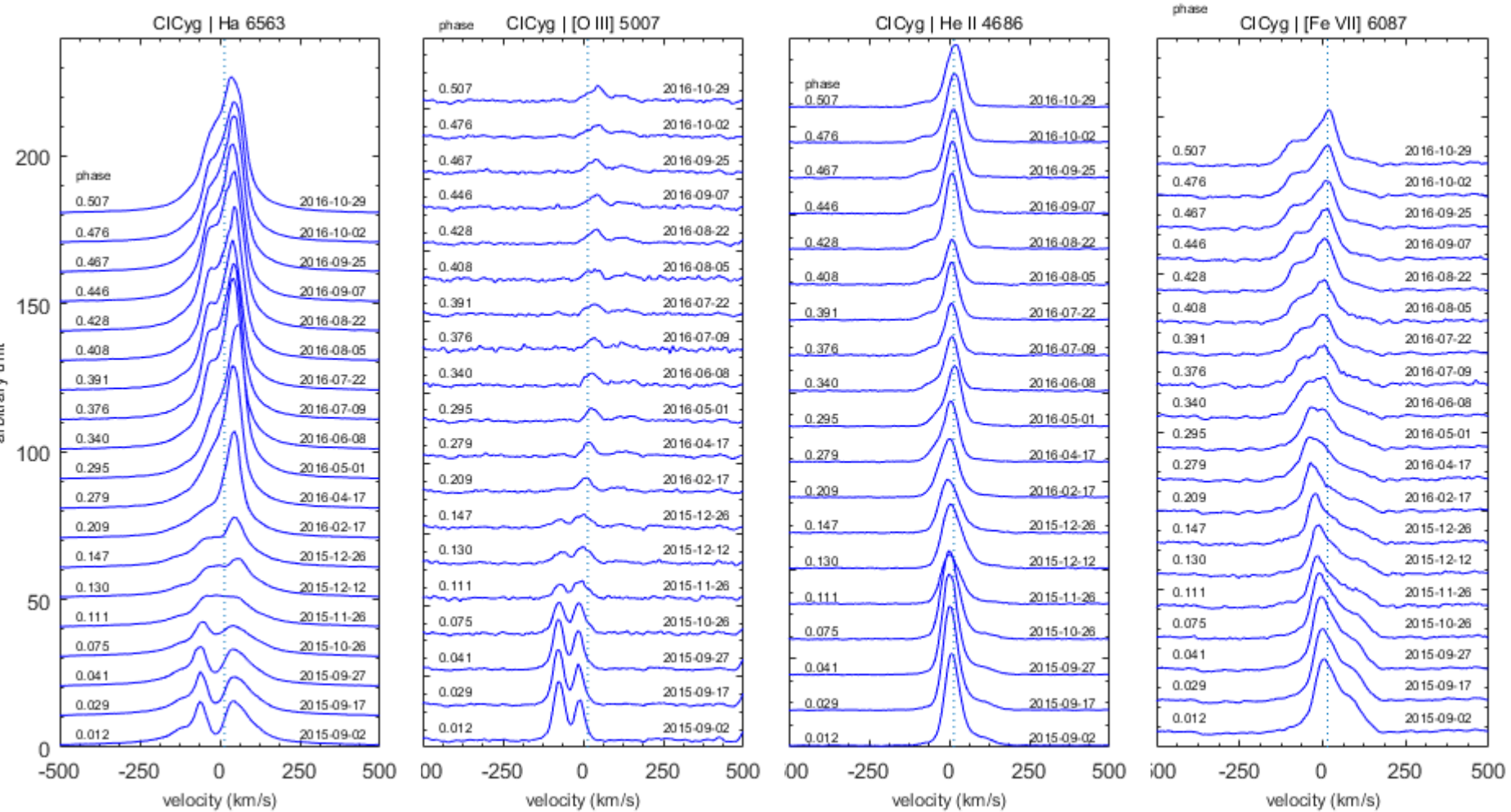
Variations orbitales : CI Cygni



$E_0 = 2442690$
 $P = 853.8$ jours
Fekel & al., 2000

Spectres eshel
F. Teyssier

Variations orbitales : CI Cygni

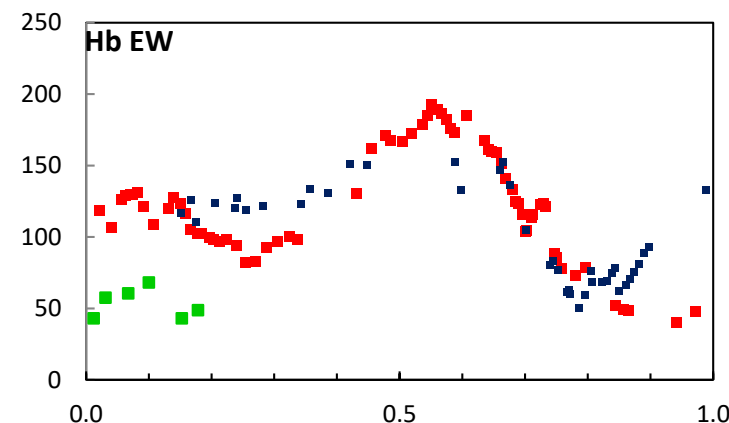
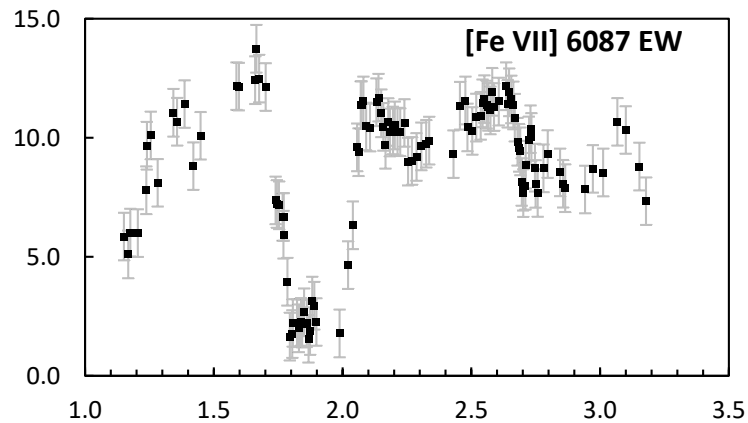
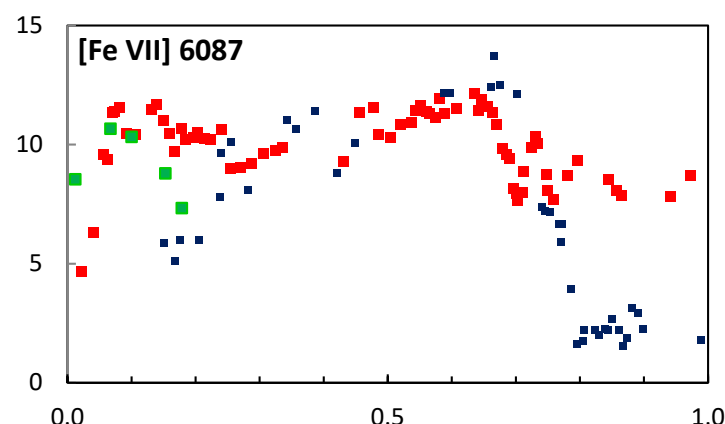
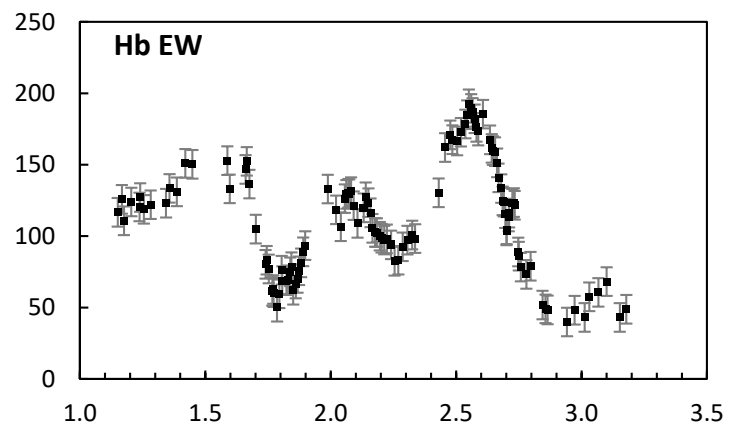


Variations orbitales
Activité



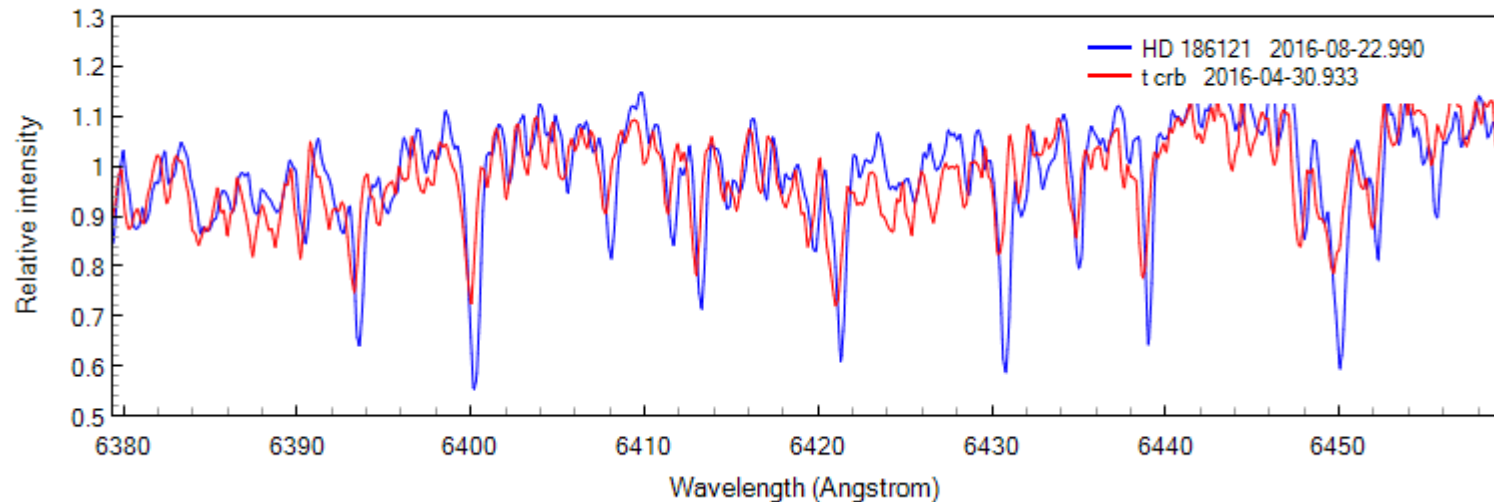
Suivi sur +++ orbites

Variations orbitales : CI Cygni



Orbite : T CrB

HD 186121 2016-08-22.990 fteyssier



$$V_r = \frac{\Delta\lambda}{\lambda} c$$

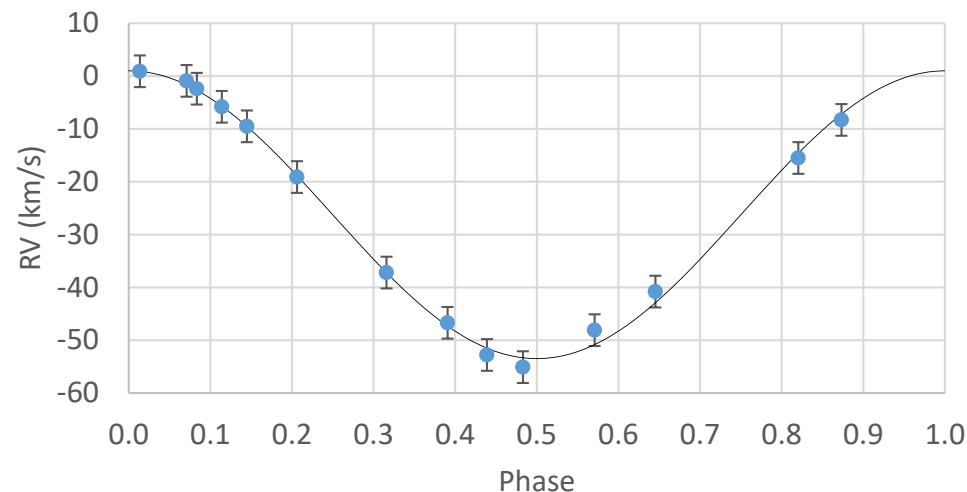
Ephéméride
Fekel et al., 2000

JD 0 2447918.62

E 227.57 d

Vitesse GR $K_1 = 27.2 \text{ km.s}^{-1}$
Vitesse système $\gamma = -26.2 \text{ km.s}^{-1}$
Incertitude ~

T CrB radial velocity (2016)

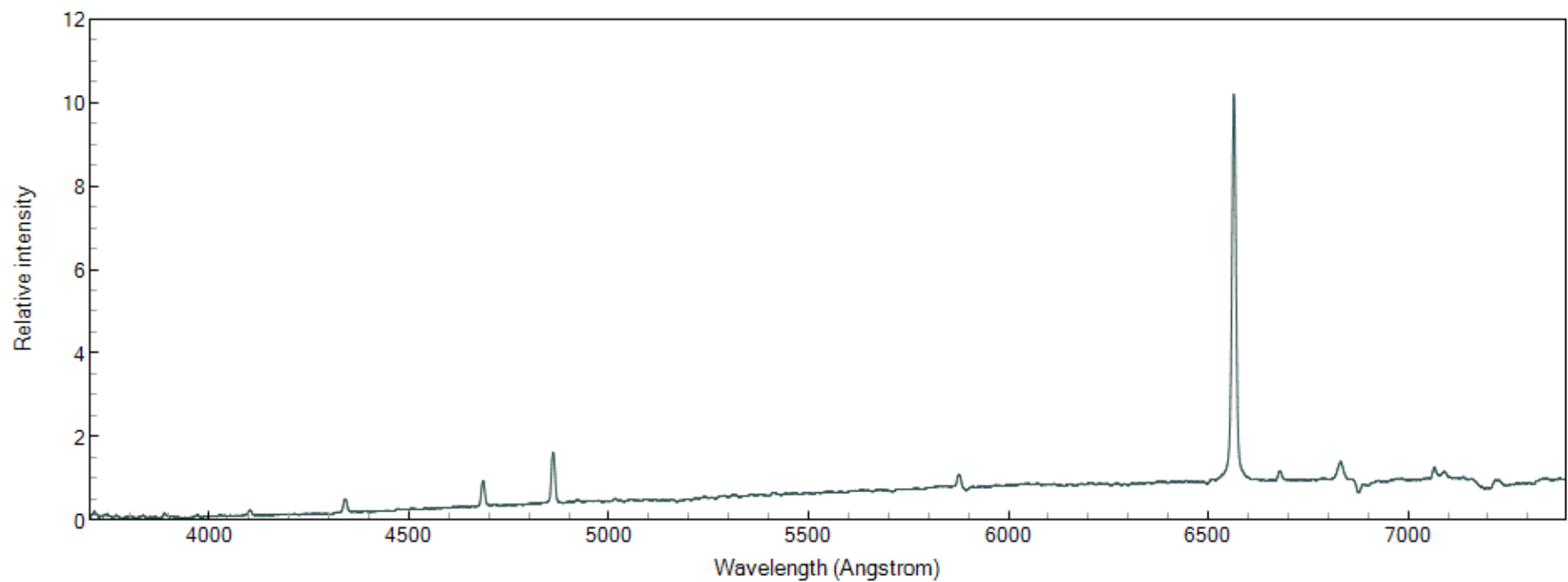


Etoiles Symbiotiques

- | | |
|---|---|
| 1 | Spectroscopie et Classification spectrale |
| 2 | La découverte des Etoiles Symbiotiques |
| 3 | Modèle d'une Etoile Symbiotique |
| 4 | Formation du spectre |
| 5 | Les Symbiotiques à l'état calme |
| 6 | Le Zoo des Symbiotiques |
| 7 | Les Symbiotiques en Outburst |
| 8 | Contribution des amateurs |

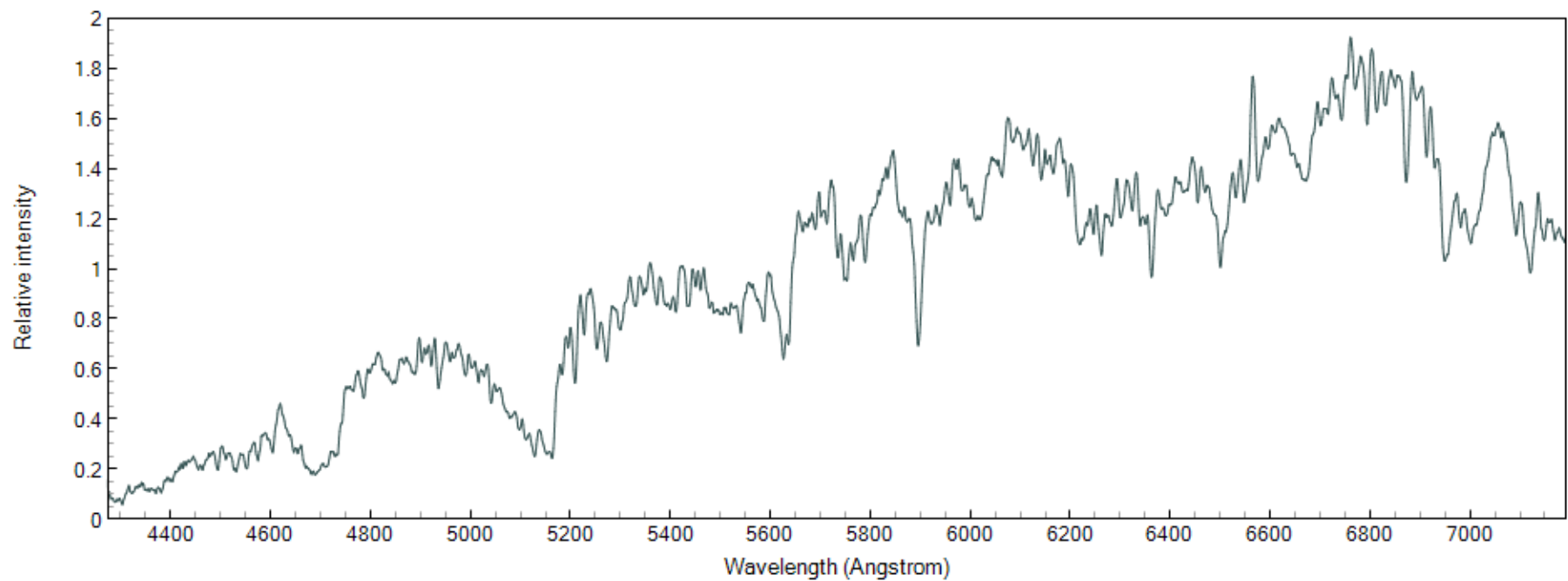
Géante jaune (K) : AG Dra

AG Dra 2016-10-06.910 Jacques Montier



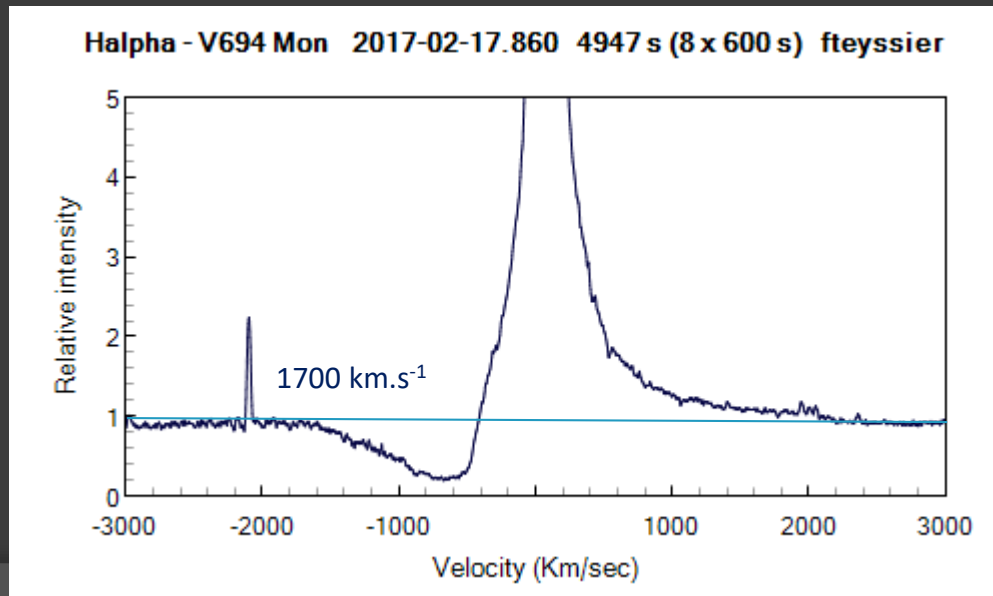
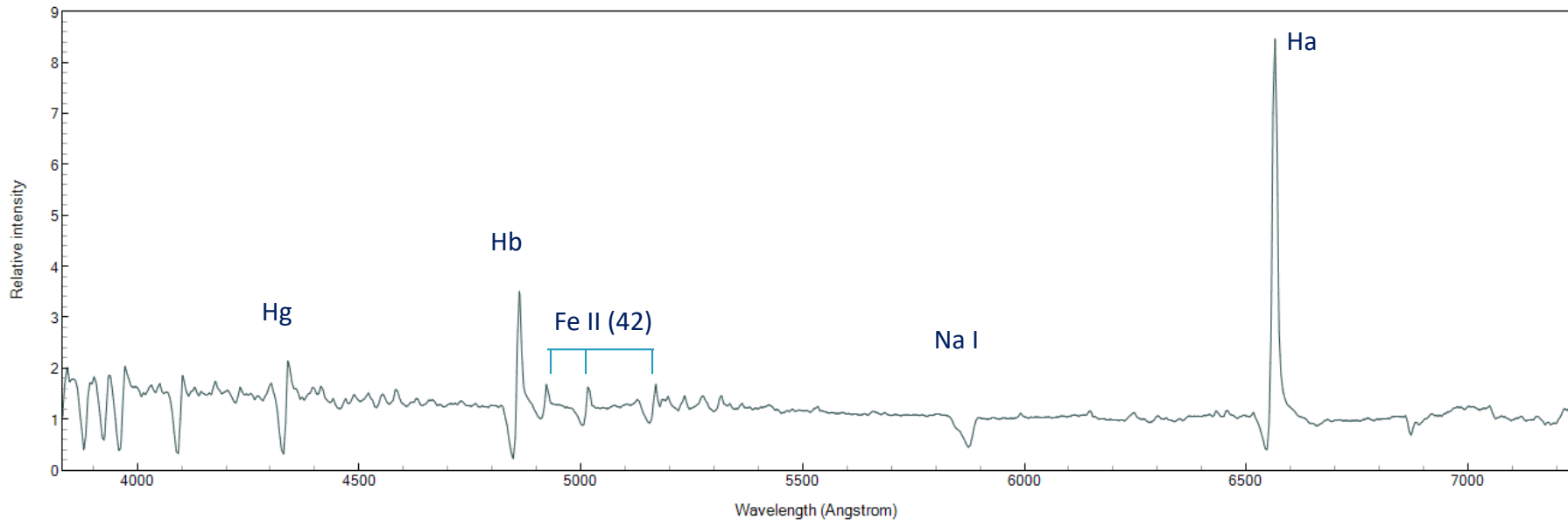
Géante carbonée : NQ Gem

NQ Gem 2015-10-24.089 P. Somogyi

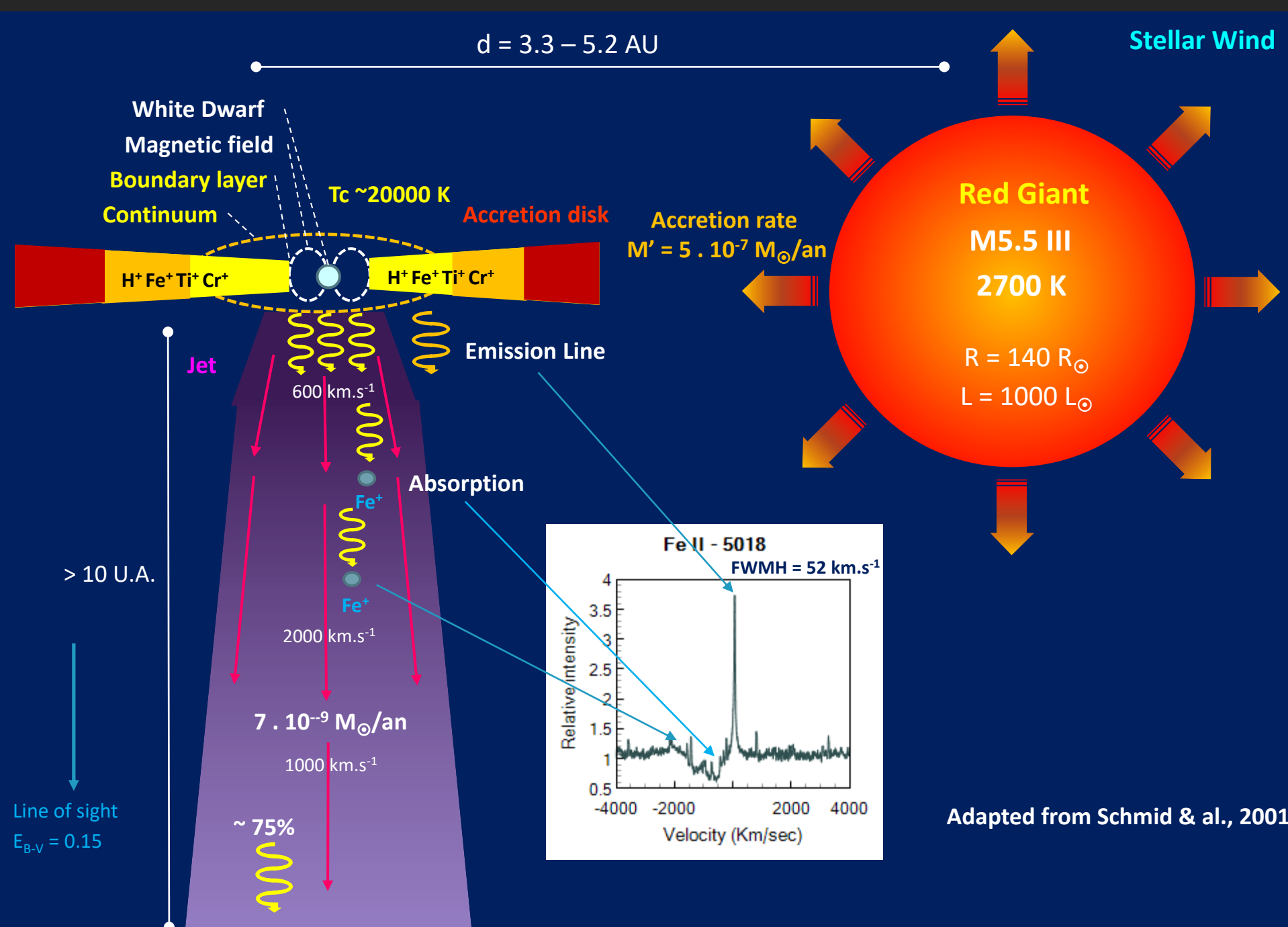


Jet collimaté : V694 Mon

V694 Mon 2017-02-16.854 LFranco



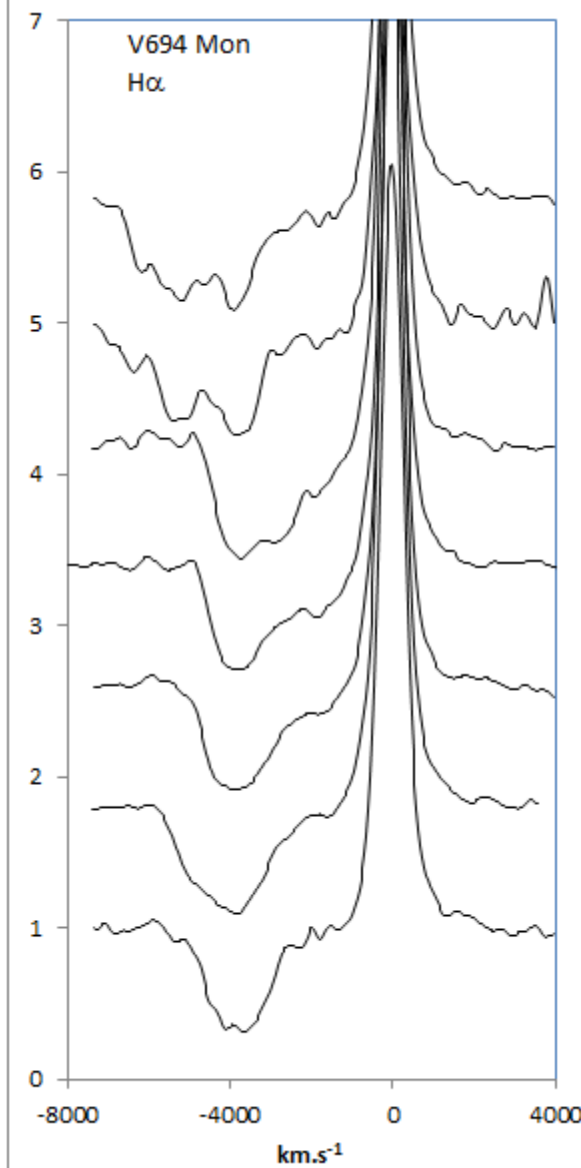
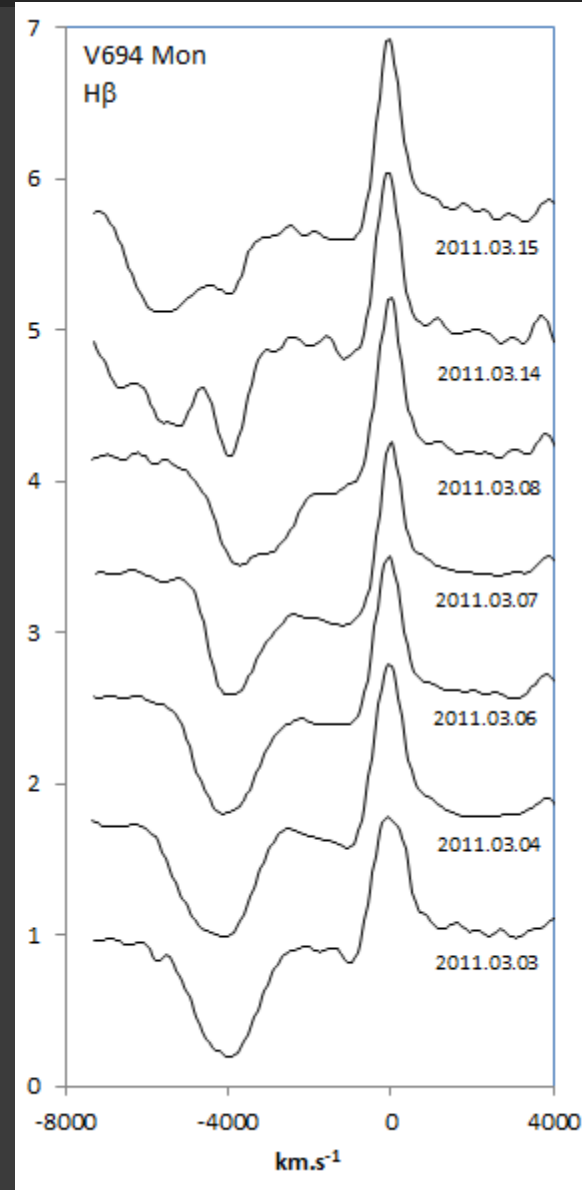
Jet collimaté : V694 Mon

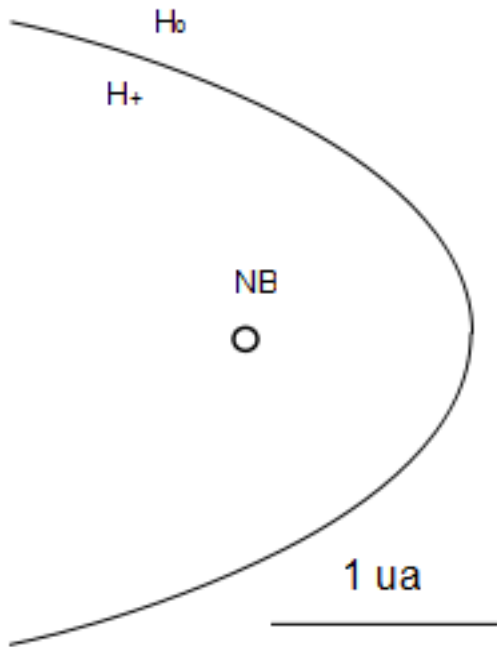


Jet collimaté : V694 Mon

Mars 2011
LISA R = 1000

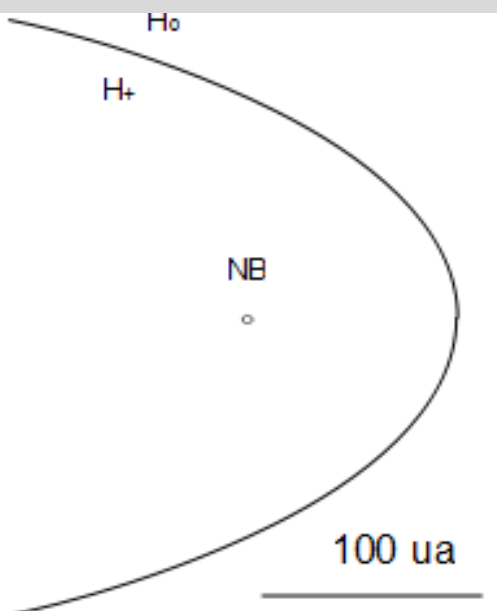
High state





Type S (« star »)

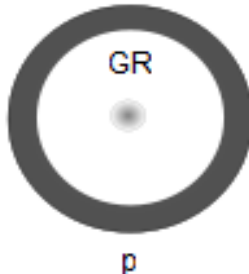
80 % des symbiotiques
Géante rouge normale
Période orbitale de 200 à 800 j



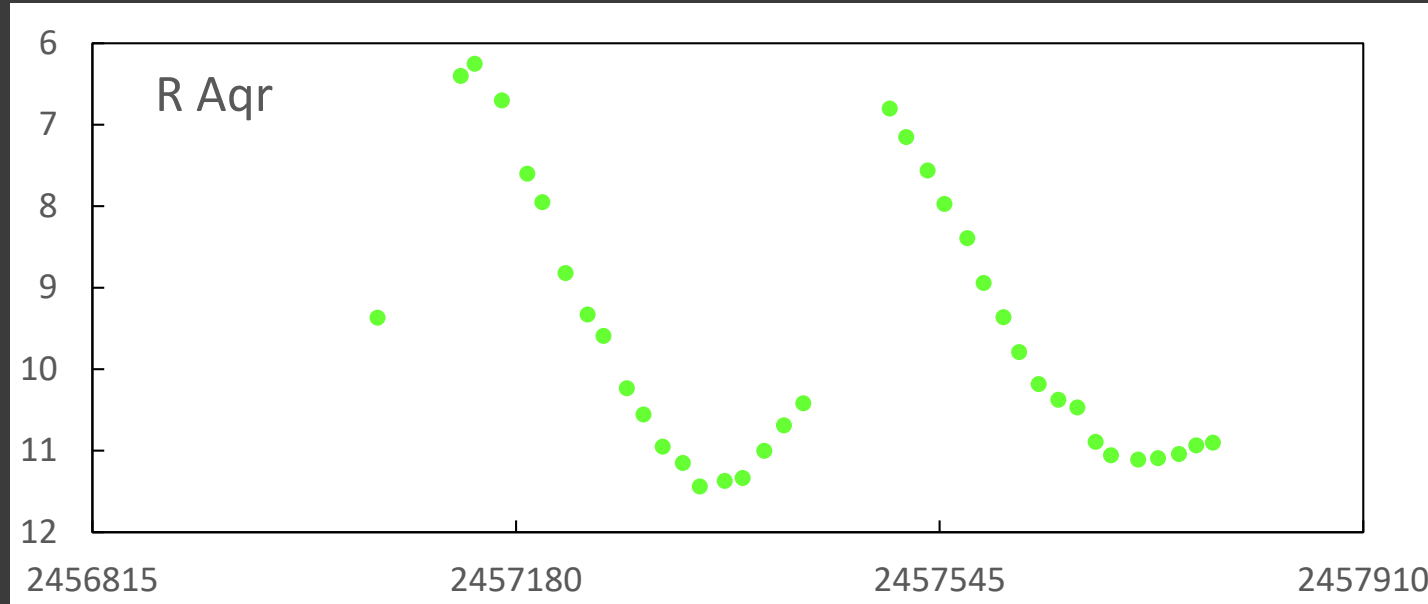
2 types de symbiotiques

Type D (« dust »)

20 % des symbiotiques
Géante rouge de type Mira
Période orbitale de +++ 1000 jours
Nuage de poussières
caractéristique dans l'infrarouge



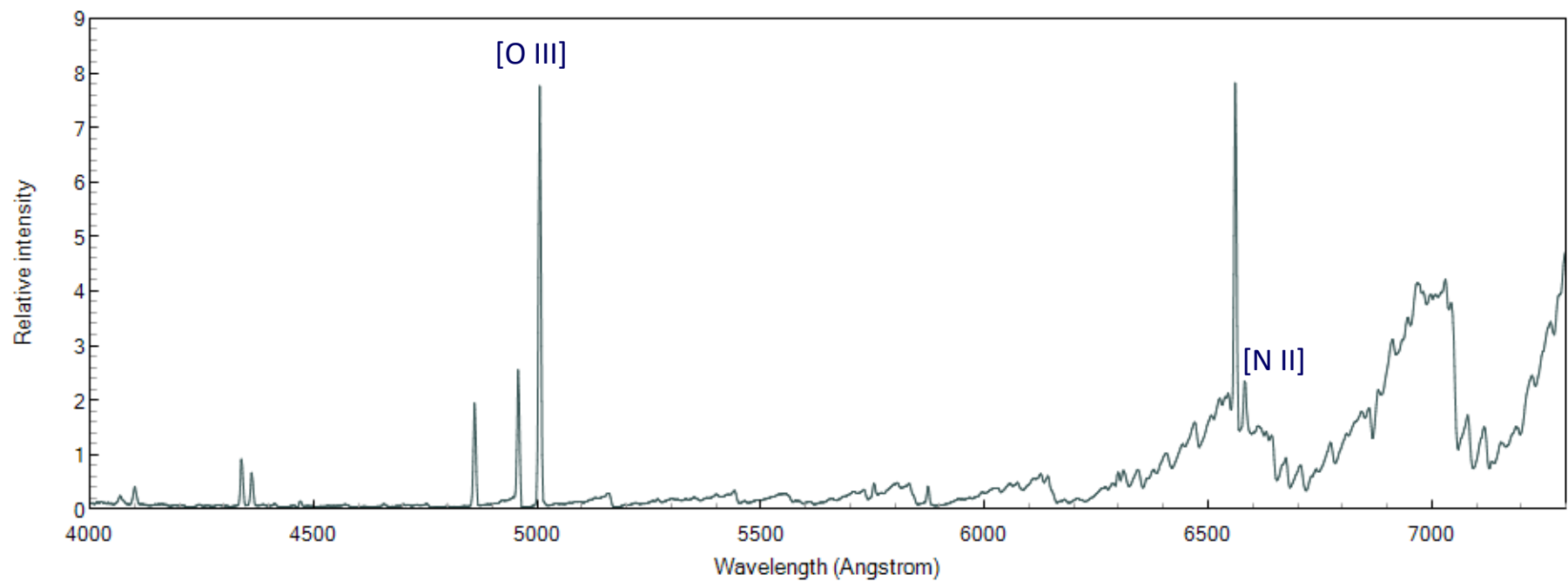
Mira Symbiotique R Aqr



Δ mag V ~ 4
P ~ 387 jours

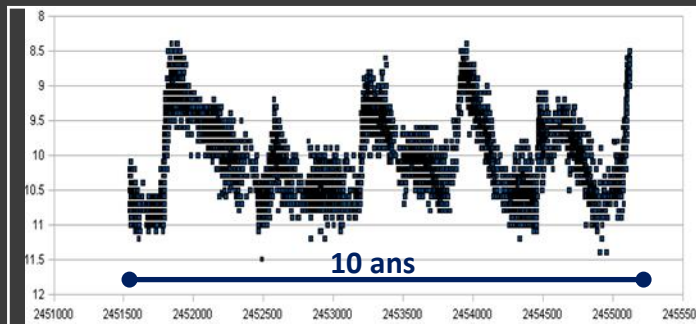
Mira Symbiotique R Aqr

R Aqr 2011-11-23.832 C. Buil



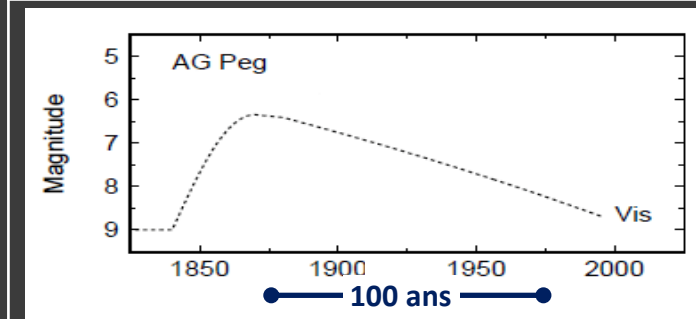
- | | |
|---|---|
| 1 | Spectroscopie et Classification spectrale |
| 2 | La découverte des Etoiles Symbiotiques |
| 3 | Modèle d'une Etoile Symbiotique |
| 4 | Formation du spectre |
| 5 | Les Symbiotiques à l'état calme |
| 6 | Le Zoo des Symbiotiques |
| 7 | Les Symbiotiques en Outburst |
| 8 | Contribution des amateurs |

2 types d'outbursts



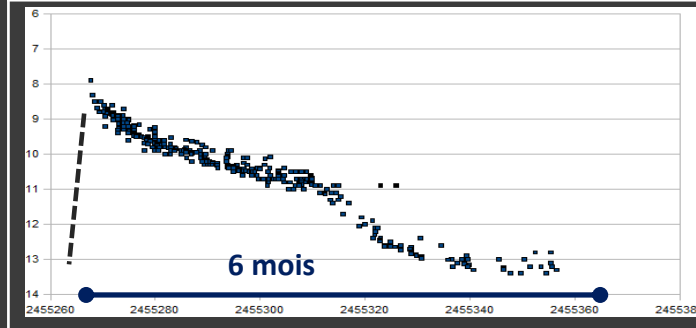
Type Z And
ou outburst de symbiotique classique
Z And, CI Cyg

Outbursts d'amplitude moyenne (2-3 mags) parfois en série, espacés de périodes calmes



Novae Symbiotiques
AG Peg, V1016 Cyg, HM Sge

Phénomène de type nova (très lente) s'étendant sur des décennies



Novae Récurrentes de type symbiotique
RS Oph, T CrB

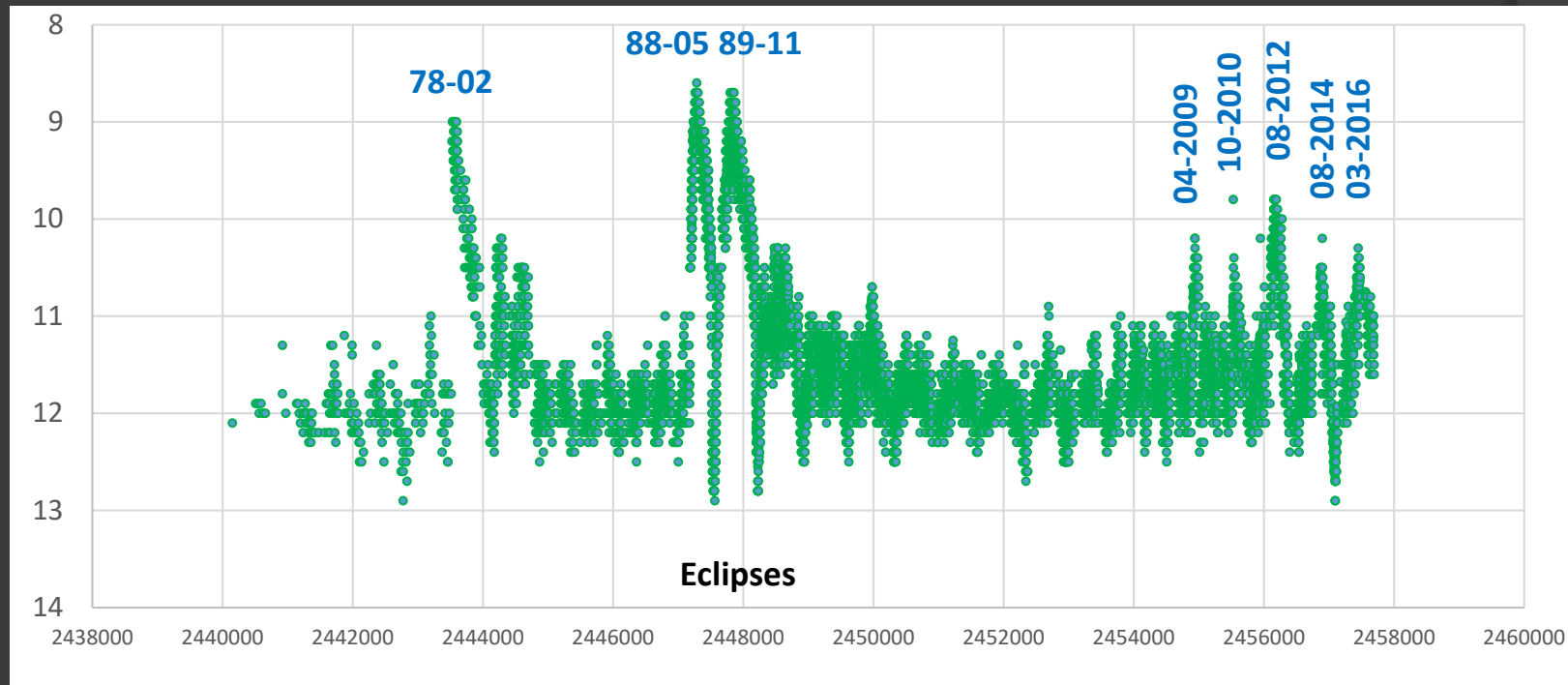
Phénomène de type nova se reproduisant à des échelles de temps de l'ordre de la décennie

Rem : certaines symbiotiques n'ont jamais présenté d'outbursts
d'autres sont considérées comme étant en outburst permanent

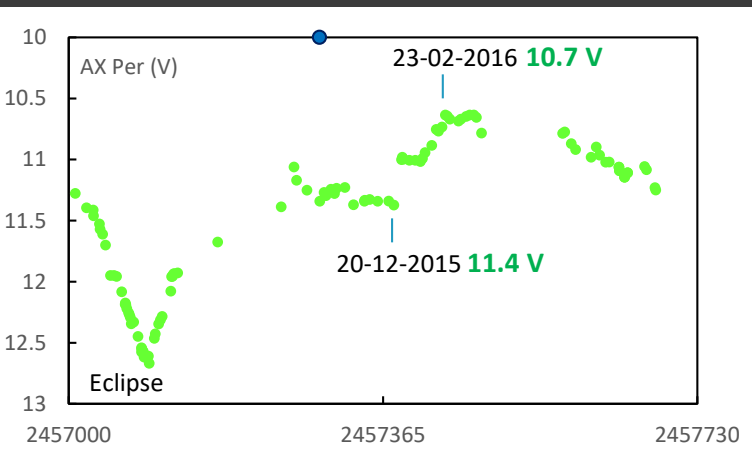
EG And V443 Her UV Aur
V694 Mon

Outburst Symbiotique AX Per

AX Per Courbe de luminosité V+Vis 1968-2016 – AAVSO (17000 observations)



Outburst AX Per 2015-2016

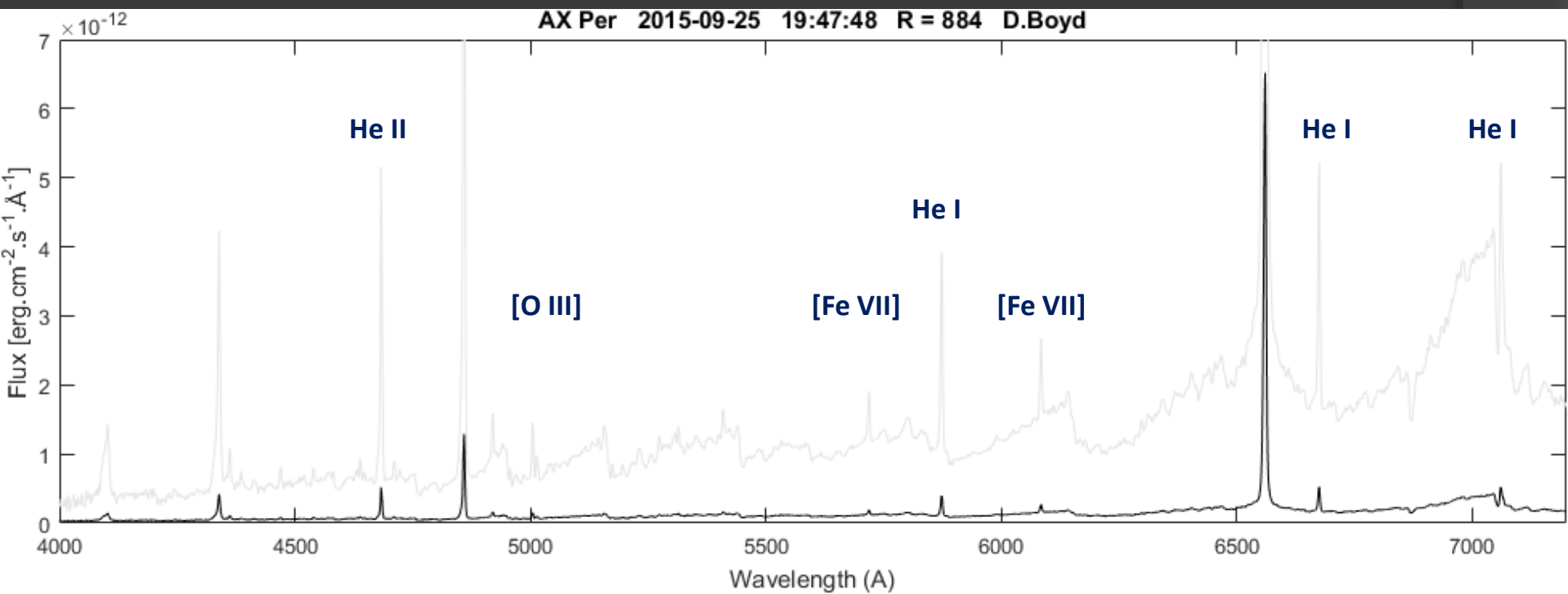


AX Per Etat calme

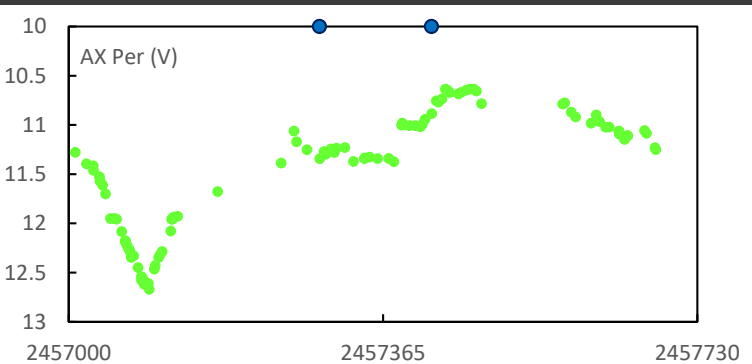
D Boyd

25-09-2016

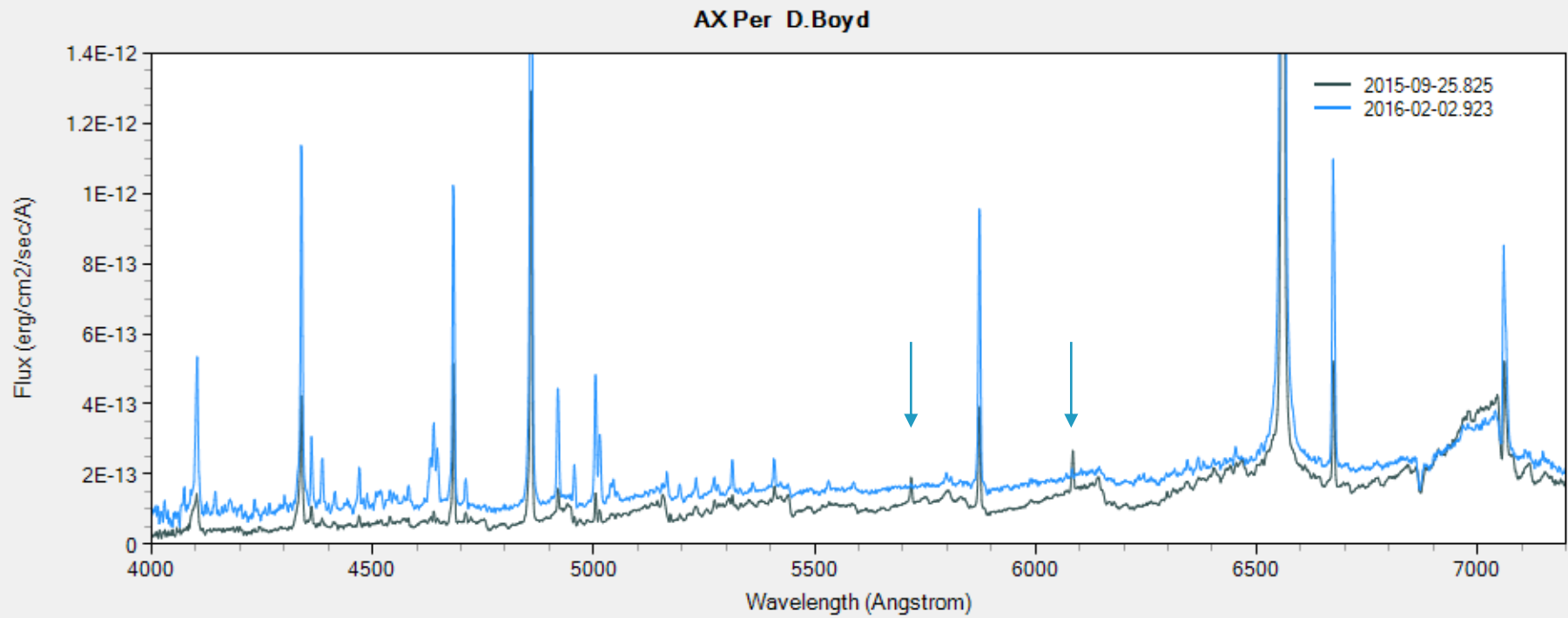
R = 1000 (LISA)



Outburst AX Per 2016



Bandes absorption TiO ↓
Intensité des émissions ↑
Raies de forte ionisation ↓

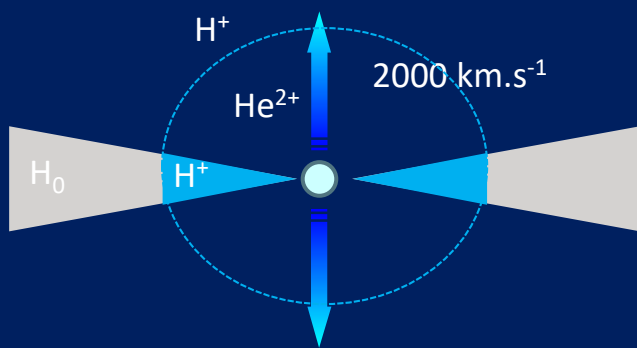


- Diminution de la température composant chaud ou rayonnement UV masqué
- Augmentation du volume ionisé de la nébuleuse

Outburst AX Per

Un modèle
Formation d'un disque d'accrétion

$M' = 2-3 \cdot 10^{-6} M_{\odot}/\text{an}$



Naine Blanche
110 000 K
 $R = 0.018 R_{\odot}$
 $M = 0.4 (0.1) M_{\odot}$
 $L = 314 L_{\odot}$

Nébuleuse

Te = 15 000 K
 $N = 6-9 \cdot 10^9 \text{ cm}^{-3}$

$d = 1-5 \text{ U.A.}$

Vent Stellaire
 $M' = 3 \cdot 10^{-6} M_{\odot}/\text{an}$

32 km.s^{-1}

Géante Rouge

M4.5 III

3400 K

$R = 115 R_{\odot}$
 $M = 1.0 M_{\odot}$
 $L = 950 L_{\odot}$

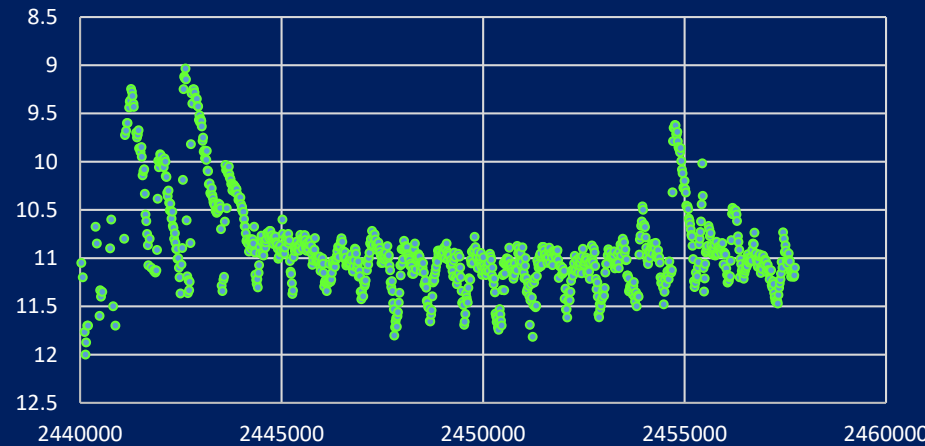
$d = 3.6 RG$

$d = \text{U.A.}$

$P = 680 \text{ jours}$

d'après Skopal, 2011

Outburst CI Cyg



Teyssier, JAAVSO Volume 39, 2011

41

CI Cygni 2010 Outburst and Eclipse: An Amateur Spectroscopic Survey—First Results From Low Resolution Spectra

François Teyssier

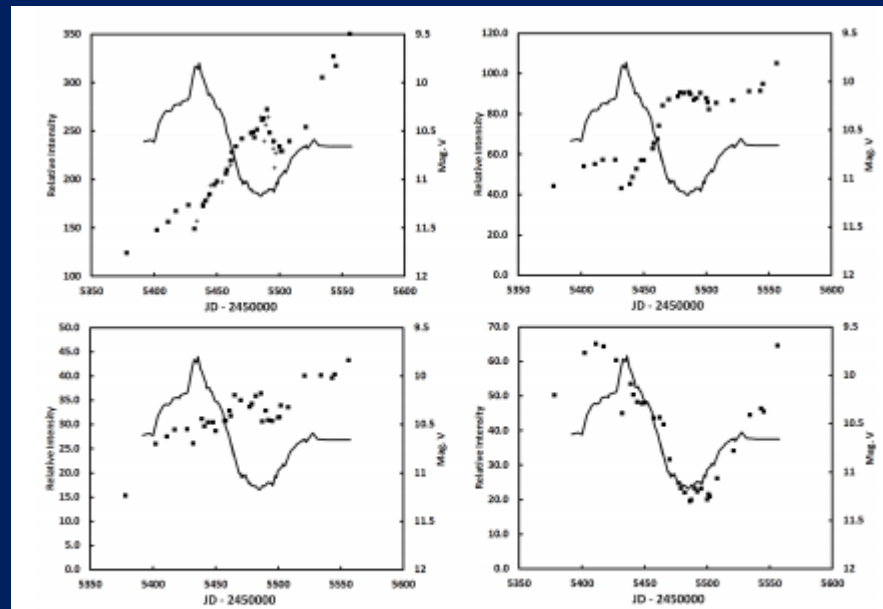


Figure 10. Equivalent widths time series (JD 2450000). Squares for low resolution values, crosses for eShel values (only H α). Figure 10a (top left): H α equivalent width. Figure 10b (top right): H β equivalent width. Figure 10c (bottom left): HeI $\lambda 5876$ equivalent width. Figure 10d (bottom right): HeII $\lambda 4686$ equivalent width.

Outburst CI Cyg

Un modèle
Expansion enveloppe

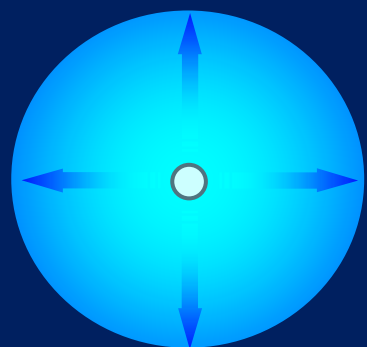
Naine Blanche

Etat calme

125 000 K

$R = 0.06 R_{\odot}$

$L = 560 L_{\odot}$

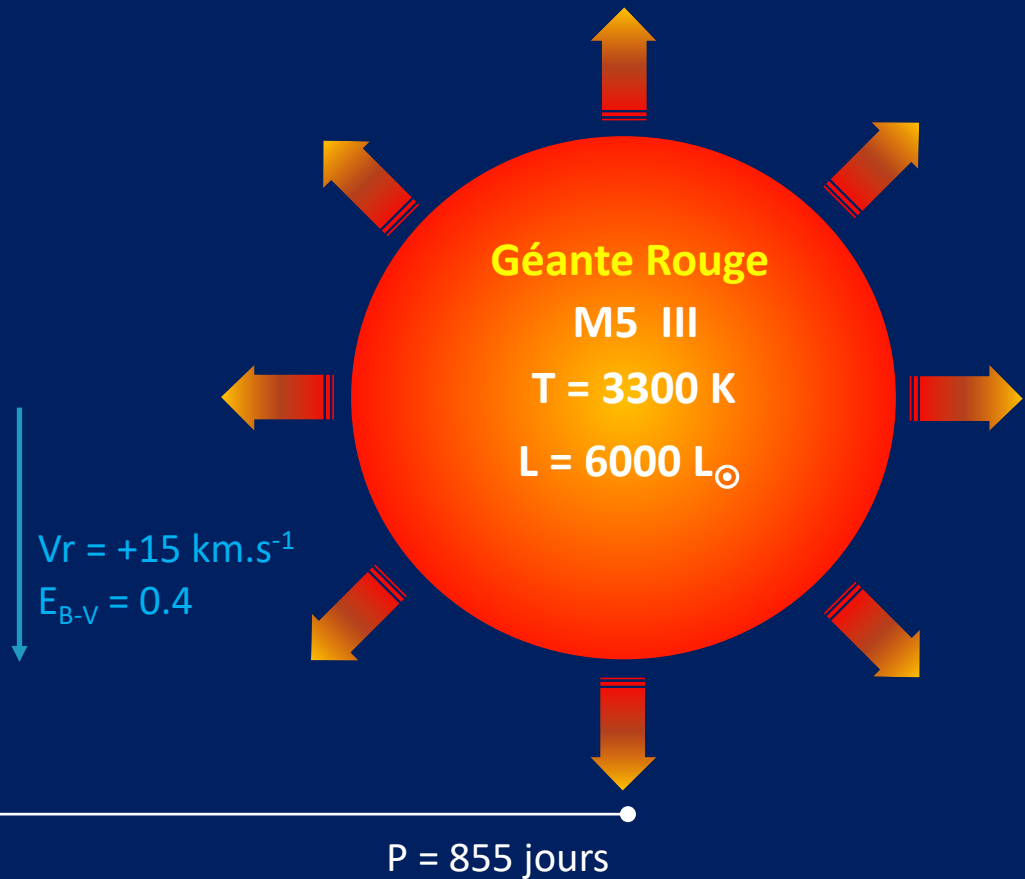


Outburst

6900 K

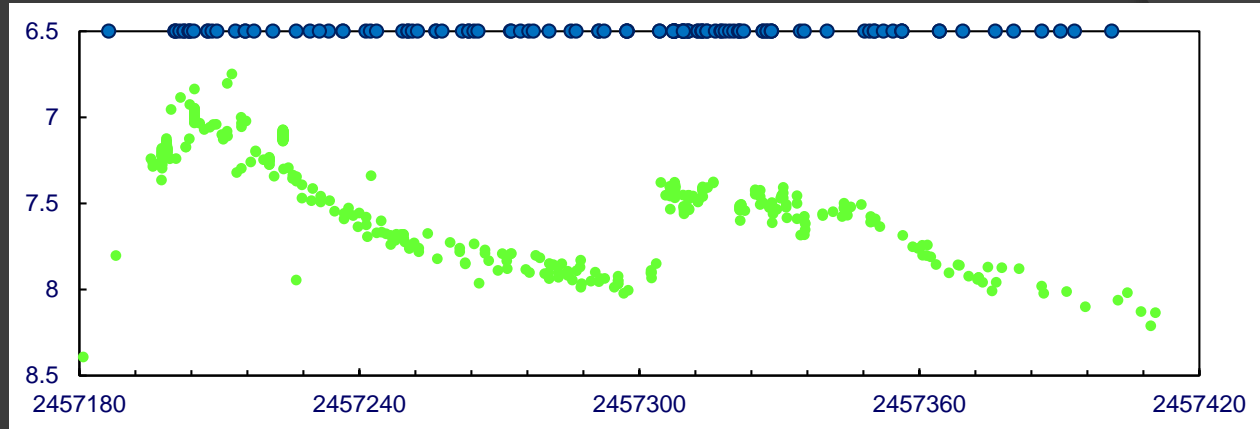
$R = 28 R_{\odot}$

$L = 15000 L_{\odot}$



d'après Skopal, 2011

Outbursts symbiotiques AG Peg 2015



Many groups, including amateur astronomers³, have made spectroscopic observations of AG Peg over its outburst. These observations show strong emission lines, including the Balmer series plus He I (6678) and He II (4686), [O III] (4363) and the O vi emission band at 6825 Å, which is due to Raman scattering. A full analysis of the optical spectra made over the course of the outburst is beyond the scope of this work, but we were able to estimate the effective temperature of the ionizing source using the He II (4686) and H β lines and the formula of Iijima (1981) (quoted in Sokoloski et al. 2006) which derives the effective temperature using the equivalent width (EW) of these lines (we ignore the He I (4471) line since it is much weaker than He II and H β). We used spectra taken by amateur astronomers⁴ which covered the He II (4686) and H β lines to derive their EW (we estimated that the error on the EW measurements was \sim 10 percent by making a number of measurements of the same line).

³ e.g. <http://www.astronomie-amateur.fr>

⁴ http://www.astrosurf.com/aras/Aras_DataBase/Symbiotics/AGPeg.htm

MNRAS 000, 000–000 (0000) Preprint 21 June 2016 Compiled using MNRAS LaTeX style file v3.0

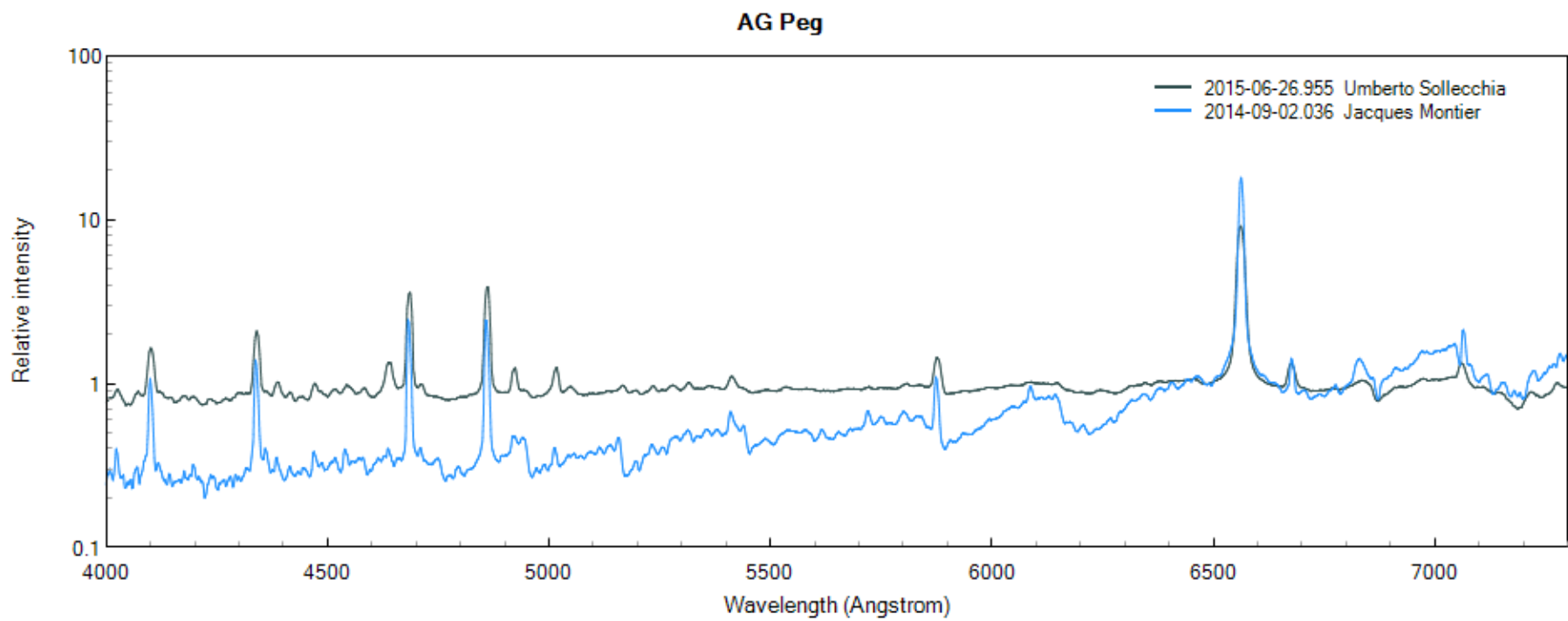
Swift observations of the 2015 outburst of AG Peg – from slow nova to classical symbiotic outburst

Gavin Ramsay¹, J. L. Sokoloski², G. J. M. Lunn³, N. E. Nuñez⁴

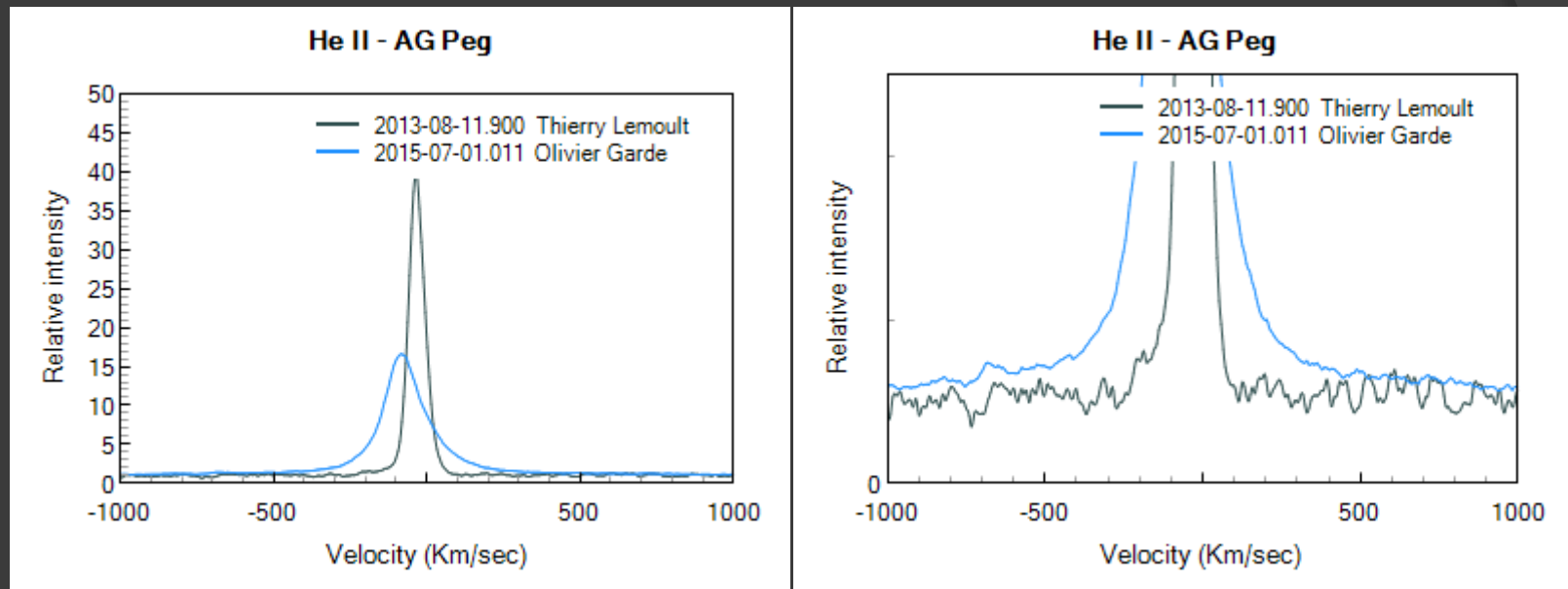
¹Arenberg Observatory, College Hill, Arenberg, BT61 9DG, UK
²Columbia Astrophysics Lab, 550 W125th St., 1027 Pupin Hall, MC 5547 Columbia University, 100-25, New York, USA
³Instituto de Astronomía y Física del Espacio (IAFE, CONICET-UBA), Av. Int. Giardino 3630, C1428ZAA, Buenos Aires, Argentina
⁴Instituto de Ciencias Astronómicas de la Tierra y el Espacio (ICATE-UNSA), Av. España 1512, 5400, San Juan, Argentina

We also thank François Teyssier for altering us to the many amateur spectroscopic observations which have been made and we acknowledge and thank François Teyssier, Umberto Sollecchia, Joan Guarro Flo, Jacques Montier, Peter Somogyi, Keith Graham and V Bouttard for use of their spectra.

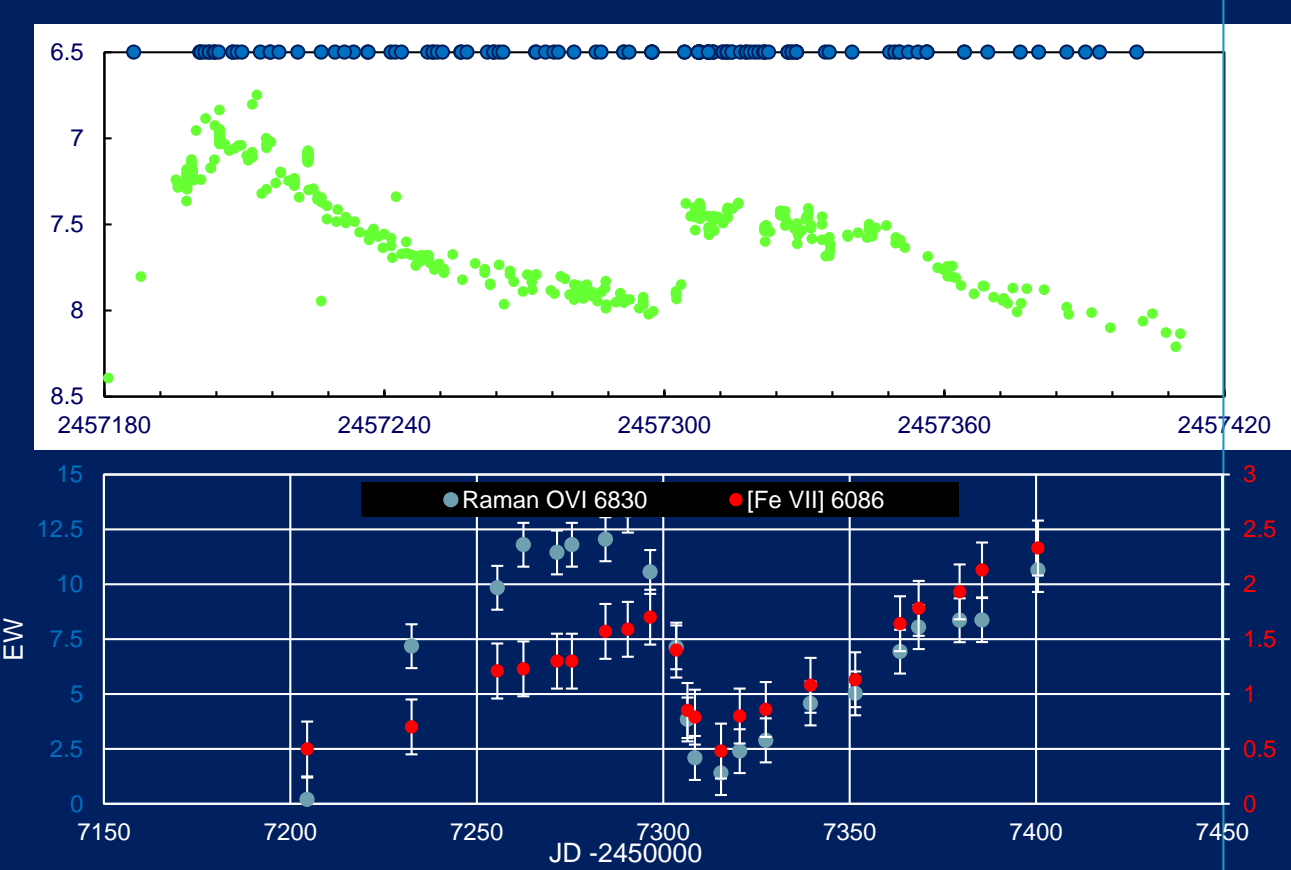
Outbursts symbiotiques AG Peg 2015



Outbursts symbiotiques AG Peg 2015

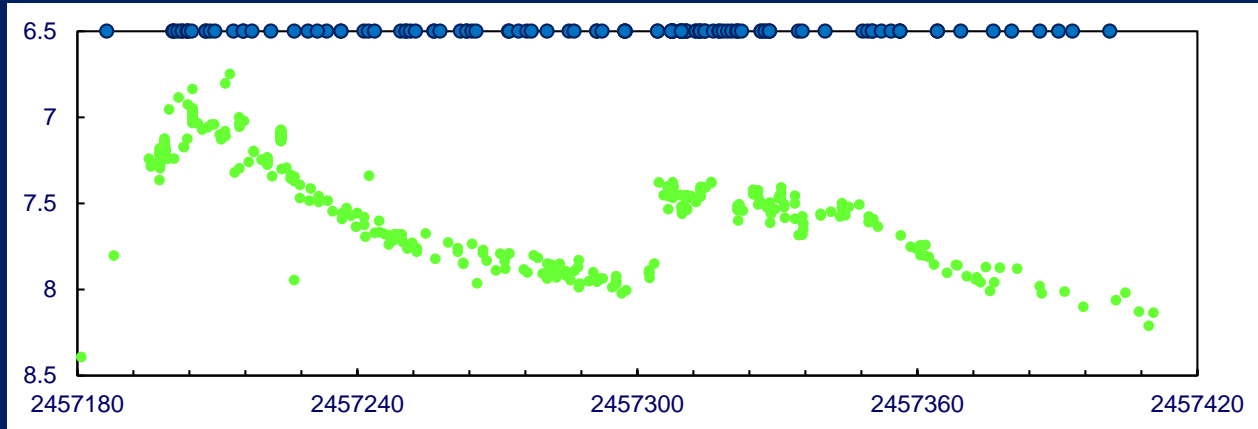


Outbursts symbiotiques AG Peg 2015



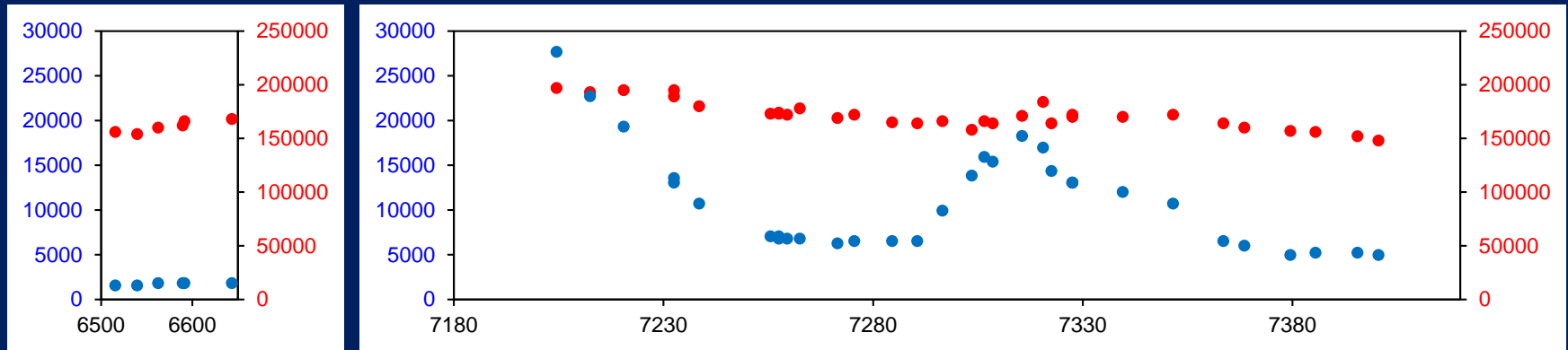
F. Teyssier
J. Guarro
O. Garde
K. Graham
T. Lester
V. Bouttard
T. Lemoult
U. Sollecchia
J. Montier
D. Boyd

Outbursts symbiotiques AG Peg 2015



Luminosité [L_{\odot}]

Température [K]



En cours de publication (Astronomy and Astrophysics)

New outburst of the symbiotic nova AG Peg after 165 years

A. Skopal¹, S. Yu. Shugarov^{1,2}, M. Sekeráš¹, M. Wolf³, T. N. Tarasova⁴, F. Teyssier⁵, M. Fujii⁶, J. Guarro⁷, O. Garde⁸, K. Graham⁹, T. Lester¹⁰, V. Boultard¹¹, T. Lemoult¹², U. Sollecchia¹³, J. Montier¹⁴, and D. Boyd¹⁵

NOVAE

NOVAE
Classiques
(+++100)

NOVAE
Récurrentes
(10)

NOVAE
Rapide à
Lentes

NOVAE
Très lentes
Symbiotiques

U Sco type

T Pyx type

T CrB type
Symbiotiques

Symbiotiques S

Symbiotiques D

T CRB
RS Oph
V745 Sco
V3980 Sgr

AG Peg
RT Ser
V1329 Cyg
PU Vul

RR Tel
V2110 Oph
V1016 Cyg
HM Sge
RX Pup

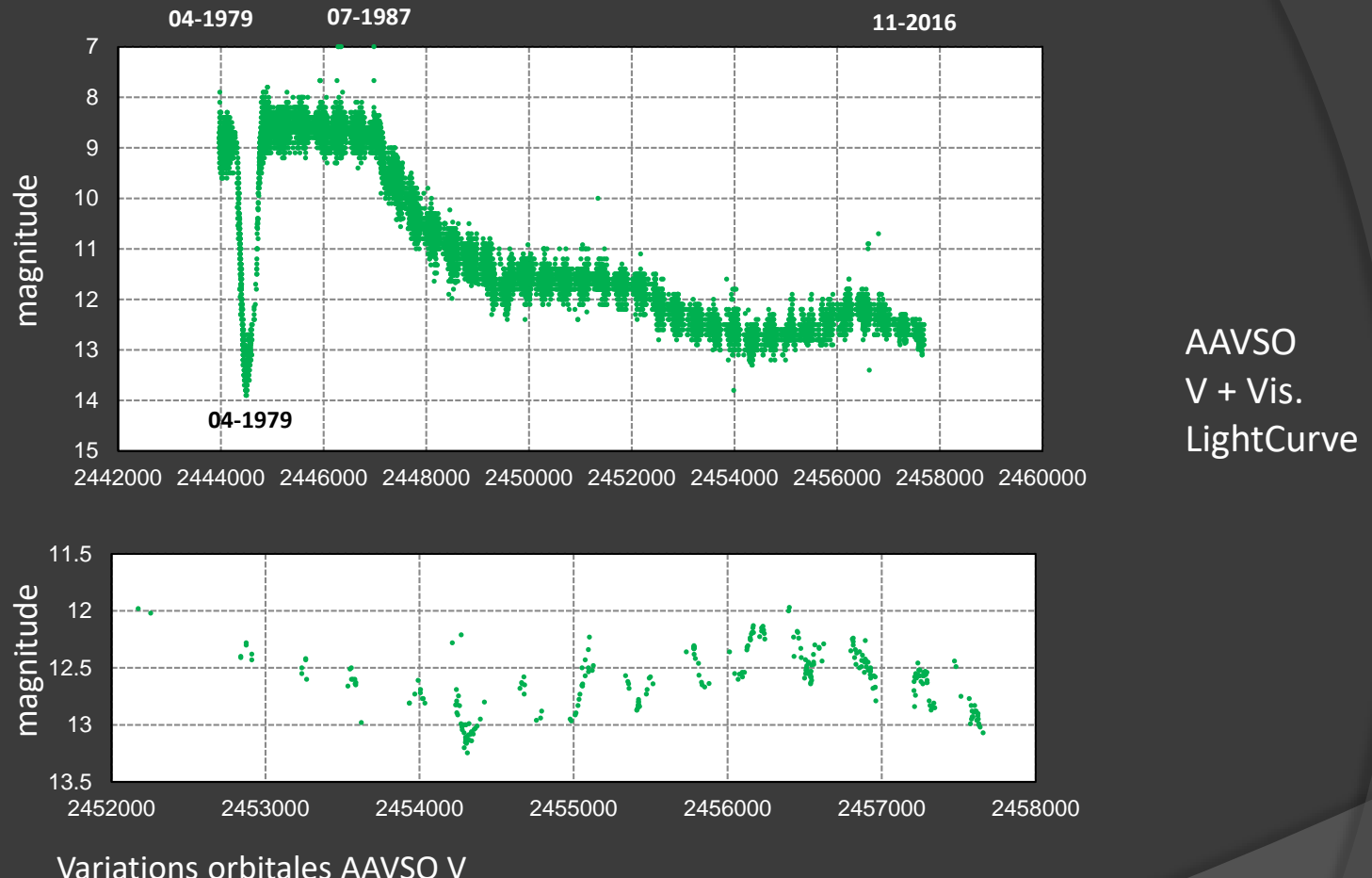
(4)

(5)

(4)

Références Allen 1980
Mürset & Nussbaumer 1994
Munari 1997
Mikolajewska 201

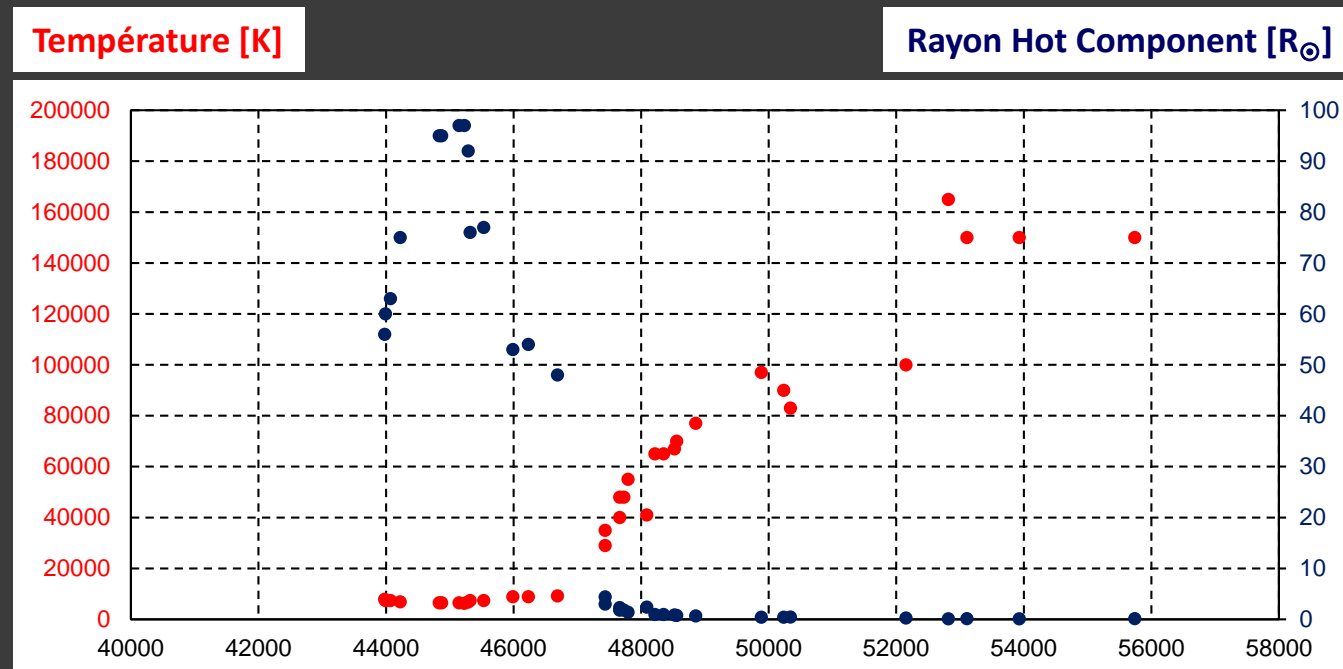
Novaes Symbiotiques PU Vul



Novae Symbiotiques PU Vul

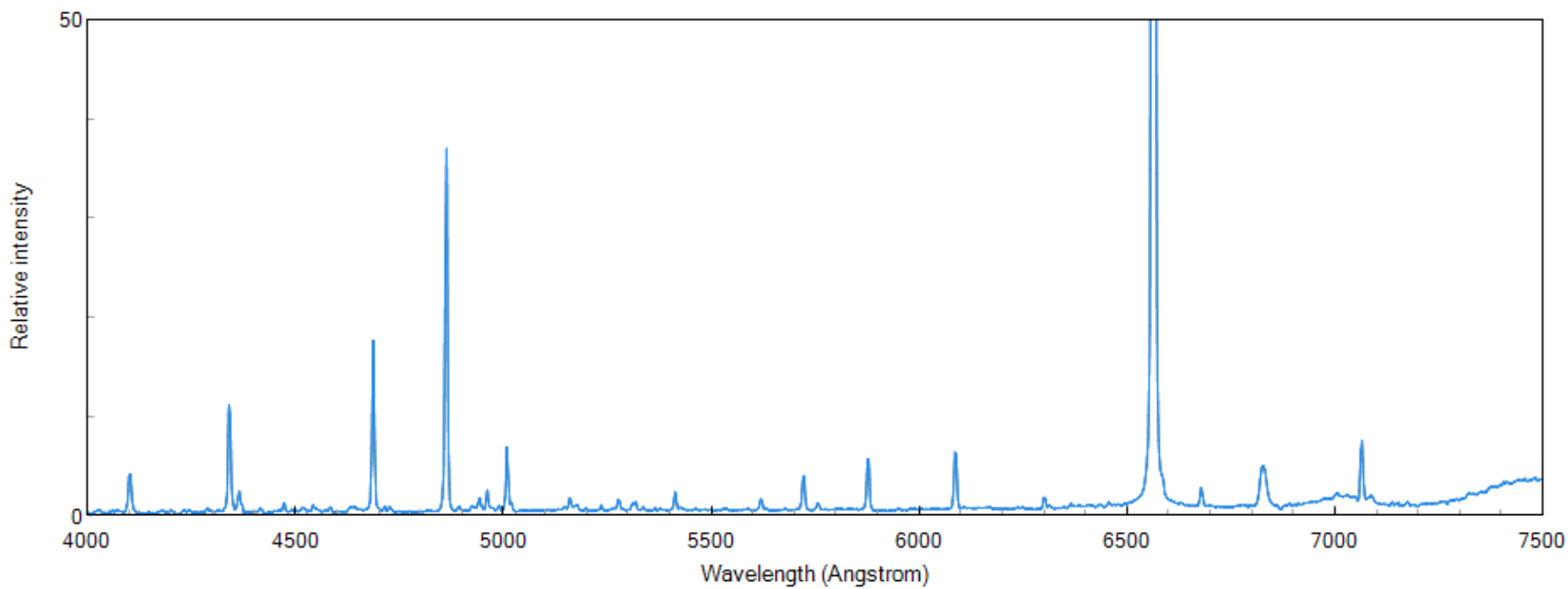
Evolution of the Symbiotic Nova PU Vul

Kato & al., 2012

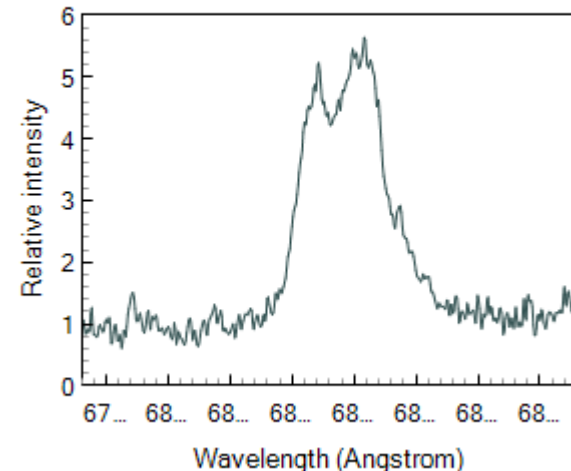


Novaes Symbiotiques PU Vul

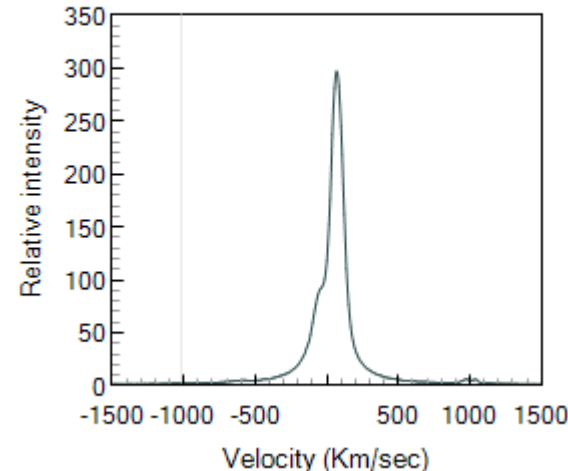
PUVul 2014-11-05.877 R = 1000 D.Boyd



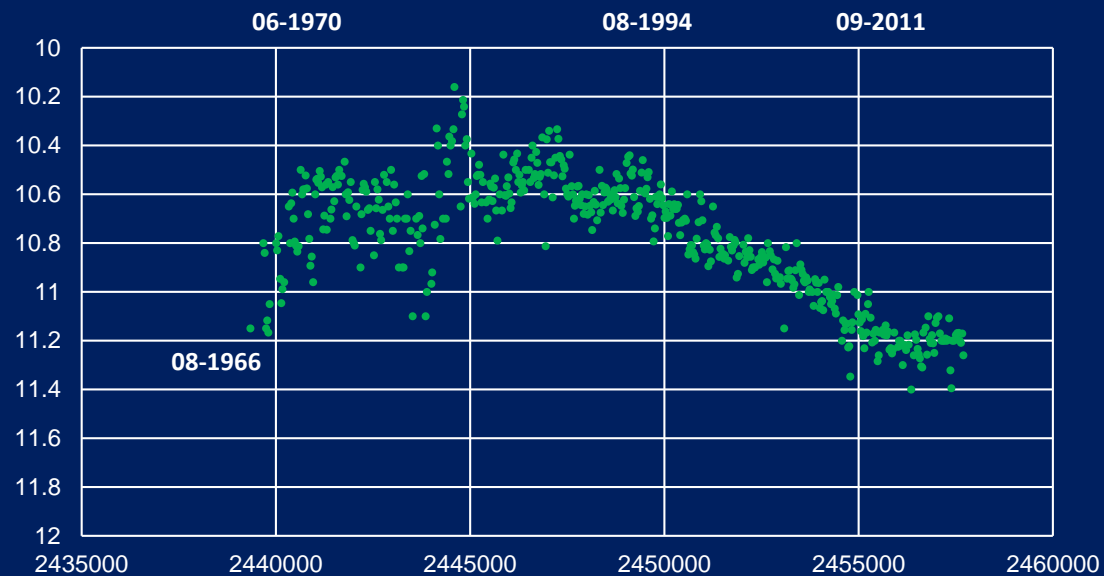
Raman OIV - PUVul 2016-09-03.041 T Lester



Halpha - PUVul 2016-09-03.041 T Lester

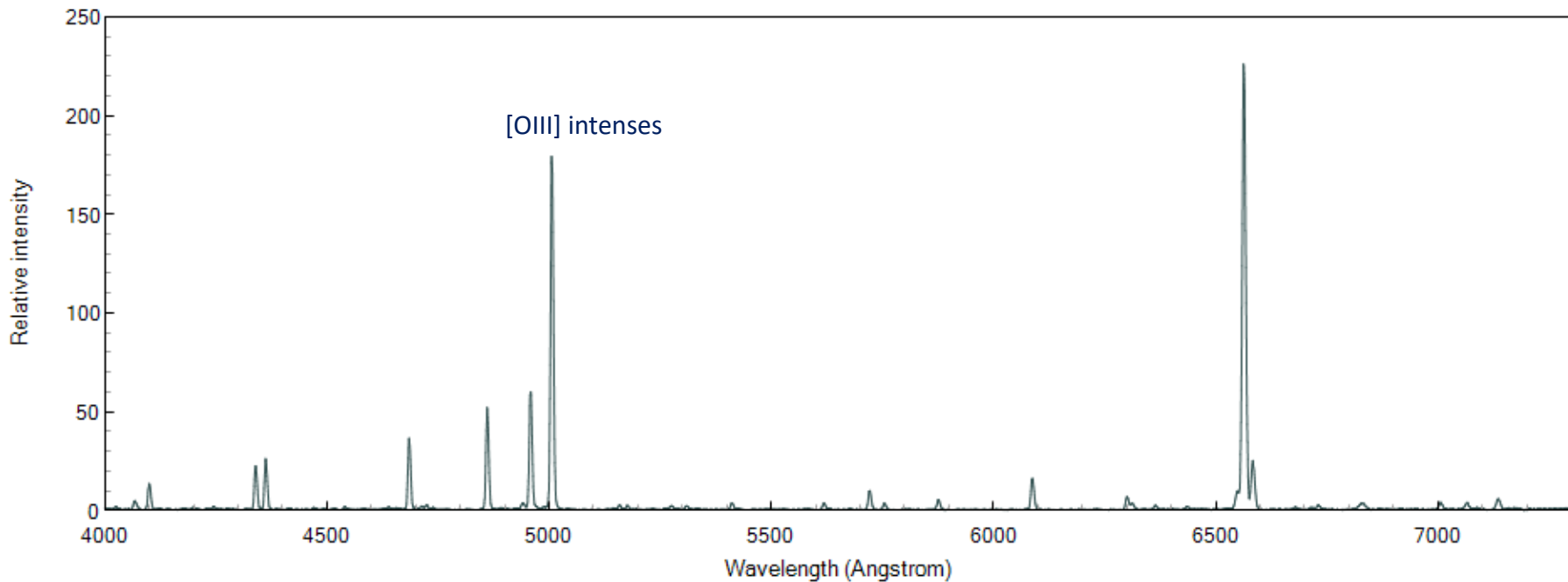


Novae Symbiotiques V1016 Cyg

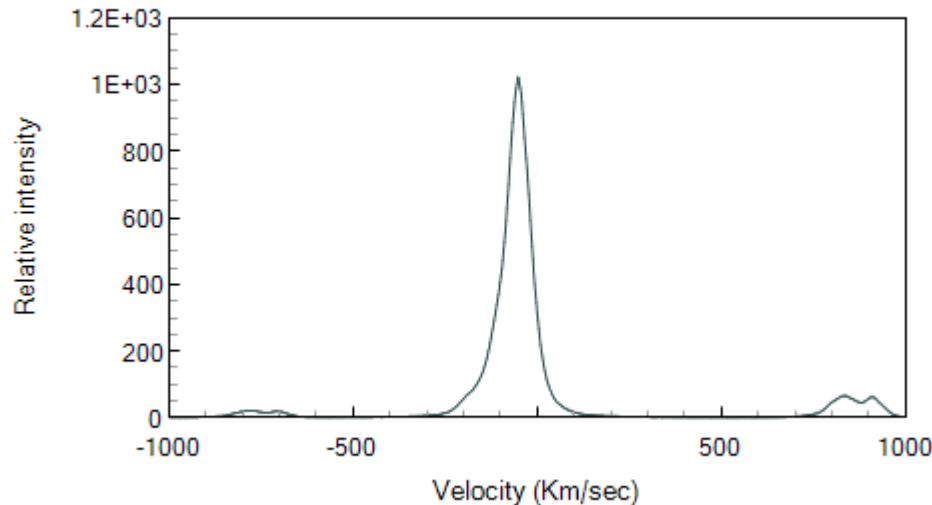


Novaes Symbiotiques V1016 Cyg

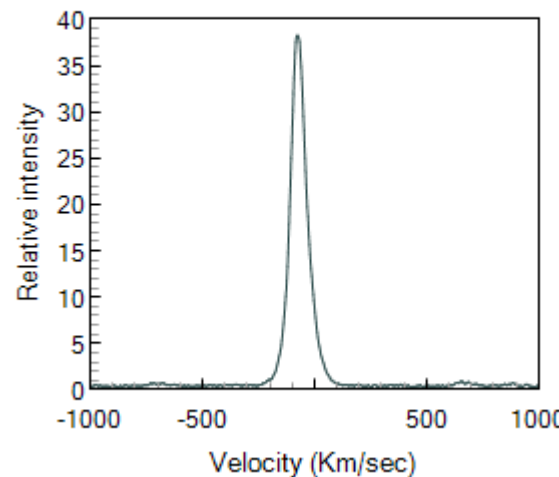
V1016 Cyg 2016-06-18.976 Francisco Campos



Halpha - V1016 Cyg 2016-10-04.773 F Teyssier



[FeVII] - V1016 Cyg 2016-10-04.773 F Teyssier



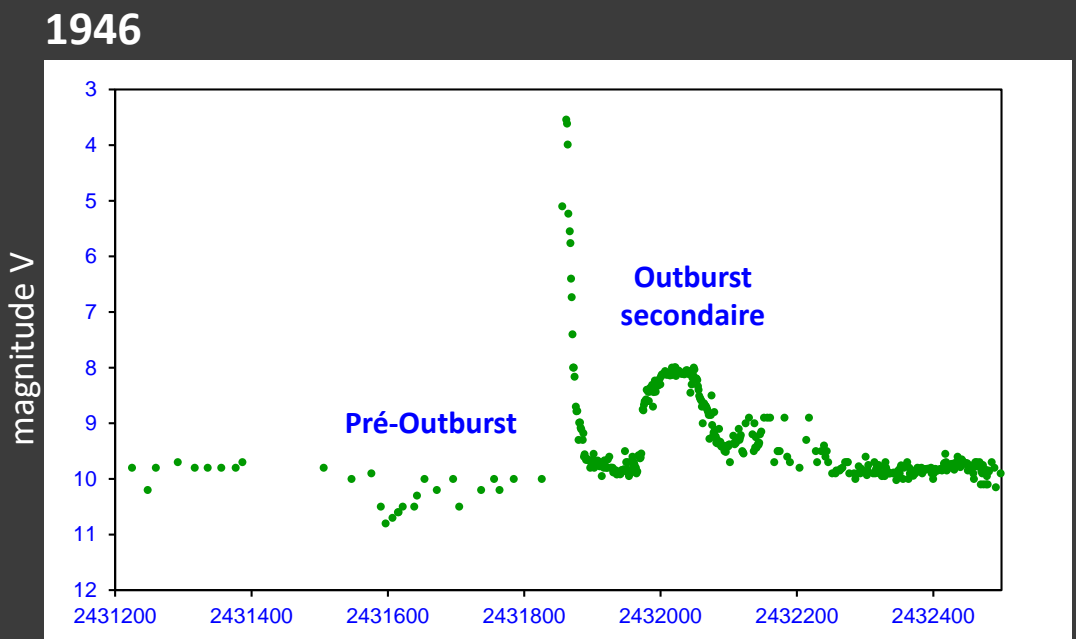
Novaes Récurrentes Symbiotiques TCrB

T CrB Eruptions

1866

1946

2026 ?



Novaes Récurrentes Symbiotiques T CrB

Active phases and flickering of a symbiotic recurrent nova
T CrB

Krystian Ikkiewicz,^{1,*} Joanna Mikolajewska,¹ Kiril Stoyanov,²

Antonios Manousakis¹ and Brent Miszalski^{3,4}

¹ Nicolaus Copernicus Astronomical Centre, Bartłomieja 18, 00716 Warsaw, Poland

²Institute of Astronomy and National Astronomical Observatory, Bulgarian Academy of Sciences, Tsarigradsko Shose 72, BG-1784 Sofia, Bulgaria

³South African Astronomical Observatory, PO Box 9, Observatory, 7005, South Africa

⁴South African Large Telescope Foundation, PO Box 9, Observatory, 7005, South Africa

Monthly Notices of the Royal Astronomical Society, Volume 462, Issue 3, p.2695-2705

ACKNOWLEDGEMENTS

We are grateful to all of the amateur astronomers that contributed their observations to this paper. In particular, we are thankful to members of the ARAS group for their wonderful work. We acknowledge with thanks the variable star observations from the AAVSO International Database

S. Charbonnel
F. Teyssier
C. Buil
T. Lester
C. Revol
JP Masviel
J. Montier
D. Boyd
J. Guarro
K. Graham
M. Rodriguez
P. Somogyi
O. Garde
P. Berardi
D. Li
V. Bouttard

Spectroscopic observations were obtained from the Astronomical Ring for Access to Spectroscopy database (ARAS). A log of observations is presented in Table A1. The data include mainly low resolution spectra covering a wide spectral range.

Voir aussi :

The 2015 super-active state
of recurrent nova T CrB
and the long term evolution after the 1946 outburst
Munari & al., 2016

Novaes Récurrentes Symbiotiques T CrB

Active phases and flickering of a symbiotic recurrent nova
T CrB

Krystian Ikkewicz,^{1,*} Joanna Mikolajewska,¹ Kiril Stoyanov,²
Antonios Manousakis¹ and Brent Miszalski^{3,4}

¹National Copernicus Astronomical Centre, Bergla 19, 00716 Warsaw, Poland

²Institute of Astronomy and National Astronomical Observatory, Bulgarian Academy of Sciences, Tsar

IV-7174 Sofia, Bulgaria

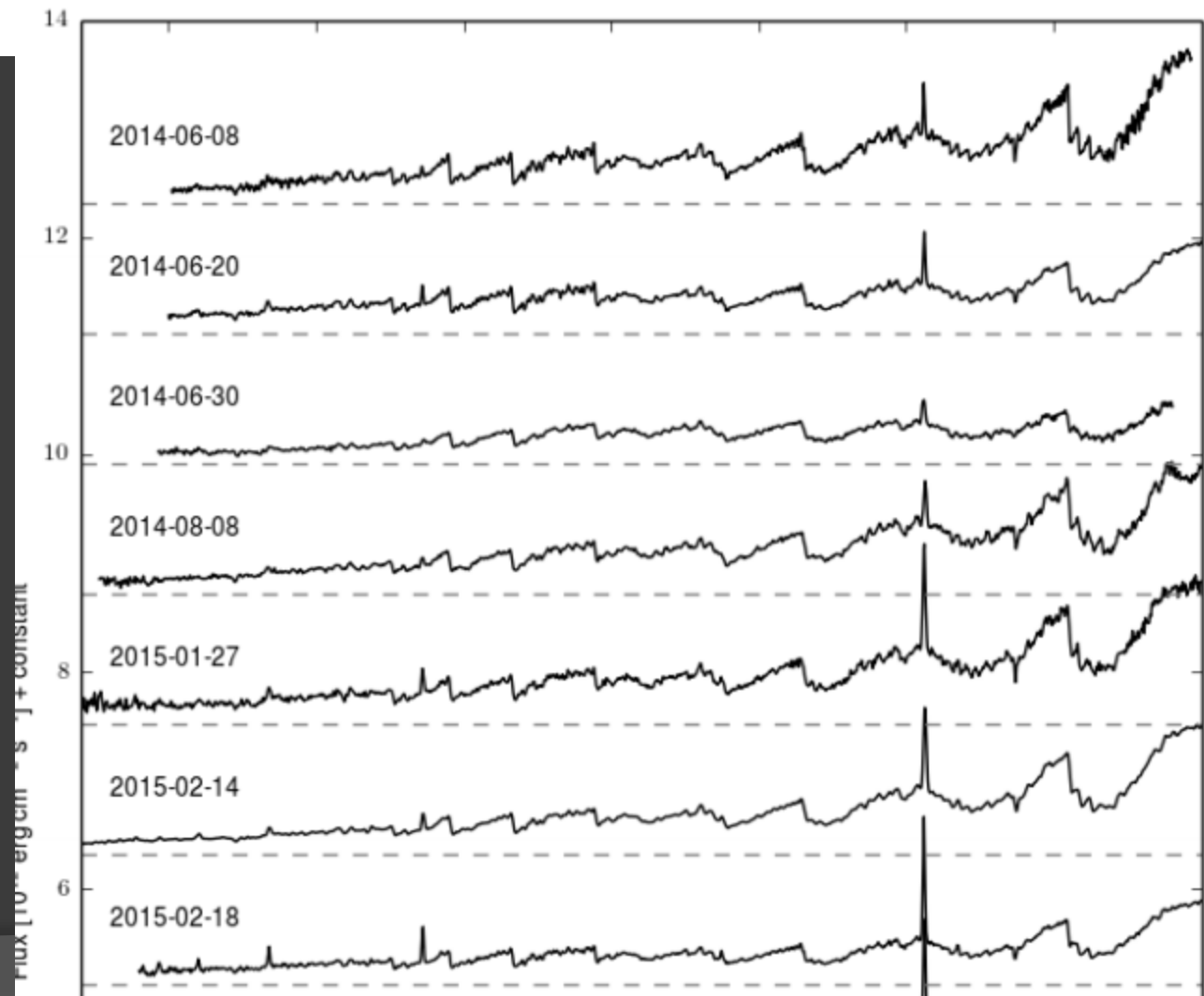
³South African Astronomical Observatory, PO Box 9, Observatory, 7025, South Africa

⁴Southern African Large Telescope Foundation, PO Box 9, Observatory, 7025, South Africa

Monthly Notices of the Royal Astronomical Society, Volume 462, Issue 3, p.2695-2705

Spectroscopic observations were obtained from the Astronomical Ring for Access to Spectroscopy database (ARAS).

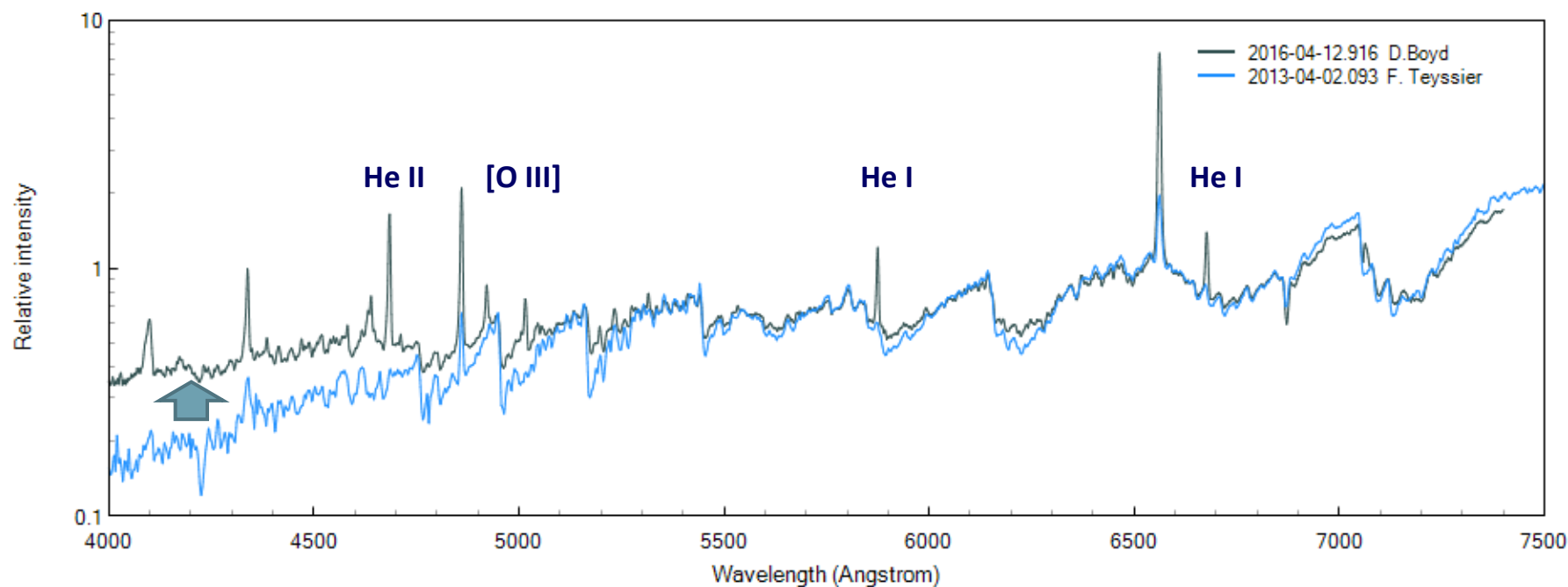
We are grateful to all of the amateur astronomers that contributed their observations to this paper. In particular, we are thankful to members of the ARAS group for their wonderful work



Novaes Récurrentes Symbiotiques T CrB

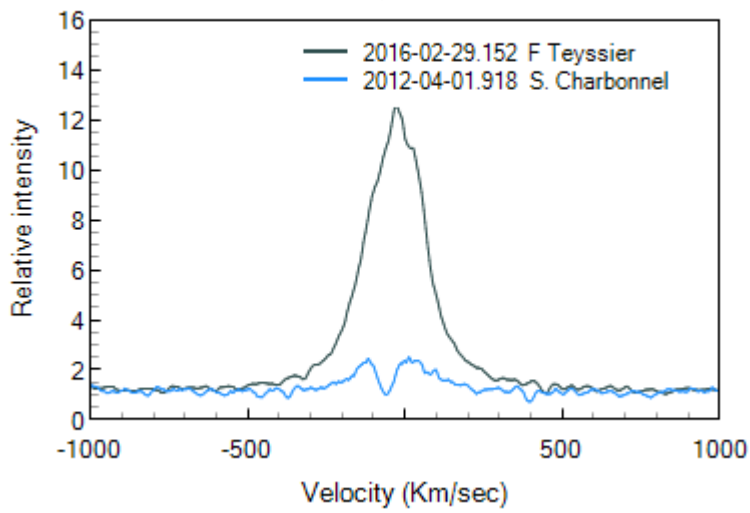
Log scale

TCrB

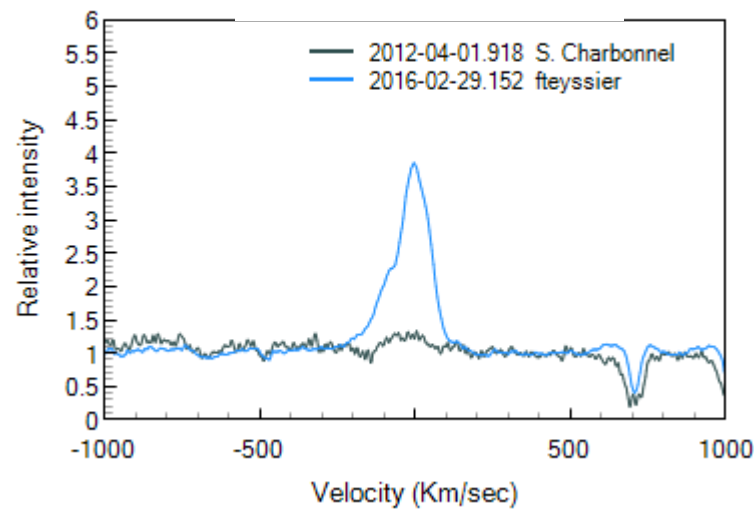


Novaes Récurrentes Symbiotiques T CrB

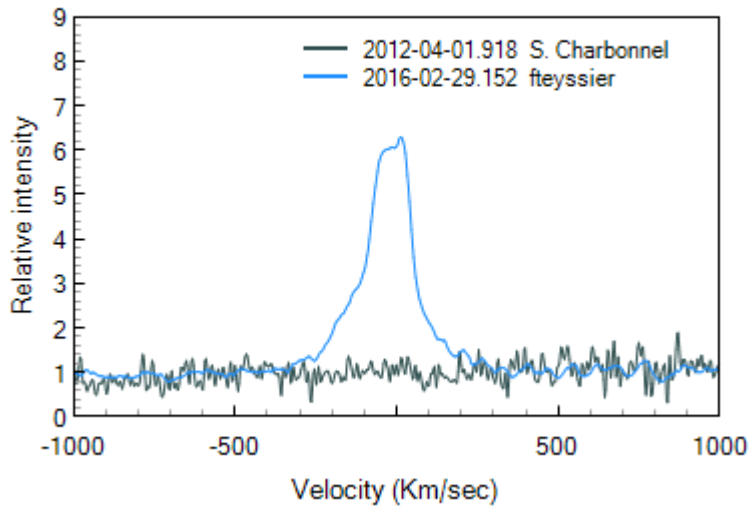
TCrB H alpha



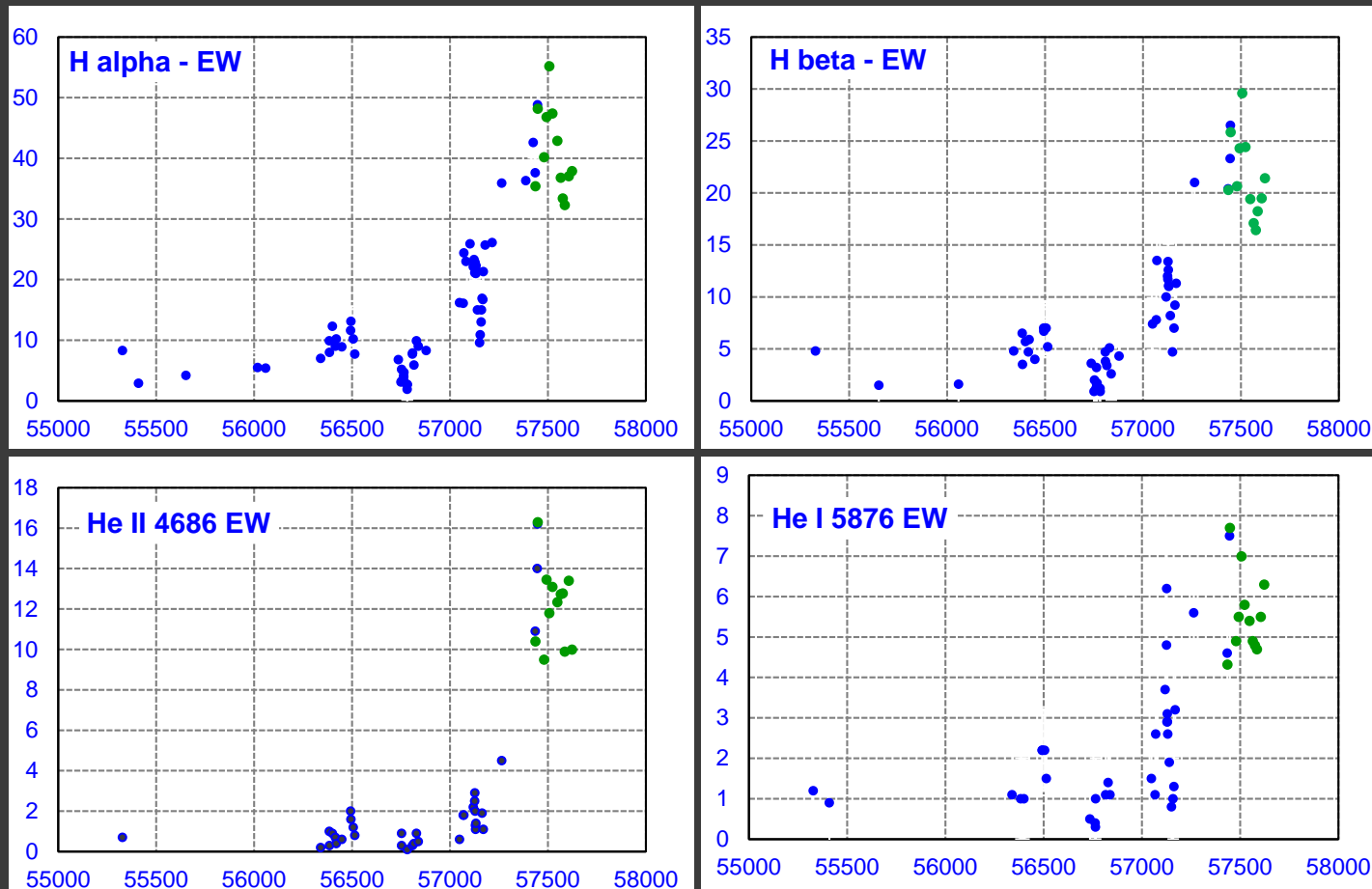
TCrB HeI 5876



TCrB Hell 4686



Novaes Récurrentes Symbiotiques T CrB



Blue : mesures publiées (Ilieczki & al., 2016)

Vert : mesures ARAS 2016

Etoiles Symbiotiques

- | | |
|---|---|
| 1 | Spectroscopie et Classification spectrale |
| 2 | La découverte des Etoiles Symbiotiques |
| 3 | Modèle d'une Etoile Symbiotique |
| 4 | Formation du spectre |
| 5 | Les Symbiotiques à l'état calme |
| 6 | Le Zoo des Symbiotiques |
| 7 | Les Symbiotiques en Outburst |
| 8 | Contribution des amateurs |

Etoiles Symbiotiques : contribution des amateurs

Merrill, 1958

L. H. Aller has made a suggestion which I heartily endorse, namely, that important information could be obtained from systematic series of measurements of *absolute* intensities of certain spectral features. This is not easy in observations through a slit, but with normal photometric precautions useful accuracy could doubtless be achieved on slitless spectrograms. Accurate photometric measures of integrated brightness and color also would be highly useful and could easily be made with small telescopes.

Persistent observations, both spectroscopic and photometric, for 5 or 10 years of the brighter symbiotic stars would surely help us understand their mysterious behaviour and might develop ideas of considerable general interest.

Réactivité
Suivis réguliers à haute cadence sur le long terme

[www.astronomie-amateur.fr/Projets Spectro1 SySt.html](http://www.astronomie-amateur.fr/Projets/Spectro1/SySt.html)

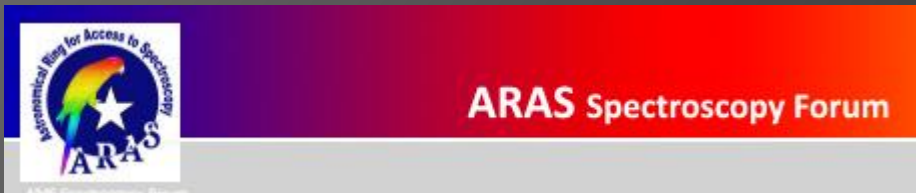
Lettre information

Eruptive stars information letter

<http://www.astrosurf.com/aras/novae/InformationLetter/InformationLetter.html>

Forum ARAS

<http://www.spectro-aras.com/forum/>



Base spectrale

http://www.astrosurf.com/aras/Aras_DataBase/Symbiotics.htm

A.R.A.S Spectral Data Base - Eruptive stars section

Symbiotic stars



Seul livre existant

Réédition en 2008 de l'édition 1986,
sans mise à jour



Merci pour votre attention

HARDY